

Stabiliteit, vervorming en evenwichtsprofielen
voor grind-, en stortsteentaluds
bij ~~loodrechte~~ golfaanval
(literatuuroverzicht)

Nota ~~W 74-141~~ W 74 H 901 X

(K.W. Pilarczyk)

Waterloopkundige Afdeling
Deltadienst - Rijkswaterstaat

Maart 1975

1

Stabiliteit, vervorming en evenwichtsprofielen voor grindtaluds ^{en stortsteen}
bij loodrechte golfaanval

W74-441 (concept nota)
(K. Pilarczyk) (1974)

Inleiding

Bij de uitvoering van waterbouwkundige projecten in de Nederlandse kustgebied, kwamen een nieuwe vraagstukken navoren waarvoor een oplossing gevonden dient te worden. Een van deze vraagstukken is de toepasbaarheid van grind als beschermingsconstructie voor de dammen en stranden, ^{als oever- en} bodembescherming. Een andere vraagstuk die kan de bovengenoemde afgeleid kan worden is de stabiliteit van de grind-, en stortsteendammen.

Het mechanisme van de profielvorming van de grindtaluds is ook belangrijk voor de uitbreiding van de algemene kennis van de strandprocessen.

Om inzicht te verkrijgen in de eigenschappen van dit materiaal als taludbekleding of voor de aanleg van de grinddammen onder golfaanval zijn naast een literatuurstudie ook een modelonderzoekingen verricht (M1063, M1216), [], [].

Voor de dimensionering van de taludbekleding en de grind-, stortsteen dammen is een belangrijke vraagpunt tot welke diepte het talud kan uitschuren en/of bij welke golfcondities stabiel is. Daarom, de gegevens ~~van~~ de verschillende onderzoekingen naar de stortsteen stabiliteit zijn ook verzameld in deze nota bekeken, [], [], [].

In het navolgende zal een overzicht van de huidige stand van zaken worden gegeven. Daarnaast zal aandacht worden besteed aan de punten waar een meer gericht onderzoek steeds gewenst is.

→ Jammer genoeg, deze gegevens meestal beperkt zijn tot de taluds die gelijk of steiler dan 1 op 5 zijn.

Kwalitatief beschrijving van profielvorming Profielvervorming bij grindstranden

Het sedimenttransport wordt bepaald door een groot aantal factoren zoals golfbeweging, stromingen, getij, ligging van de bodem, eigenschappen van het materiaal etc. Het is dus een zeer complex systeem die beide kwantitatief en kwalitatief nog steeds onvoldoende bekend is.

In het algemeen kan er een onderscheid worden gemaakt tussen wijzen waarop het sedimenttransport onder invloed van golven plaats vindt namelijk: a) bodemtransport en b) suspensie-transport.

Bij grindstranden speelt bodemtransport een overheersende rol. Alleen ter plaatse van de breker kunnen de grindkorrels in suspensie worden gebracht. In dat opzichte het transportmechanisme bij grindstranden verschilt met die bij zandstranden waar juist het suspensie-transport zeer belangrijk is, en, waardoor, het ontstaan van "ribbels" mogelijk is.

Mechanisme van profielvorming. (Fig. 1) Bij een asymmetrische, oscillerende waterbeweging aan de bodem treedt onder een golftop een hogesnelheid en onder het dal een lagere snelheid op. Het materiaaltransport treedt op wanneer de watersnelheid onder de golftop een zekere kritische snelheid voor het materiaal overschreedt. Deze snelheid is bepaald door de korrel eigenschappen en de hydrodynamische krachten die werken op de korrel (of op een groep korrels). Gedurende de passage van een golfdal de snelheden geringer zijn en praktisch geen transport mogelijk is. Een continue beweging van sediment in de richting van de kust (tot de breker) is het gevolg.

Bij de zeer grof materiaal zoals grind, het begin van beweging neemt dicht bij de breker plaats en dus, het transportmechanisme binnen de brekerzone bepalend is voor de profielvervorming.

Wanneer de golven het talud oplopen, worden de omhooggerichte snelheden groter dan de omlaaggerichte snelheden (asymmetrische snelheidsprofiel). Dit leidt ertoe dat er verder op het talud een opwaarts materiaaltransport plaats vindt.

Bij de lange golven is het faseverschil tussen het tijdstip van breken en het tijdstip van bereiken van de maximale oploophoogte groter is dan bij de korte golven. Bovendien, een lange golf breekt bij een relatief groter diepte dan de korte golf.

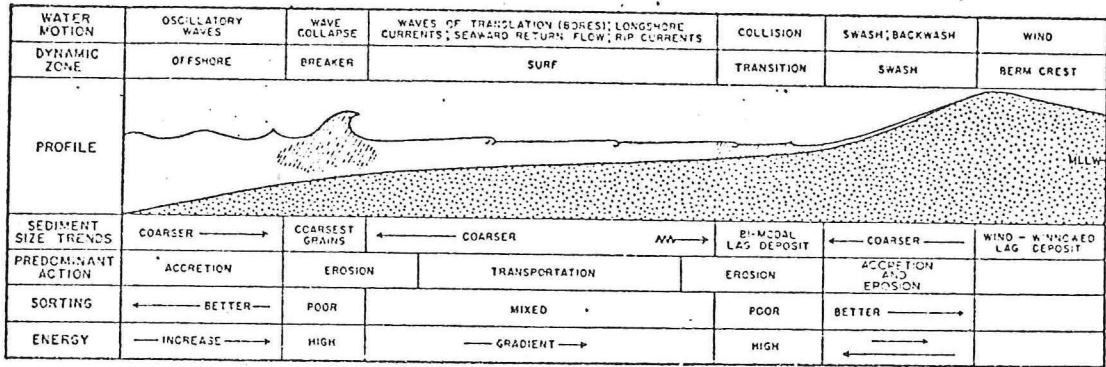



Fig.116. Summary diagram schematically illustrating the effect of the four major dynamic zones in the beach environment. Hatched areas represent zones of high concentrations of suspended grains. Dispersion of fluorescent sand and electromechanical measurements (SCHIEMAN, 1963, 1965) indicate that the surf zone is bounded by two high-energy zones; the breaker zone and the transition zone. MLLW = mean lower low water.

Summary of Wave Equations

FUNCTION	DEEP WATER	INTERMEDIATE	SHALLOW WATER	NEAR-BREAKER
PHASE VELOCITY, C	$\frac{g}{2\pi} T$	$\left[\frac{g}{k} \tanh kh \right]^{1/2}$	$[gh]^{1/2}$	$[g(h+H)]^{1/2}$
WAVE LENGTH, L	$L_d = \frac{g}{2\pi} T^2$	$L_d \left[\tanh k_d h \right]^{1/2}$		CT
WAVE HEIGHT, H	H_d	$H_d \left[\frac{C_d}{2 C_n} \right]^{1/2}$	$\frac{H_d}{[4k_d h]^{1/4}}$	$0.32 H_d \left[\frac{L_d}{H_d} \right]^{1/3}$
ORBITAL DIAMETER, d	SURFACE $d = H_d$ BOTTOM $d_o = 0$	$d_z = H \frac{\cosh kz}{\sinh kh}$	$d_z = \frac{H}{kh}$	$d_o \approx \frac{3}{2} H$
MAXIMUM ORBITAL VELOCITY, u_m	$\frac{\pi d}{T}$		$\frac{1}{2} \frac{H}{h} C$	$u_{m,o} \approx \frac{1}{3} \frac{H}{h} C$
LIMITS OF APPLICATION				$\frac{H}{h} > \frac{1}{4}$

$\left. \begin{matrix} H_d \\ L_d \end{matrix} \right\} \text{ deep water parameters, } k = \frac{2\pi}{L}, k_d = \frac{2\pi d}{L_d}$

 naar pagina 3

Bij zeer steile golven (ca. $H_0/L_0 > 0.05$) de watermassa, na de breking van de golf, steeds meer rechtstreeks op het talud valt met een verder toename in de golfsteilheid. De golfhoogte wordt aan de opwaartse neerwaartse waterhoogte gescheiden. Dat leidt ertoe dat op het talud een neerwaartse materiaaltransport resulteert. Het materiaal die bij de golfbreking in suspensie wordt gebracht valt, in één deel zeezoorts van de plaats van breking, vorming een bar (bank). ~~Op de plaats, waar de watermassa van de gebroken golf op het talud valt, ontstaat een knip.~~ Op de plaats, waar de watermassa van de gebroken golf op het talud valt, ontstaat een knip. Dit proces kan vaak resulteren voor een grof-korrelig materiaal waar geen suspensie v/h materiaal buiten de breker plaats vindt, in een mindermate profielvervorming dan bij matig-steil-golven, of, dat de talud-stabiliteit bij een relatief kleiner steengrootte kan worden bereikt.

Dat resulteert in het feit dat er een langere tijd is voor water percolatie (infiltratie), grondwater niveau blijft lager, het terugtrekken van de water tong van het talud vermindert wordt en soortering van het materiaal plaats vindt (de grootste korrels blijven boven).

Water percolatie afhankelijk is van de korrelgrootte wat verklaart het feit dat de taludhelling bij het stilwaterlijn steiler is voor een grof materiaal dan voor een fijn materiaal. Het blijkt ook zinvol aan te nemen dat onder andere door het verschil in water percolatie, het grof materiaal kan met het fijne materiaal reproduceren en omgekeerd.

Korte golven breken dichterbij de kust, de breker wordt steiler, de breking krijgt steeds meer een plaatselijke karakter waardoor de horizontale ^{snelheden} componenten van de water tong worden verzwakt en de golfloop relatief minder hoog wordt. Het faseverschil wordt korter, het materiaal in de brekerzone tot de ophoophoogte blijft water of meer saturatie, grondwater niveau blijft hoog (dicht bij de strandoppervlakte), het effect van water percolatie wordt vermindert, ~~toest~~

~~verschil tussen~~ de ophoop, en de terugstromingsnetheden ^{of een landwaarts} zijn min of meer gelijk en kan er een zeewaarts transport

in materiaal plaats vinden afhankelijk van het taludhelling en korrelgrootte. De profielvorming is, in dit geval, primair door de breker bepaald. Naarmate de taludhelling toeneemt en/of ~~naarmate~~ de korrelgrootte neemt af, de snelheden van de terugstroming kunnen voldoende zijn om het materiaal naar beneden te transporteren. ^(fig. 2) ~~dat~~ ~~komt~~ ~~er~~ ~~voe~~ ~~dat~~ ~~op~~ ~~het~~ ~~talud~~

~~een zeewaarts materiaal transport resulteert. In dit laatste~~
~~geval en bij relatief hoge golfsteilheid het materiaal dreef~~
~~door de static factor in suspensie wordt gebracht valt in~~
~~een dreef zeewaarts van de breker vorming een bar (bank) naast~~
~~de kust die na de golfbreking ontstaat is. Het steile gedeelte~~
 zeewaarts van de bar benadert, in het evenwichtsprofiel, de helling van natuurlijk helling van het materiaal onder water.

Na een bepaalde tijd ontstaat een profiel waarbij op iedere plaats het transport in beide richtingen even groot is en de afzonderlijke korrel in een dynamische evenwicht heerst. Een statische evenwicht is alleen mogelijk wanneer de afzonderlijke korrel in de brekerzone stabiel is wat gelijk is aan de stabiliteit (zonder profielvorming) van het geheel talud.

wave
test

voor pag. 4

x) Over de invloed van de korrel-vorm op de helingvervorming of stabiliteit is er weinig bekend. De vorm van de korrels beïnvloedt de vrijwingsgrootte ^{met} bij de bodem en de lift en drag-krachten en dus moet een effect hebben op de korrel gedrag.

Uit het verloop van de drag-coëfficiënt of fall-snelheid met een Reynolds getal in de figuren 3 te zien is dat bij de kleine Re , de korrel-vorm weinig invloed heeft, terwijl bij $Re > 100$ deze invloed wordt aanzienlijk groot.

Dus, het mag gekoncludeerd worden dat de invloed van elke korrel-vorm die in het model kan verwaarloosd worden, kan in het prototype een aanzienlijke verschillen veroorzaken met betreffende de profielvorm en de limiet van de profiel-stabiliteit.

x) De tijd van de profielontwikkeling van de grindstranden is aanzienlijk korter dan bij zand en "echte" (dynamische) evenwichtsprofielen in het model is mogelijk te verkrijgen wat maakt de modelgegevens meer betrouwbaar. Bij de zandprofielen en relatief flauwe hellingen ($\alpha > 10$) is praktisch onmogelijk een "echte" evenwichtsprofiel te bereiken binnen de aanzienlijke tijdduur, b.v. bij $D_{50} \approx 0,2 \text{ mm}$, $\alpha \approx 30$, $H_0 \approx 10 \text{ cm}$, $t > 200$ uren.

De ondergrens van het evenwichtsprofiel wordt gevormd door het punt van begin van beweging terwijl de bovengrens afhankelijk is van de golfoploop op het talud. Tussen deze grenzen zal de profielvorming plaats vinden. Wanneer er een zeewaartse transport treedt, het punt ^{van} ~~van~~ beweging wordt door het vatterend achteruit vallend materiaal bedekt. In dit geval, de ondergrens van het evenwichtsprofiel wordt bepaald door het snijpunt van de raaktlijn door de zeewaartse helling van het profiel met het uitgangspunt.

Afhankelijk van de uitgangshelling, bij dezelfde golfcondities, zal de kustlijn achter- of vooruit gaan. In het algemeen, zoals uit deze discussie blijkt, de kustlijn gaat achteruit (landwaarts) naar mate de uitgangshelling ~~afgaat~~ ^{afgaat} ~~de~~ ^{de} ~~steiler~~ ^{groter} wordt of het ~~de~~ ^{de} ~~materiaal~~ ^{materiaal} kleiner wordt. Het evenwichtsprofiel wordt steiler, in bijzonder bij het stilwaterlijn, en korter, naarmate ^(Fig. 2) ~~het~~ ^{het} ~~materiaal~~ ^{materiaal} grover wordt de groote van het materiaal toe neemt.

De invloed van de getij. Uit M1063 onderzoek is gebleken dat, onder de invloed van variërende waterstanden gedurende een getijcyclus verplaatst het evenwichtsprofiel, zoals dat gevormd zou zijn bij één waterstand, met de waterstand mee.

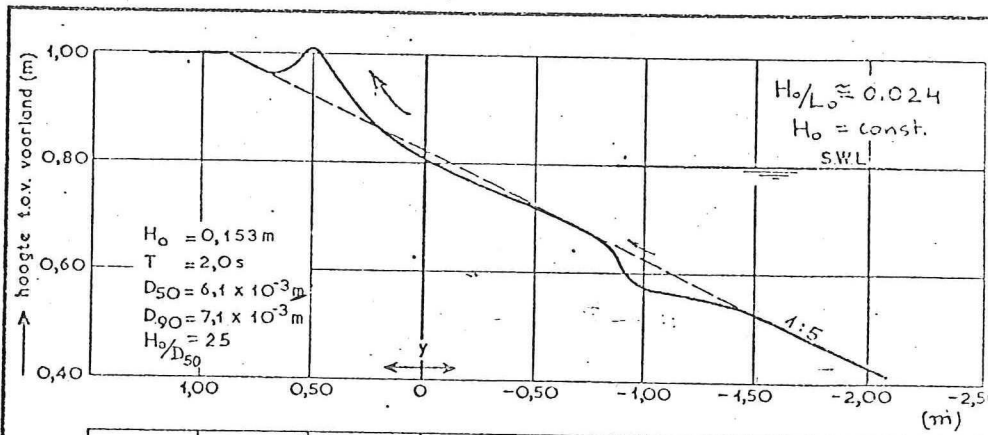
Om een indruk te geven naar de invloed van getij op de profiel^{vorming} ~~vorming~~ bij verschillende materialen zijn in figuur 4 enkele profielen gegeven uit het modelonderzoek van Watts en Dearuff [1]. Uit deze resultaten is gebleken dat de landwaartse en zeewaartse profielhellingen worden door de getijcyclus niet veel veranderd t.o.v. de profielen bij stilwaterlijn ~~en~~ ^{en} geen getij. De invloed van de getijcyclus wordt gemerkt door de horizontale verschuiving van het profiel (groter landwaartse transport). Deze verschuiving (= achteruitgaan van de kustlijn) afhankelijk is van de waterstandsvariatie (getijamplitude) en neemt toe met toename van de getijamplitude of de hoogste waterstand in de getijcyclus. Het verschil in de duurtijd (4 en 1 uur in dit onderzoek) van de getijcyclus heeft weinig invloed op de profielvorming.

Getijcyclus kan wel veel verandering brengen in het geval dat het profiel t.o.v. de golfcondities in een soort kritische (of neutrale) toestand fungeert wat betreft de profiel type (step of bar) of de net transport richting,

$L_0 = 21.6$
 $D_{90} = 21.6$

$d = 0,8 \text{ m}$

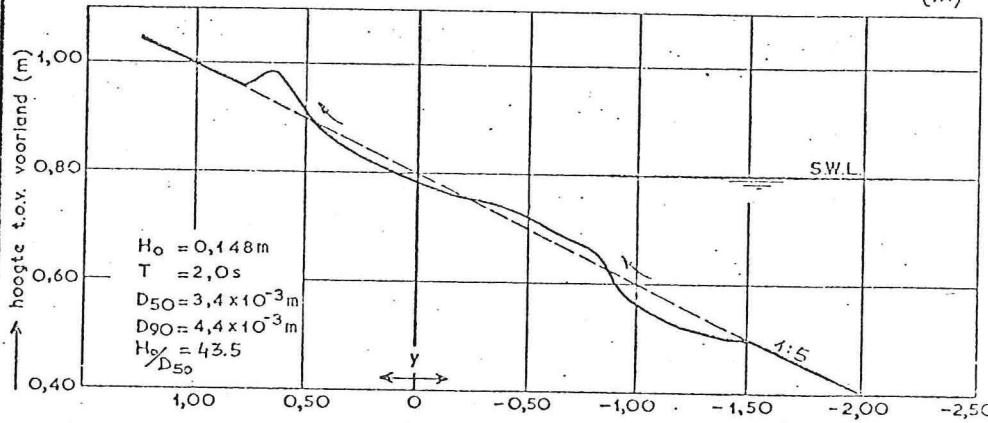
a)



$33,6$

$d = 0,8 \text{ m}$

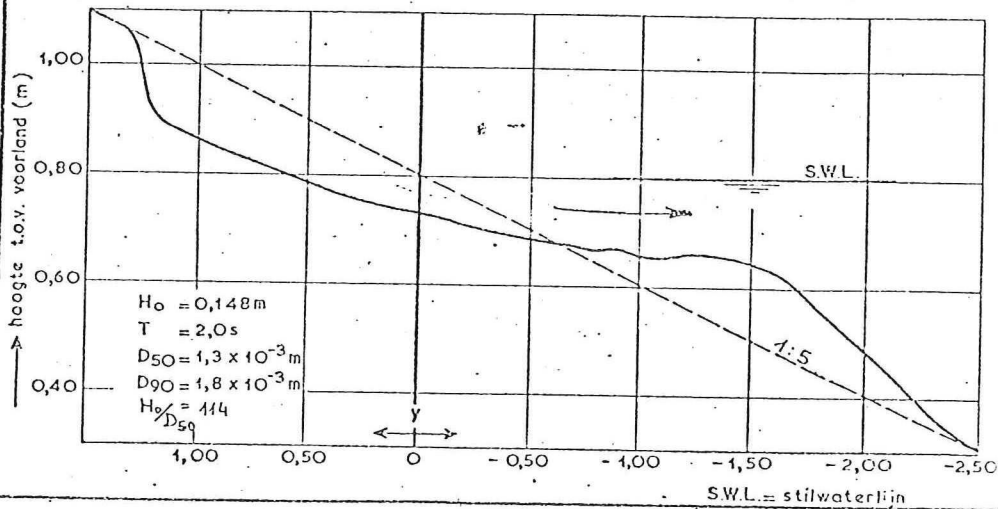
b)



$82,3$

$d = 0,8$

c)

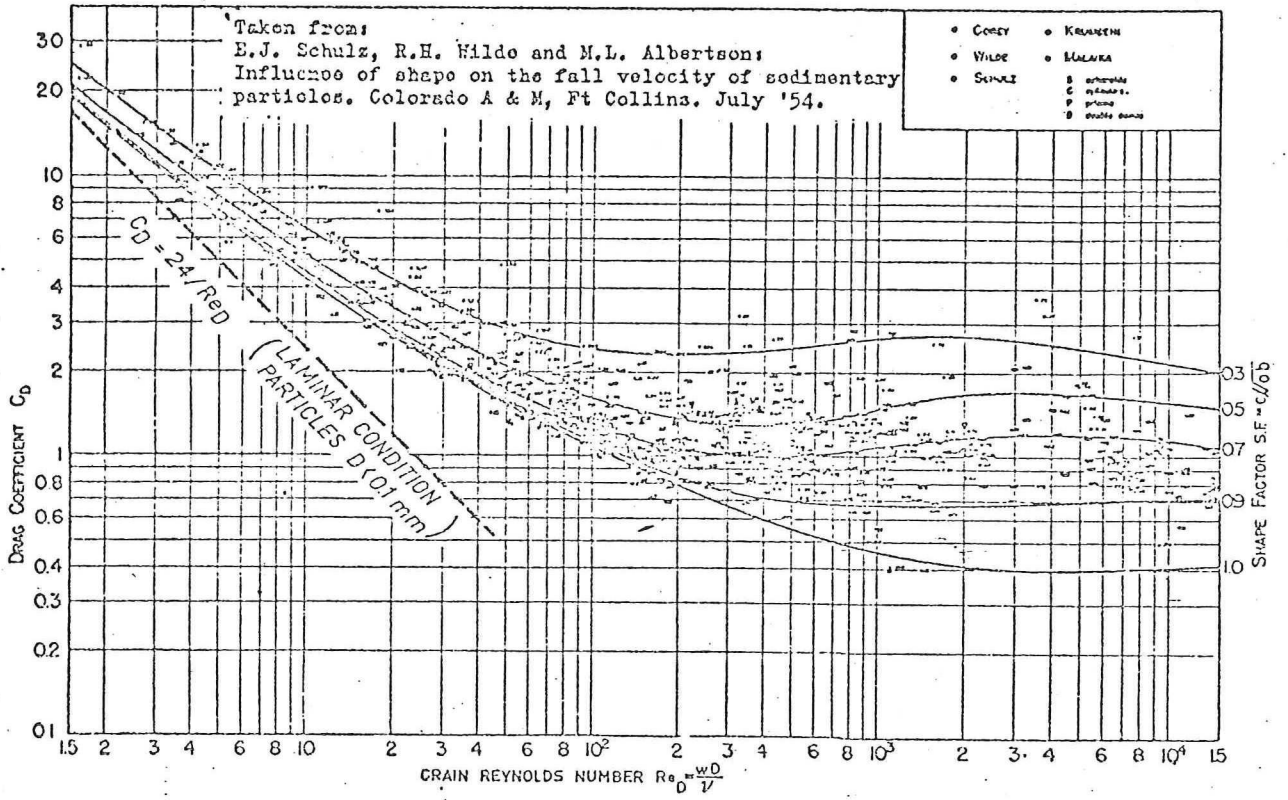


$\frac{d}{L_0} = \frac{0,8}{21,6} = 0,037$

$\frac{H_0}{L_0} = 0,0064$

$\frac{H_0}{d} = 0,175$

Profiel	$f =$	d_i (begin totaal) (berekening)	($f =$ friction function)
a)	0,6	25,0 cm	} berekende waarden
b)	0,6	30,6 cm	
c)	0,6	45,5 cm	



C_D FOR NATURALLY WORN SEDIMENTS AS FUNCTION OF Re_D AND S.F.

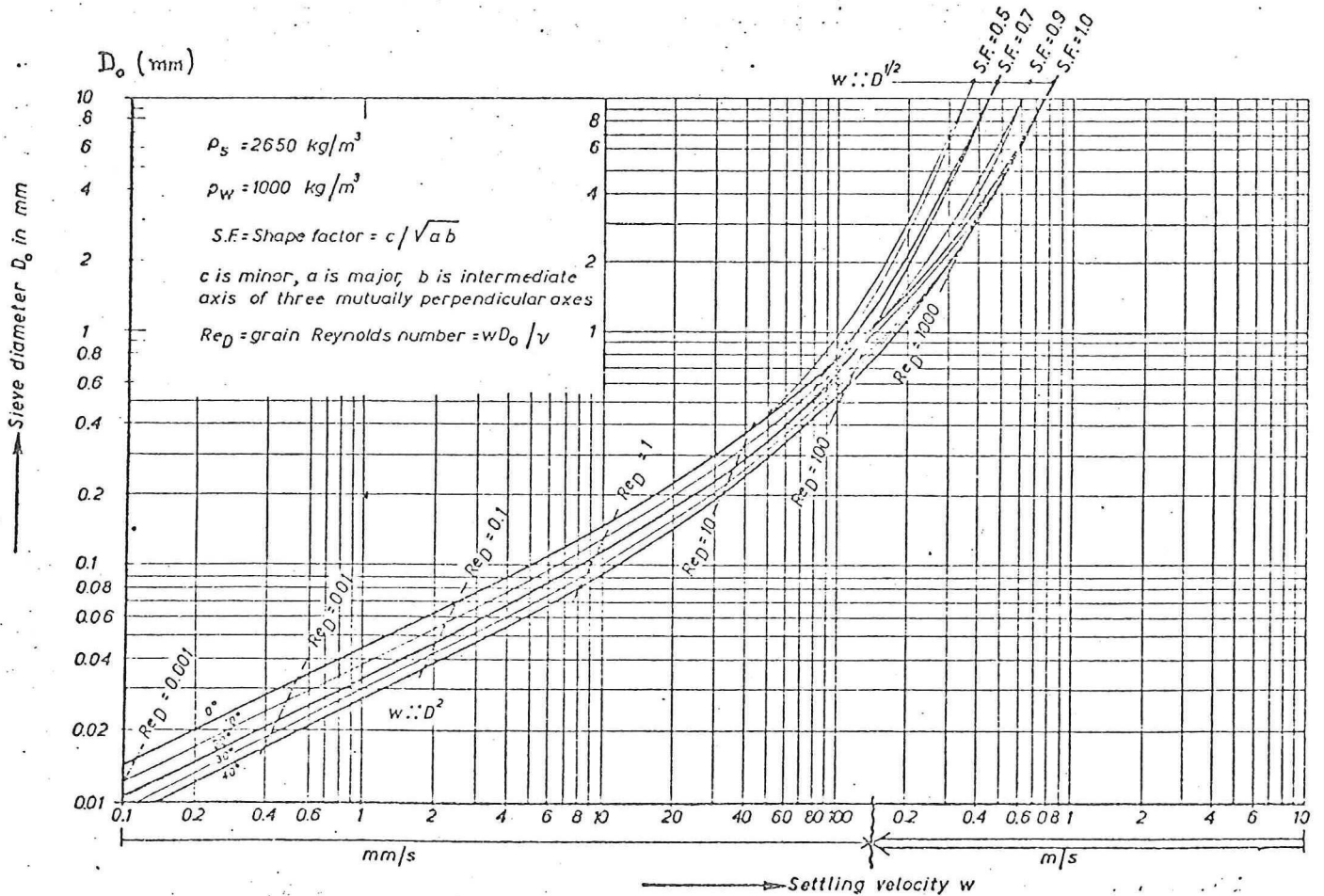


Fig. 3

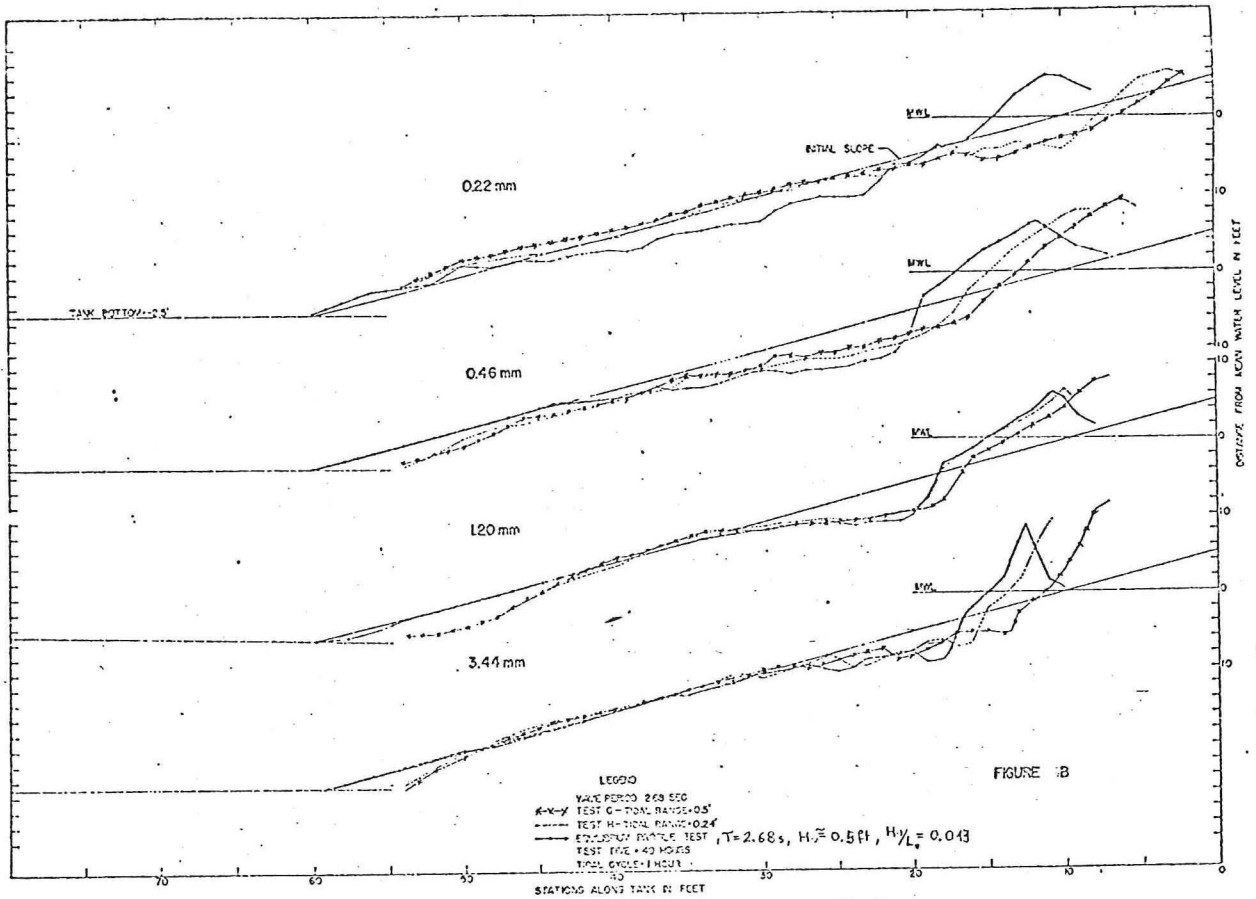


FIGURE 3B — EFFECT OF TIDAL RANGE [154]

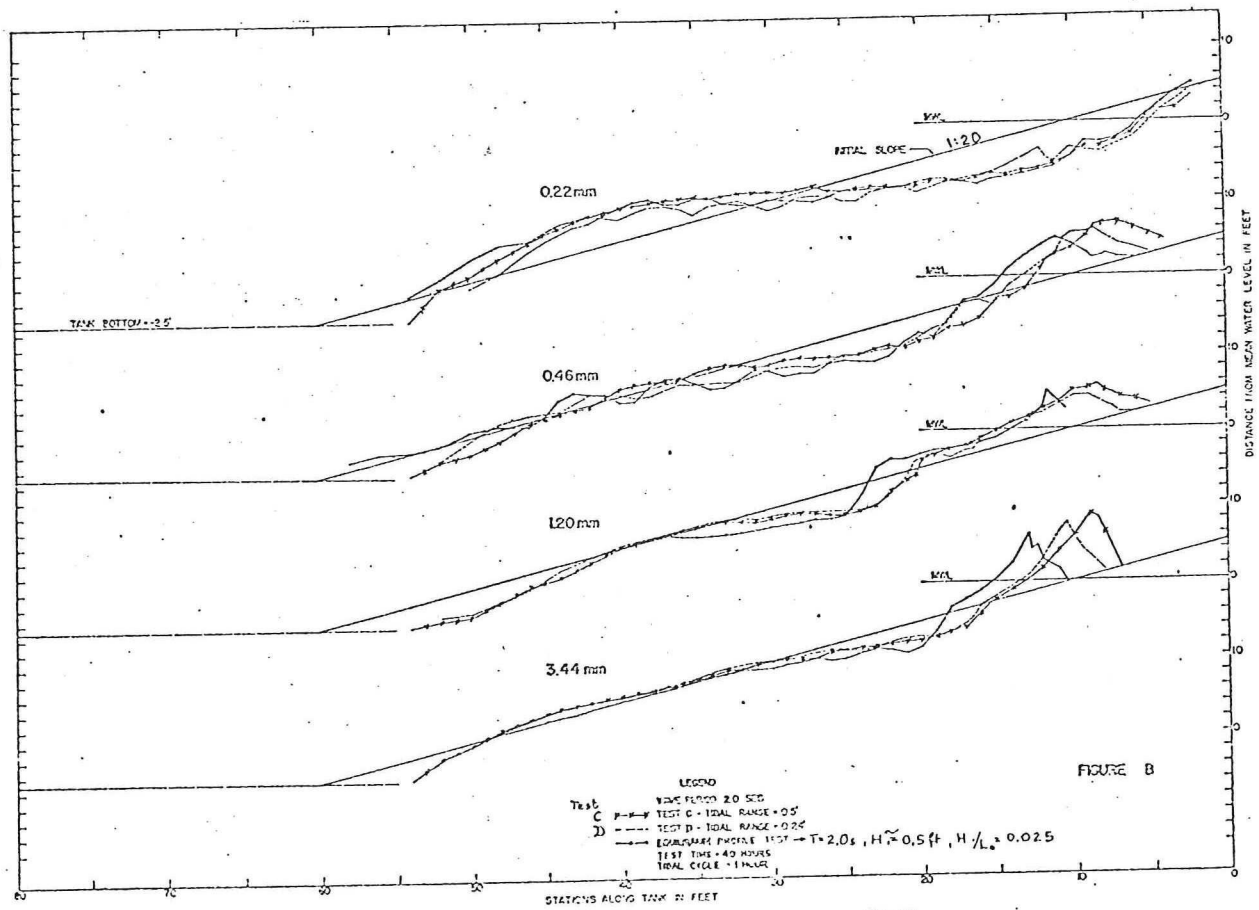


FIGURE 2B — EFFECT OF TIDAL RANGE [154]

Zo'n geval plaats heeft bij $D_{50} = 0,22 \text{ mm}$, $H/L_0 \approx 0,013$, talud 1:30 (figuur 4, bovenste profiel) waarbij bij geen getij, het landwaartse transport ~~treedt op~~ en een ophoging boven het stilwaterlijn plaats heeft (step profiel) terwijl, bij een getijdus, een erosie in dit landwaartse deel van het profiel treedt op. Bovendien, het is gebleken dat bij getijwerking en/of variatie van golfperiode [], deformatie van bodenvormen (b.v. bars, grote ribbels, etc.) licht sterk onderdrukt te worden. Dit kan belangrijk zijn bij vertaling van modelwaarden (modelprofielen) bij regelmatige golfaanval naar het prototype met onregelmatige golfaanval en/of ~~af~~ variërende waterstanden.

Er moet gezegd worden, dat met de huidige kennis van het transportmechanisme als functie van korrel diameter (of gewicht), taludhelling, golfhoogte en golfsterkte etc., is nog steeds niet mogelijk om die processen die daar plaats vinden nauwkeurig te beschrijven en verklaren.

Kwantitatief beschrijving van profielvorming voor grindtaluds (grindstranden) bij regelmatige golfaanval

Het aantal experimentele studies (onderzoekingen) van profielvorming van de grindtaluds is zeer beperkt. De actuele kennis van dit onderwerp is voornamelijk op de publicatie van Popov [] en ~~het~~ ^{de} modelonderzoek ⁱⁿ naar grindstranden ^(M1216) verricht door het Waterloophydrologisch laboratorium te Delft, (M1216), [] gebaseerd.

^{En algemeen} Kwantitatief beschrijving van profielvorming in een vorm van de experimentele formules of relaties ^{is} zijn slechts door Popov en M1216 rapport gegeven. Dus, slechts ^{alleen} deze twee methoden worden in deze nota samengevat met opmerkingen t.b.v. hun toepassing voor praktische problemen.

In publicatie van Popov [] is geen taludhelling vermeld; slechts op één figuur waar een voorbeeld van een profielontwikkeling is gepresenteerd is, is taludhelling, $\text{ctgd} = 3$, vermeld.

Methode M1216 is gebaseerd op twee taludhellingen, $\text{ctgd} = 5$ en 10 . Het lijkt waarschijnlijk dat ^{de methode van Popov kan} ~~beide methoden~~ ^{alleen bij} ~~de steile talud~~ ^{het talud 1:3} ~~en~~ ^{de methode M1216 voor} ~~ctgd = 5 en 10~~ ^{gebruikt worden.}

Uit de beide methoden blijkt dat de evenwichtsprofielen van de grindtaluds, vanaf een bepaalde kritische korrel diameter (ca. $D_{50} \geq 5 \text{ mm}$) kunnen praktisch volgens de geometrische schaal gereproduceerd worden. In het overgangsgebied, $1 < D_{50} < 5 \text{ mm}$ zijn de lengte-parameters van het profiel onder invloed van de absolute grootte van de korrel diameter. In dit gebied moeten de schaalcoëfficiënten voor de juiste omschaling van de profieldimensies (van het model naar ^{werkelijk} prototype) gebruikt worden. Om vast te stellen dat $D_{50} = 5 \text{ mm}$ is ^{(een} kritische korrelgrootte, zijn nog steeds proeven nodig bij veel groter korrelgrootte, en golfdimensies.

Deze methoden gelden alleen voor de brekende golven. Golven die loodrecht invallen op een vlak, glad talud met hellingshoek α zullen breken op dit talud indien

$$\frac{H_0}{L_{w0}} \geq \left(\frac{H_0}{L_{w0}} \right)_{cr} = 0,25 (\tan \alpha)^{5/2}$$

Wegens gebrek van zulke kritierium voor een grof-korrelig talud, kan men voorlopig de bovengesemde kritierium, voor de stratificatie van de grens tussen brekende en niet brekende golven, gebruiken.

Profielvorming van grindtaluds bij regelmatige golfaanval (doorgaande taluds).

Metode van Popov []

Test condities:

- materiaal: $D_{60\%} = 2,0; 3,5$ and $6,0$ mm; $\frac{D_{60}}{D_{10}} = 1,2 \div 1,8$
golfhoogtes: $H_0 = 5 - 40$ cm
golfsteilheid: $H_0/L_0 = 0,05 - 0,10$
uitgangstalud: $\text{ctg } \alpha = 3$
Kinematische viskositeit $\nu \approx 0,012$ cm²/sec
(H, L - golfhoogte en golfsteilheid bij de steen van het talud)

De geometrische elementen van het evenwichtsprofiel, gedefinieerd in ~~figuur~~ ^{in figuur} op ~~pagina~~ ^{op pagina} 5, zijn omschreven door de volgende empirische, ^{formule} relaties omschreven

1. Relatief golfoploop op het evenwichtsprofiel

$$\frac{H_0}{H_0} = 5,65 \frac{D_{60}}{H_0} - 4,3 \frac{H_0}{L_0} + 0,58 \quad \text{bij } 10 < \frac{H_0}{D_{60}} \leq 100$$

$$\text{en } \frac{H_0}{H_0} = 0,63 - 4,3 \frac{H_0}{L_0} \quad \text{bij } \frac{H_0}{D_{60}} > 100$$

2. Helling $m_1 = \text{ctg } \alpha_1$ (deel A-B)

$$m_1 = \left(2 - 5 \cdot 10^{-4} \frac{\sqrt{g D_{60} D_{60}}}{\nu} \right) \left(\frac{H_0}{D_{60}} \right)^{1/4} \quad \text{bij } 200 < \frac{\sqrt{g D_{60} D_{60}}}{\nu} \leq 1200$$

$$\text{en } m_1 = 1,3 \left(\frac{H_0}{D_{60}} \right)^{1/4} \quad \text{bij } \frac{\sqrt{g D_{60} D_{60}}}{\nu} > 1200$$

3. Helling $m_2 = \text{ctg } \alpha_2$ (deel B-C)

$$m_2 = \left(2,9 - 10 \frac{H_0}{L_0} \right) \left(\frac{H_0}{D_{60}} \right)^{1/3}$$

4. Diepte boven de berm (deel C-D)

$$H_C \approx H_D \approx 0,6 H_0$$

5. Relatief ~~berm~~ berm-lengte (deel C-D)

$$\frac{L_3}{H_0} = \left(0,6 - 3 \frac{H_0}{L_0} \right) \left(\frac{H_0}{D_{60}} \right)^{1/3}$$

6. Helling $m_4 = ctg \alpha_4$ (deel DE)

$$m_4 = \frac{460 \text{ V}}{\sqrt{g D_{60}} D_{60}} + 2,1$$

$$\text{bij } \frac{H_{60}}{D_{60}} > 40$$

en

$$m_4 = K \left(\frac{460 \text{ V}}{\sqrt{g D_{60}} D_{60}} + 2,1 \right)$$

$$\text{bij } \frac{H_{60}}{D_{60}} < 40$$

de waarden van de

waar Koefficient K zijn als volgens

H_{60}/D_{60}	10	15	20	25	30	40
K	1.7	1.5	1.3	1.2	1.1	1.0

7. Relatief diepte bij point E

$$\frac{H_E}{H_{60}} = \left[\frac{400 \text{ V}}{\sqrt{g D_{60}} D_{60}} + 0,55 - \left(\frac{1800 \text{ V}}{\sqrt{g D_{60}} D_{60}} + 2,3 \right) \frac{H_E}{L_0} \right] \left(\frac{H_E}{D_{60}} \right)^n$$

waar

$$n = 0,27 - \frac{36 \text{ V}}{\sqrt{g D_{60}} D_{60}}$$

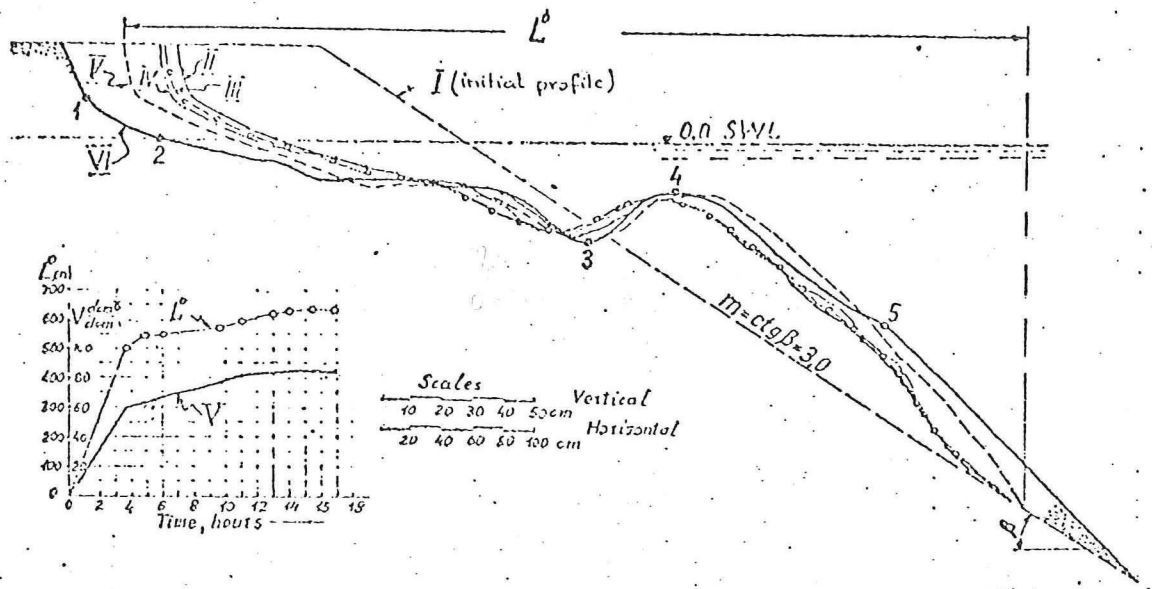
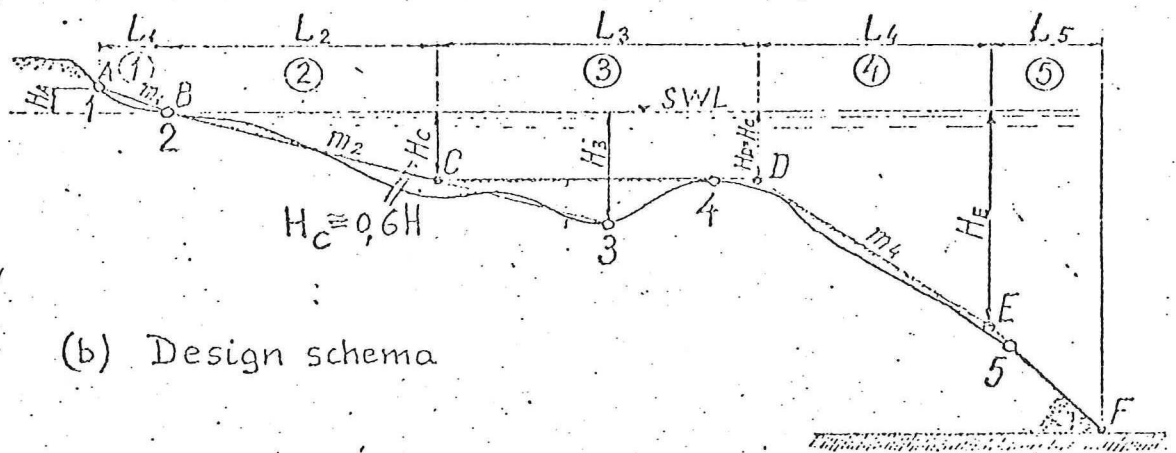
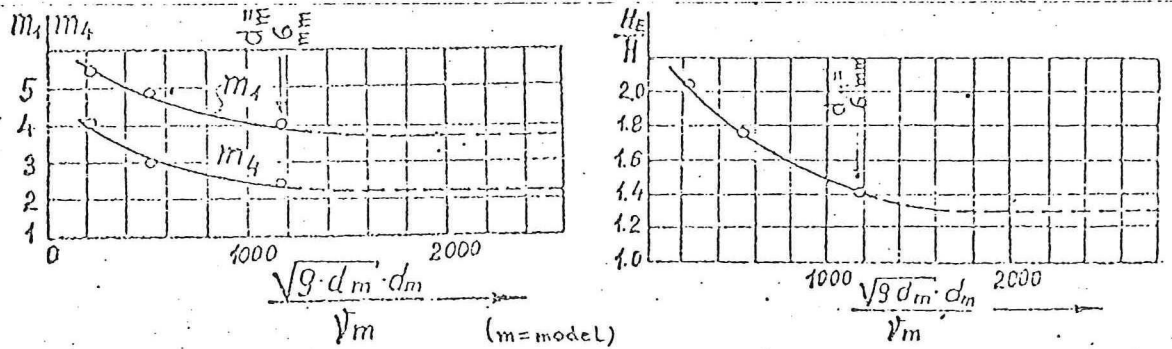


Fig. (a). Different stages of the process of formation by waves of a stable profile of the slope. Gravel with the grain diameter $d_{60} = 6$ mm. Wave parameters: $H = 30$ cm; $\lambda = 450$ cm; $T = 1.73$ sec. (wave height) (wave length)

- I - original slope.
 - II - profile of the slope after 3.6 hours.
 - III - " " " " " 4.8 hours.
 - IV - " " " " " 6.0 hours.
 - V - " " " " " 9.6 hours.
 - VI - " " " " " 16.8 hours.
- L^0 - slope length, cm.
 V - volume of erosion, dcm^3/dcm



(b) Design schema



(c) Scale effects: $H/d_m = 66.7$; $H/\lambda = 1/10$; $d_{\text{model } 60\%} = 2.0, 3.5$ and (mm)
 $(H = 40 \text{ cm at } d_{60} = 6.0 \text{ mm; } \nu = 0.0124 \frac{\text{cm}^2}{\text{sec}})$

Metode Laboratorium Delft (M1216^{II}), []

Test conditions

Korrel diameter :	$D_{90} =$	1.8	4.4	7.1	16.5	(mm)
$S_s = 2650$	$D_{50} =$	1.3	3.4	6.1	13.0	(mm)
golfhoogte, H_0 :	$3.7 \div 46.8$ cm					
golfperiode, T :	1.2	1.6	1.83	2.0	2.44	(sec)
golfsteilheid, H_0/L_0 :	0.006 \div 0.09					
uitgangstelud, α (grad) :	5 en 10					
voorlanddiepte	0.25	0.40	0.50	0.80	1.00	(m)

Schalen

"prototype" D_{90} (mm)	"model" D_{90} (mm)	lengte schaal n_L	tijd schaal n_t
4.4	1.8	2.44	< 1
7.1	4.4	1.61	≈ 1
16.5	7.1	2.32	$> 1 (\propto n_L^{1/2})$

De profielgrootheden van het evenwichtsprofiel, zowel step als bar (figuur 2), zijn gekarakteriseerd door de volgende empirische relaties:

1. Relatief golfloop in het uitgangstelud ($5 \leq \alpha \leq 10$)

$$\frac{h_A}{D_{90} \tan \alpha} = \frac{h_A}{D_{90}} = \left(\frac{1.1 C_0 H_0}{g^{1/2} D_{90}^{3/2}} \right)^{0.83}$$

waar $C_0 = \frac{L_0}{T} = 1.56 T$ (m/s)

2. Relatief golfloop in het evenwichtsprofiel

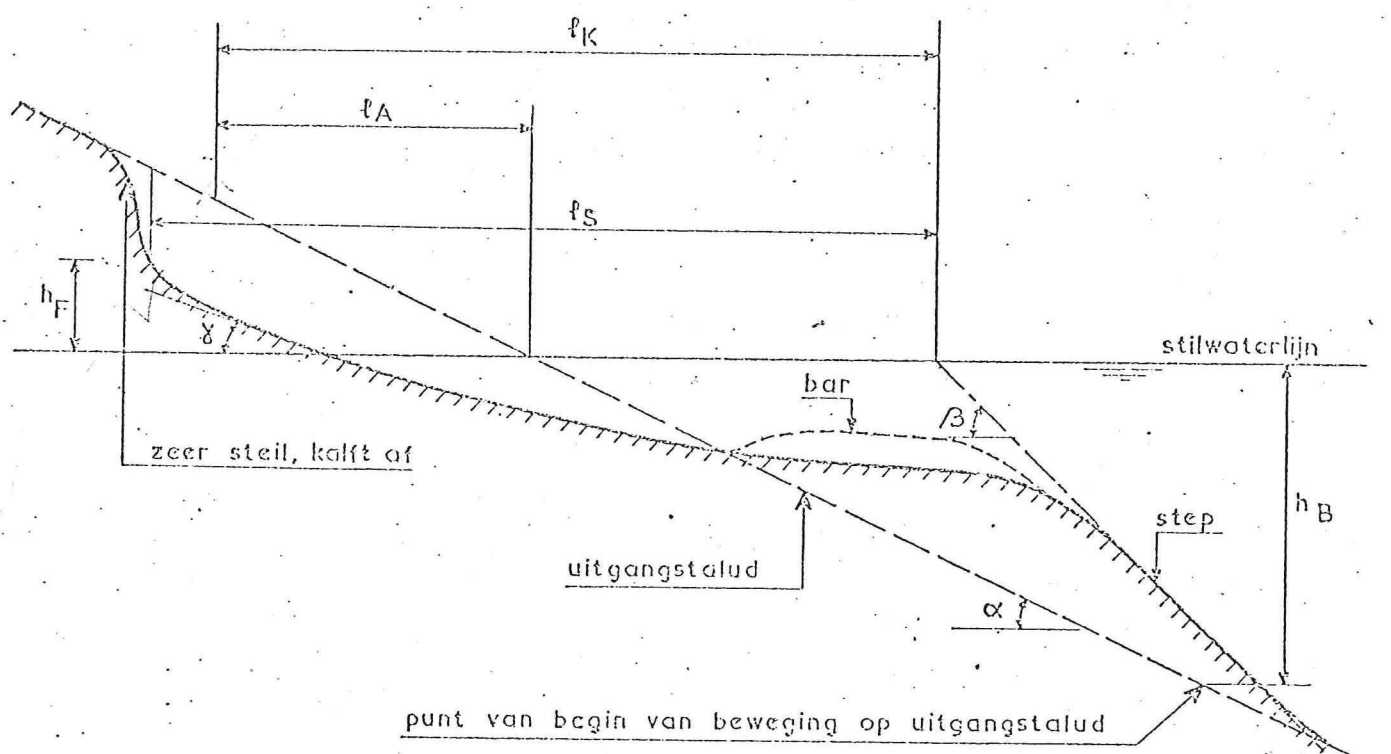
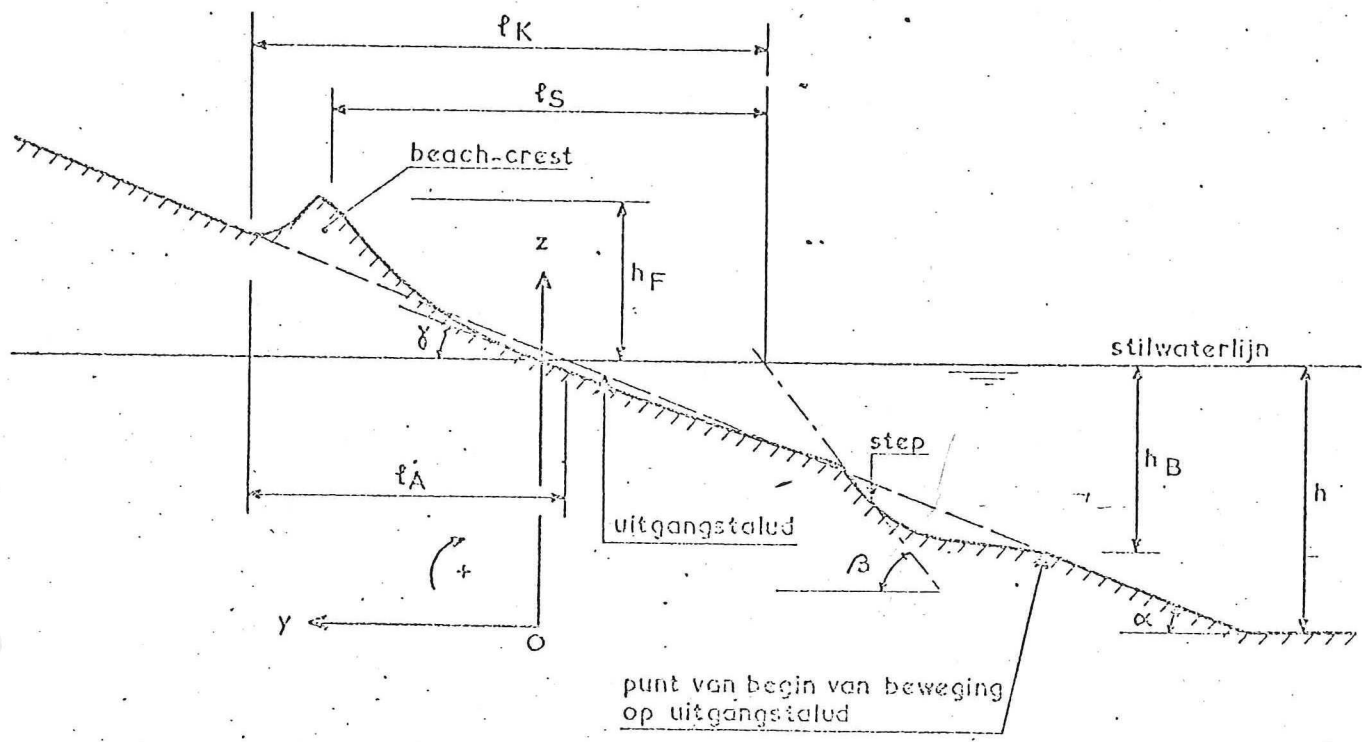
$$\frac{h_F \delta_2}{D_{90}} = 1.7 \left(\frac{C_0 H_0}{g^{1/2} D_{90}^{3/2}} \right)^{1/2}$$

bij $200 \leq \frac{C_0 H_0}{g^{1/2} D_{90}^{3/2}} \leq 2000$ (test limiet)

en $\frac{h_F \delta_2}{D_{90}} = 0.12 \left(\frac{C_0 H_0}{g^{1/2} D_{90}^{3/2}} \right)$

bij $\frac{C_0 H_0}{g^{1/2} D_{90}^{3/2}} \leq 200$

waar $\delta_2 =$ schaalcoëfficiënt



α = hellingshoek uitgangstalud
 β = hoek van natuurlijk talud onder water

SCHEMATISATIE EVENWICHTSPROFIEL

3. Helling bij stilwaterniveau, $\tan \gamma$

~~De~~ De helling van het evenwichtsprofiel ter plaatse van de stilwaterlijn is schaalonafhankelijk en kan, ^{hoofdsakeeljk} worden uitgedrukt als functie van H_0/D_{90} . Dit verband is weergegeven ~~op figuur 3~~ in figuur 7 in functie

$$\tan \gamma = f\left(\frac{H_0}{D_{90}}\right)$$

Uit de spreiding van de meetresultaten kan geconcludeerd worden dat er ook andere factoren ~~moeten~~ ^{moeten} een rol ^{spelen} zoals, waarschijnlijk, golfsterkte en absolute grootte van de korrel-diameter.

In een inzet op deze bijlage wordt het verband weergegeven zoals Kemp en Pinston [] dit vinden voor grof zand. De hoek γ is hier niet duidelijk gedefinieerd, maar schijnt een gemiddelde waarde te zijn van de gradient tussen beach-crest en step. Zij vinden wel een afhankelijkheid van de golfperiode.

Het is zeer waarschijnlijk, dat deze functie afhankelijk is van de korrel diameter ~~of~~ ^{omdat de infiltratie en de terugslaat} afhankelijk zijn van de korrel diameter, bij de bepaalde grootte van de korrel diameter ^{kan} deze functie ook waarschijnlijk onafhankelijk zijn van de korrel diameter.

4. Plaats van de step: $\tan \beta$ en afstand L_s .

De ~~horizontale afstand~~ ^{zwaartepunt} plaats van de V -step, zowel bij step als bij ~~profiel~~, kan omgeschreven worden ^{door} ~~door~~ het punt van het stilwater-niveau in afstand L_s van de maximum golfloop in het evenwichtsprofiel (h_F) en de helling van de step, $\tan \beta$, die benadert ^{de natuurlijke} de helling van ~~natuurlijk~~ het materiaal onder water. De helling van de step is gelijk aan $\tan \beta = 0.4$ bij $D_{90} = 1.8 \text{ mm}$ en $\tan \beta = 0.6$ bij $D_{90} \geq 4 \text{ mm}$.

De horizontale afstand L_s , onafhankelijk van het type profiel, omgeschreven kan worden als

$$\frac{L_s}{D_{90}} = 10 \frac{H_0}{D_{90} \bar{\sigma}_1} - 100 \quad \text{bij } 20 \leq \frac{H_0}{D_{90} \bar{\sigma}_1} < 200$$

$$\text{en } \frac{L_s}{D_{90}} \approx 1.7 \left(\frac{H_0}{D_{90} \bar{\sigma}_1}\right)^{3/2} - 10 \quad \text{bij } 5 < \frac{H_0}{D_{90} \bar{\sigma}_1} < 20$$

waar $\bar{\sigma}_1 =$ draaalkoefficient

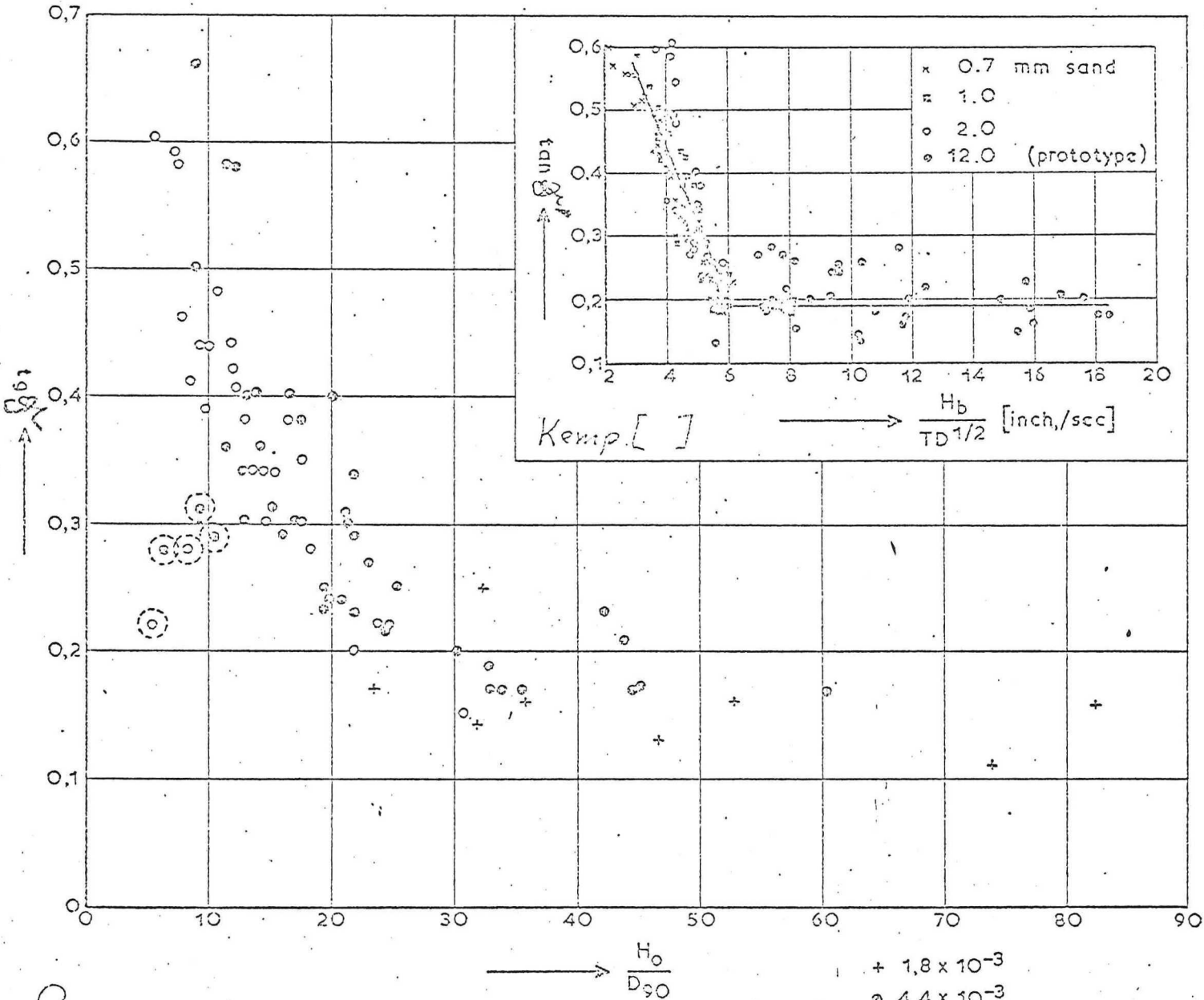
KARAKTERISERING EVENWICHTSPROFIEL.
 HELLING TER PLAATSE VAN HET STILWATERNIVEAU.

WATERLOOJKUNDE LABORATORIUM

M. 1216

FIG. 2

Handwritten signature



2 ⊙ stijgende tak van de grafiek

- + $1,8 \times 10^{-3}$
- ⊙ $4,4 \times 10^{-3}$
- $7,1 \times 10^{-3}$

5. Plaats van de step ten opzichte van de uitgangshoofd-afstand

$$\frac{L_k}{D_{30}} \cong \left(\frac{H_0}{D_{30}} \text{tg} \alpha^{-1/3} \right) - 25 \quad \text{bij} \quad \frac{H_0}{D_{30}} \text{tg} \alpha^{-1/3} \leq 250 \quad (\text{test klein})$$

6. Profielvorm tussen de h_F en de step ~~van de top van de beach-crest (of h_F) en de~~

De profielvorm tussen de top van de beach-crest (of plaats van maximaal golfoploop) en de step ~~kan~~ ^{kan} door een parabool benaderd worden

$$\frac{y - y_1}{D_{30}} = -\alpha_p \left(\frac{z - z_1}{D_{30}} \right)^2$$

waar: y_1, z_1 - horizontale en verticale ordinaten van de top van de parabool. De horizontale ordinaten y_1 is gelijk aan de ordinaten van h_F en kan gedefinieerd worden als

$$y_1 = L_A - L_K + h_s$$

waar $L_A = h_A \cdot \text{ctg} \alpha$

De coëfficiënt α_p blijkt een functie te zijn van $\frac{H_0}{D_{30}}$ en gevoelig voor schraaltheits. De waarden van α_p kunnen worden benaderd als volgt

$$\alpha_p \delta_1^{-1} \cong (0.07 - 0.14) \cong 0.11 \quad \text{bij} \quad \delta_1 \frac{H_0}{D_{30}} < 20$$

$$\alpha_p \delta_1^{-1} \cong (0.08 - 0.11) \cong 0.09 \quad \text{bij} \quad \delta_1 \frac{H_0}{D_{30}} \approx 20 \div 30$$

$$\alpha_p \delta_1^{-1} \cong (0.07 - 0.09) \cong 0.08 \quad \text{bij} \quad \delta_1 \frac{H_0}{D_{30}} > 30$$



De as van de parabool ligt horizontaal en het betreffende gedeelte van het evenwichtsprofiel wordt gegeven door de onderste tak. De plaats van de parabool wordt vastgesteld door het punt van maximale golfoploop (h_F) in het evenwichtsprofiel, de helling ter plaatse van de stilte lijn ($\text{tg} \alpha$) en de lijn of step raaklijn door de step.

7. Diepte begin van beweging in het uitgangshoofd

$$\frac{h_B}{D_{30}} \cong 1.75 \frac{H_0}{D_{30} \delta_1} \quad \text{bij} \quad 20 \leq \frac{H_0}{D_{30} \delta_1} \leq 150 \quad (\text{test klein})$$

waar bij $\delta_1 = 1$ (geen schraaltheit), $\frac{h_B}{H_0} \cong 1.75 \cong \text{const.}$

en $\frac{h_B}{D_{30}} = \underbrace{0.15}_{0.175} \frac{C_0 H_0}{g^{1/2} D_{30}^{3/2} \delta_1^{3/2}}$ bij $\begin{cases} 5 < \frac{H_0}{\delta_1 D_{30}} < 20 \\ \text{en} \frac{C_0 H_0}{g^{1/2} D_{30}^{3/2} \delta_1^{3/2}} < 200 \end{cases}$

(ruwge benadering)

8. Het bar-step criterium

De ~~profiel~~ formule voor de profielgrootheden ^{geldt} in deze methode, in het algemeen, zowel voor step als bar profielen. De geometrie van het bar is niet omgevat in deze methode toch er is een bar-step criterium ^{inbrengen in begrepen} waarvan de type van profiel kan vastgesteld worden. Dit criterium is gedefinieerd als

$$\frac{H_0}{L_0} \cdot \frac{H_0}{D_{90}} > 2.5 \delta_1^3$$

of
$$\frac{H_0}{L_0} = 2.5 \left(\frac{H_0}{D_{90}} \delta_1^{-3} \right)^{-1}$$

waar
$$\delta_1 = \left[\frac{D_{90}}{(D_{90})_1} \right]^{1/2} \leq 1 \quad \text{en} \quad (D_{90})_1 = 6 \text{ mm}$$

Omdat bij de toegepaste materialen (M1216) geldt als gemiddelde verhouding tussen de D_{90} en de D_{50} : $D_{90} \approx 1.3 D_{50}$, dus ook

$$\frac{H_0}{L_0} \approx 3.2 \left(\frac{H_0}{D_{50}} \delta_{1(50\%)}^{-3} \right)^{-1}$$

waar
$$\delta_{1(50\%)} = \left[\frac{D_{50}}{(D_{50})_1} \right]^{1/2} \leq 1 \quad \text{en} \quad (D_{50})_1 \approx 4.7 \text{ mm}$$

In het geval dat uit deze criterium blijkt dat er een bar profiel ontstaat, het bar kan alleen "door oog" getrokken worden zoals op bijlage 2 is te zien. De diepte boven het bar kan ^{als tussen} ~~omgevat~~ ^{methode} ~~van~~ $0.6 H_0$ benaderd worden zoals in methode van Popov. Een $0.7 H_0$ volgens M1063 [] benaderd worden.

9. Schaaleffekten

Koefficienten J_1 en J_2 in de eerder genoemde relaties

Uit het onderzoek M1216 blijkt dat bij het materiaal met $D_{90} < 6 \text{ mm}$ een duidelijk schaal effect in de afmetingen en vorm van het evenwichtsprofiel plaats vindt.

De schaal effecten zijn ^{inbrengen in begrepen} in de eerder genoemde relaties ^{omgevat} door de koefficienten J_1 en J_2 in te brengen.

Voor $D_{90} < \sim 6 \text{ mm}$, ^{diezen} ~~de~~ parameters L_s , L_k en h_B vermenigvuldigd te worden met een schaalcoefficient J_1 . Profiel type (bar/step) heeft geen invloed op L_s en L_k .

Voor $D_{90} < \sim 4 \text{ mm}$ dient de h_B vermenigvuldigd te worden met een schaalcoefficient J_2 .

De groottes van δ_1 en δ_2 kunnen worden bepaald ^{bepaald} door ~~van~~ de relaties

$$\delta_1 = \left[\frac{D_{90}}{(D_{90})_1} \right]^{1/2} \leq 1 \quad \text{waar } (D_{90})_1 \cong 6 \text{ mm}$$

($\delta_1 = 1$ bij $D_{90} \geq (D_{90})_1$)

en

$$\delta_2 = \left[\frac{D_{90}}{(D_{90})_2} \right]^{1/2} \geq 1 \quad \text{waar } (D_{90})_2 \cong 4 \text{ mm}$$

($\delta_2 = 1$ bij $D_{90} \geq (D_{90})_2$)

Het is te adviseren

De minimum "model" korrel diameter d_p voor een juiste reproductie van model naar prototyp, kan ~~eigenwaarde~~ ^{bij gebruik van deze methode} groter dan ca. $D_{90} = 2 \text{ mm}$ ($D_{50} \cong 1.5 \text{ mm}$) te gebruiken.

Schaaleffecten in formule van Popov zijn uitgedrukt in parameter

$$\frac{\sqrt{g D_{60} D_{60}}}{U} = \frac{\sqrt{g}}{U} D_{60}^{3/2}$$

die ~~aan~~ ⁽³⁾ ~~aan~~ ⁽³⁾ komt ook voor in relaties van M1216 (i.e. $D_{90}^{3/2}$). ^{De schaal effecten hebben tot gevolg dat de vervormingen die in het model worden gemeten relatief vroter zijn dan in het prototype. (in meeste gevallen in een model)}

Popov komt tot de conclusie, dat bij het voldoen aan de voorwaarde

$$\frac{\sqrt{g D_{60} D_{60}}}{U} > 1000$$

de schaal effecten verwaarloosbaar klein worden (ca. $D_{60} > 5 \text{ mm}$)

Dere conclusie is in overeenstemming met de resultaten van M1216.

Of ~~het of juist~~ Of inderdaad f het schaal effecten helemaal verdwijnt vanaf een bepaalde grootte van de korrel diameter, kan alleen uit proeven met nog grotere diameters en grote golfhoogtes ~~kan~~ worden nagegaan

Enkele ^{gegevens} van M1216 betreffende de groot-schaal meetresultaten (parameters) waar feitelijk geen schaal effect optreedt. ($D_{90} = 7.1$ en $16.5 \text{ mm} > 6 \text{ mm}$, $\delta = 1$) zijn in tabel 1 weergegeven. Deze tabel omvat, naast de experimentele waarden van het diepte diepte van beweging ook, ter vergelijking, de uitgerichte waarden volgens de methode ontworpen in de volgende paragraaf (voor $c_{fd} = 5$ ^{schrijvingsfunct.} $f = 1$ anklap- bodem koëfficiënt voor het begin van total bodem beweging $K = 1/1.25$).

Tabel 1

Profiel-parameters (M 1216)

Talud 1 op 5 (ctgd=5, $D_{90} > 6 \text{ mm}$ (geen schaafeffect, $\delta \approx 1$))

$\text{tg } \beta \approx 0,6 \approx$ natuurlijk talud onder water ($\text{tg } \beta \approx \text{tg } \phi \approx f$)

Proef №	Water diepte cm	Golfkondities					Materiaal (grind)				Diepte begin $\frac{1}{n}$ beweging		
		T sec	L_0 cm	H cm	H_0 cm	$\frac{H_0}{L_0}$	D_{90} mm	D_{50} mm	$\frac{H_0}{D_{90}}$	$\frac{H_0}{D_{50}}$	$\frac{d_i''}{L_0}$ ^{x)}	$\frac{h_B}{L_0}$ ^{gemeten}	$\frac{d_i}{h_B}$
1	80	2.0	624	13,5	14,7	0,0236	7,1	6,1	20,7	24,1	0,038	0,0464	0,82
2	80	2.0	624	21,6	23,5	0,0375	7,1	6,1	33,1	38,5	0,068	0,0656	1,035
3	80	2.0	624	34,8	38,0	0,0606	7,1	6,1	53,5	62,1	0,1175	0,096	1,22
4	100	1.83	523	22,7	24,8	0,0474	16,5	13,0	15,0	19,1	0,063	0,048	1,32
5	100	1.83	523	31,7	34,6	0,0662	16,5	13,0	21,0	26,6	0,092	0,084	1,095
6	100	1.83	523	42,9	46,8	0,0900	16,5	13,0	28,4	36,0	0,131	0,105	1,25
7	100	2.44	930	18,1	19,5	0,0210	16,5	13,0	11,8	15,0	0,028	0,028	1,00
8	100	2.44	930	24,8	26,7	0,0288	16,5	13,0	16,2	20,5	0,042	0,041	1,03
9	100	2.44	930	35,2	38,0	0,0409	16,5	13,0	23,0	29,2	0,066	0,060	1,10

x) voor $f \approx \tan \phi = 0,6$; d_i'' = diepte begin $\frac{1}{n}$ totale bodem-laag beweging (berekend)

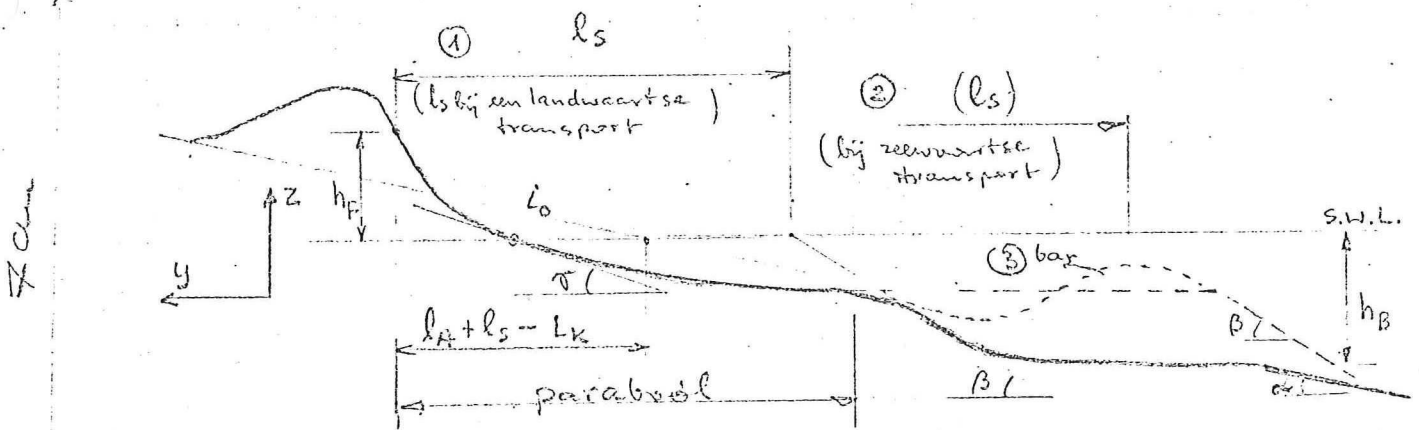
Profiel-parameters (gemeten)														
№	$\frac{H_0}{L_0}$	$\frac{H_0}{D_{90}}$	$\frac{H_0}{D_{50}}$	$\text{tg } \delta$	h_A cm	L_A cm	L_K cm	L_S cm	h_F cm	h_B cm	$\frac{h_A}{h_B}$	$\frac{h_K}{h_B}$	$\frac{h_S}{h_B}$	Profiel type
1	0,0236	20,7	24,1	0,22	166	83	135	108	19	29	1,13	1,29	1,97	step
2	0,0375	33,1	38,5	0,18	218	109	197	176	24	41	0,93	1,02	1,75	step
3	0,0606	53,5	62,1	0,18	260	130	330	352	31	60	0,685	0,816	1,58	bar
4	0,0474	15,0	19,1	0,22	182	91	125	96	23	25	0,733	0,93	1,01	step
5	0,0662	21,0	26,6	0,21	218	109	175	147	26	44	0,63	0,75	1,27	step
6	0,0900	28,4	36,0	0,20	240	120	234	212	25	55	0,513	0,534	1,175	bar
7	0,0210	11,8	15,0	0,39	184	92	124	90	27	26	0,94	1,38	1,13	step
8	0,0288	16,2	20,5	0,17	252	126	199	165	32	38	0,94	1,20	1,42	step
9	0,0409	23,0	29,2	0,16	324	162	275	244	36	56	0,85	0,95	1,475	step

Opmerkingen t.o.v. berekening van evenwichtsprofiel

De coördinaten van de top van de parabool in methode M1216 zijn niet volledig gedefinieerd wat de analytische profiel berekening een beetje moeilijk maakt. Het lijkt makkelijker, de vorm van de parabool, in eerste instantie, van de algemene vergelijking

$$\frac{y}{D_{30}} = -\alpha_p \left(\frac{z}{D_{30}} \right)^2$$

te berekenen. Daarna (b.v. grafisch) kan men het betreffende gedeelte van de parabool (= gedeelte van het evenwichtsprofiel) vast te leggen door de helling, $\text{tg } \delta$, (het punt van tangency gelijk is aan het snijpunt met stilwaterlijn), de afstand l_s en de helling, $\text{tg } \beta$.



Als volgende stap, kan het uitgangshelling (talud) ingetrokken worden door gebruikmaking van parameters l_k en l_A (of de afstand $l_A - l_k$) en de diepte begin van beweging h_B . Dan, de nog ontbrekende gedeelten van het evenwichtsprofiel kunnen "door oog" doorgetrokken worden (vanaf de diepte h_B) rekening houdend met totrek materiaal balans t.o.v. het uitgangstalud (dit balans moet ca. nul zijn).

Wanneer met het step-bar criterium blijkt dat er een bar-profiel moet zijn, lijkt het verstandig de beide methoden, M1216 en Popov samen te combineren. Het voorbeeld van de toepasbaarheid van methode van Popov is op figuur B gegeven (Proef N=1, tabel 1)

Methode	Oploop evenwichtsp. h_p of H_A	Taludhelling - stilwaterlijn	afstand l_s	berm diepte H_c	h_B of H_E
Meestrukkaten	$h_p = 0,31 \text{ m}$	$\text{tg } \delta = 0,18$	$l_s = 3,52 \text{ m}$	$0,20 \text{ m}$	$0,60 \text{ m}$
Methode M1216	$h_p = 0,304 \text{ m}$	$\text{tg } \delta = 0,175$	$l_s = 3,10 \text{ m}$	-	$0,665 \text{ m}$
Popov	$H_A = 0,13 \text{ m}$	$\text{tg } \delta_1 = 0,282 \text{ (1:3,55)}$ $\text{tg } \delta_2 = 0,12 \text{ (1:8,35)}$	$l_s \approx l_1 + l_2 + l_3 = 0,46 + 1,74 + 0,51 = 2,71$	$0,21 \text{ m}$	$H_E = 0,66 \text{ m}$

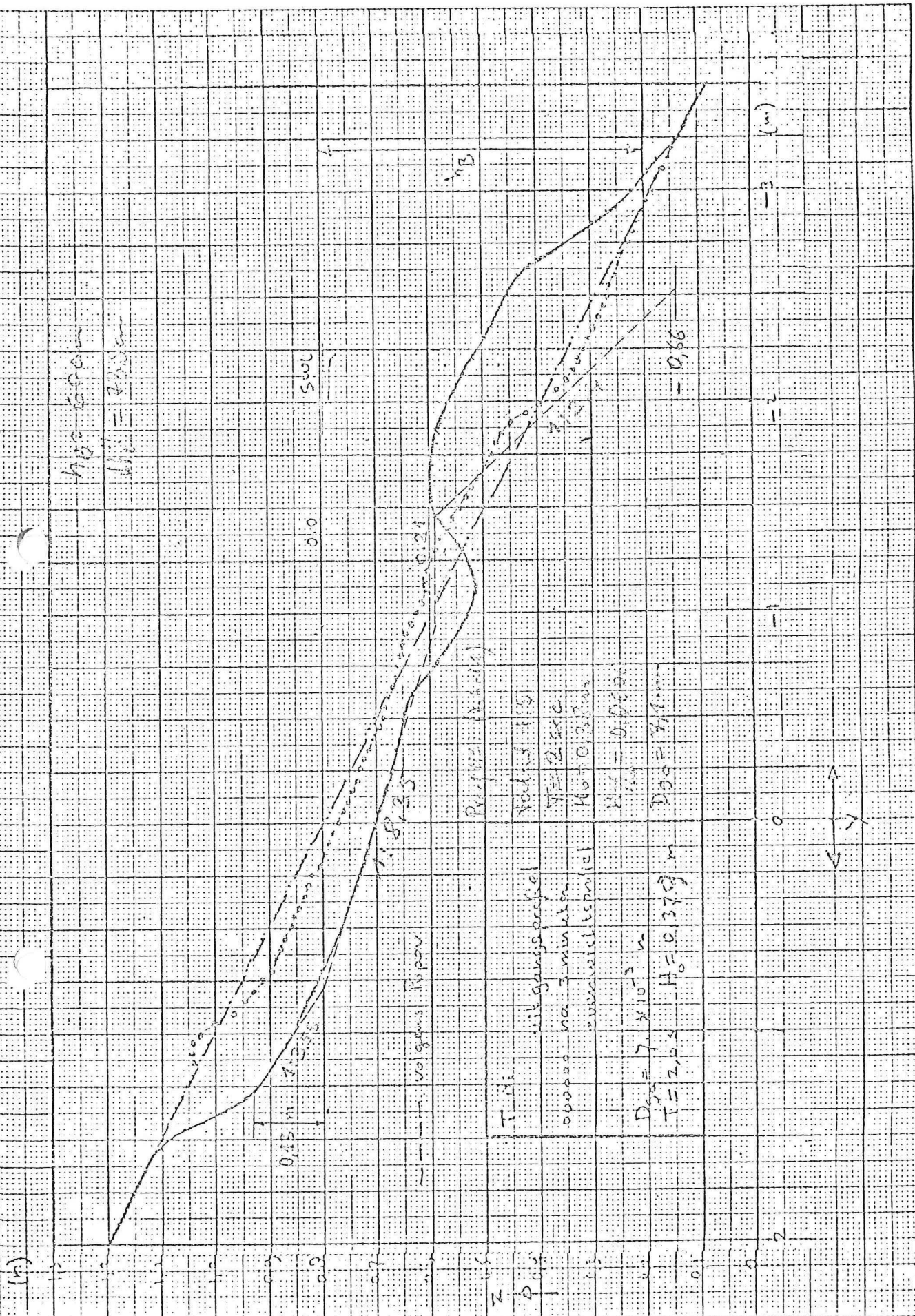
Het profiel van Popov is korter is dan de experimentele profiel. Het licht waarschijnlijk dat methode van Popov is slechts op talud 1:3 gebaseerd en dat resulteert in een kortere lengte van een profielvervorming, en in een groter diepte begin van beweging (methode van Popov omvat geen invloed van taludhelling). Aanwendelijk verschillend is de ophoophoogte die veel kleiner is dan die van M1216. In het algemeen neemt de golfloop toe met taludhelling (met t_{gd}) terwijl hier is andersom. Het licht waarschijnlijk dat hier een definitieve-verschil van een golfloop plaats heeft; in methode M1216 is er een maximale golfloop. Van de andere kant, de profielhellingen boven (t_{gd1}) en onder (t_{gd2}) het stilteerlijn, en de bermdiepte (H_c) in overeenstemming met de gemeten parameters zijn. Dus, parameters t_{gd1} , t_{gd2} en H_c kunnen behulpzaam zijn ook bij de berekening van de evenwichtsprofielen voor taluds steiler dan 1:3.

Parameter h_s volgens M1216 methode is kleiner is dan de gemeten waarde. Dit verschil geeft indicatie over de afwijking tussen de gemiddelde waarde (volgens de methode) en de gemeten waarden; de methode geeft een gemiddelde waarde uit beide klein- en groot-schaal modellen. Merkwaardig is dat het begin van beweging op het uitgangstalud een landwaartse richting heeft terwijl het latere transport een zeewaarts richting heeft zoals uit het profiel die na 3 minuten is ontstaan in figuur 8 is te zien.

Wanneer het doel van berekening de optimale uitgangstalud (helling) te ontwerpen is, moet de uitgangshelling, na de berekening van het evenwichtsprofiel, in zo'n manier doorgebroken worden dat beide, accumulatie en erosie, minimum zijn.

De invloed van de uitgangshelling op profielvervorming is in figuur 9 voor taluds 1:5 en 1:10 als een voorbeeld weergegeven. Er is te zien dat de beide profielen geometrisch vergelijkbaar zijn.

In de bovenstaande manier van de profielberekening kan men eenzijdig, de grootte (volume) van de vervorming van de uitgangstalud te berekenen (scratten) of, anderzijds, de optimale taludhelling bij welke de ^{profiel}vervorming minimum is, te berekenen.



KARAKTERISIERUNG EQUILIBRIUMS PROZESS

TIEFEN BEWERTUNG VON BEWEGUNG

W1216 f3 21 8

$L_0 = 6.24 \text{ m}$
 $d/L_0 = 0.1649$
 $H_0/L_0 = 0.99175$
 $d/L_0 = 0.1649$
 $H_0/L_0 = 0.99175$

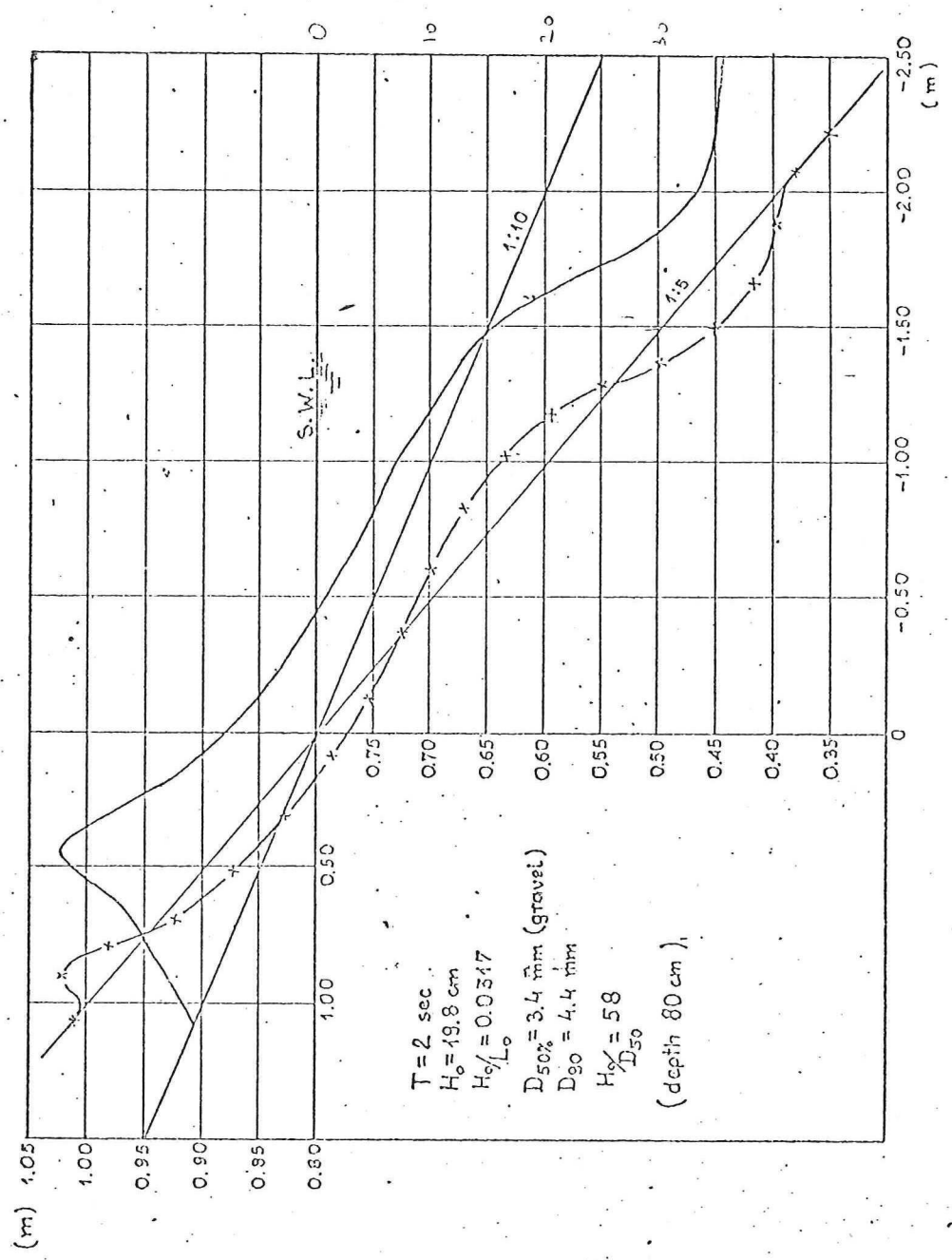


FIG. EQUILIBRIUM BEACH PROFILES. EFFECT OF INITIAL SLOPE. M1216, []

Opmerkingen t.o.v. diepte begin van beweging

a) De diepte begin van beweging van het materiaal is gedefinieerd in M1216 methode voor een uitgangstalnd (het punt of diepte waar het profielvorming begint). Het punt van begin van beweging op het uitgangstalnd valt samen met het punt waar het evenwichtsprofiel begint slechts in het geval van een landwaartse (net) transport. Treedt afrekening op, beneden het punt van begin van beweging (zeewaarts transport), dan is de plaats van het punt, waar het evenwichtsprofiel begint af te wijken van het uitgangsprofiel, voldoende bepaald door het snijpunt van de raaklijn door het buigpunt van de step met het uitgangsprofiel (α t.g. β), figuur 6.

Zulke profiel met een zeewaarts transport maar zonder bar, is ook in M1216 methode als stepprofiel geseind.

b. De diepte HE in methode van Popov, is ^{slechts} ~~is~~ ^{alinea} ~~alinea~~ gedefinieerd voor de profielen met zeewaarts transport, bepaalt een zeewaartse limiet van ^{antipolite} ~~antipolite~~ golfinvloed op het profielvorming (het deel E-F, figuur 5. heeft een natuurlijk helling gevormd door door afgeret materiaal - dus zonder directe golfwerking).

Formule van Popov voor HE omvat de golfsteilheid (dus ook T) maar het is niet duidelijk of ze mag qua formule-constructie met de diepte begin van beweging vergeleken worden.

Deze formule, ~~is~~ waarschijnlijk slechts voor talnd 1:3 geldig is, kan voor een grof materiaal en geen schaal effect optreden ($D_{60} > 5\text{mm}$) gereduceerd worden tot

$$\frac{HE}{H_0} \approx (0.55 - 2.3 \frac{H_0}{L_0}) \left(\frac{H_0}{D_{60}} \right)^{0.27}$$

Dere laatste formule kan, voor $g_0 k H / L \leq 0.05$, omschreven worden als

$$\frac{HE}{H} = 0.5 \left(\frac{H_0}{D_{60}} \right)^{1/4}$$

Waarin $\frac{H_0}{L}$ - golfhoogte ^{engte} bij de teen van het talnd.

c.) - - -

c) De diepte begin van beweging varieert met de korrel diameter; het neemt af en komt steeds dichterbij de breker als diameter toeneemt. Het lijkt ook zinvol aan te nemen dat de breker, waar de uitsluiting vermogen maximaal is, als een landwaartse limiet van deze diepte mag worden beschouwd.

De orbitaal beweging van het water, dichtbij de breker, wordt getransformeerd in progressive, turbulente beweging.

De uitsluiting vermogen van ^{de} golven, dicht bij de brekerzone, neemt snel toe met afname in de diepte. Vanaf een bepaalde korrelgrootte de diepte begin van beweging neemt in de brekerzone plaats waar een kleine diepte variatie veroorzaakt een relatief grote verandering in de korrelgrootte die begint zich te bewegen. De condities ^{van} ~~bij~~ ^{waarschijnlijk} ~~dit~~ ^{dit} begin van beweging plaats vindt zijn sterk afhankelijk van het breking proces en zijn variatie met de golfsteilheid (de steilheids helling ~~ook~~ op het brekingproces invloed heeft).

Voor de steile golven ($\alpha = H_0/L_0 > 0.02$) is de breker afhankelijk, in overheersend mate, van de golfhogte (zie figuur 10 = 12) en het effect van de golfperiode klein is. De lengte van de brekertransformatie ^{afstand} klein is en dus de diepte begin van beweging varieert ~~er~~ ^{ook} in zeer klein mate. Dat kan ^{and} indruk maken, ~~dat~~ ^{voor} een beperkte variatie van H_0/D_{50} , dat deze diepte ^{uitgedrukt in de golfhogte} ~~constant~~ is.

Uit M1216 onderzoek is gebleken dat de diepte begin van beweging voor $D_{50} \geq 0.5 \text{ m}$ ($D_{50} \geq 6 \text{ mm}$, $\bar{D} = 1$, geen schaal effect).

Kan steeds in de golfhogte uitgedrukt worden, namelijk

$$h_B \cong 1.75 H_0 \quad \text{bij } \frac{H_0}{D_{50}} > 20$$

maar dat zeg niet niet wanneer een bepaalde korrelgrootte begint zich te bewegen, ^{begin van} ~~de~~ ^{steeds} de plaats van ~~de~~ ^{begin van} beweging (diepte) wordt (ongeveer) benaderd.

In iedere geval, is het zinvol aan te nemen dat de diepte begin van beweging, tenminste in de vorm $h_B = f(H_0)$, niet als voldoende criterium begin van beweging kan worden beschouwd.

Het algemeen criterium begin van beweging moet eigenlijk de volgende drie stadia omvatten, namelijk:

- Begin van beweging als functie van oscillerende snelheid op de bodem voor een zeewaarts gebied t.o.v. breker

Tot dit gebied behoren waarschijnlijk al de M1216 proeven met $D_{50} \leq 6 \text{ mm}$ (of $D_{50} = 5 \text{ mm}$).

Voor dit gebied ^{is} zijn al een aantal criteria ontworpen b.v. Rance & Warren [], Horikawa & Watanabe [] etc. (figuren 13-15).

Deze criteria werden echter op de ^{horizontale} platte, grove bodem en turbulente condities vastgesteld en ^{de meeste kritieken} zijn meestal afhankelijk van een pulsating waterbuis. Dus, de experimentele verificatie, speciaal met de ^{invloed van} helling betreft, op de "echte" profielen is steeds noodzakelijk. Dat zou misschien mogelijk zijn met behulp van M1216 gegevens voor taluds 1:5 en 1:10.

- Vast te stellen van de grens (limiet) van de toepasbaarheid van de oscillerende-stroom-criteria. In andere woorden, de limiet condities waar de diepte begin van beweging doort bij de breker komt en blijft praktisch konstant (waar de diepte begin van beweging geen criterium van de korrel beweging meer is).

- Stabiliteit van de korrels dichtbij en binnen de brekerzone. Deze stadium kan geïdentificeerd worden met de criterium van de ~~totale~~ absolute taludstabiliteit als functie van H_0/L_0 , H_0/D_{50} , α , β_s en % schade. De 0% schade betekent in dit geval een absolute taludstabiliteit, en 0-10% schade gelijk is aan een beperkte steen-verplaatsing maar zonder een echte profielvervorming (de stenen kunnen in de plaats van breker tot de onderlaag uitgehakt worden, ca. $2 D_{50}$). In het algemeen, bij schade gelijk of groter dan 15% begint een bepaalde profielvorm zich te ontwikkelen.

De % schade is meestal gedefinieerd als een aantal verplaatste stenen t.o.v. de totale aantal stenen in een active zone waar de profielvervorming plaats vindt.

Er is een aantal onderscheidingen gedaan aan deze problematiek maar jammer genoeg, in de meeste gevallen, zijn ze beperkt tot de storsteen, betonblokken of betropoden, en taluds gelijk of steiler dan 1:5. De beschouwing van deze criteria wordt in de volgende paragrafen weergegeven, (Paragraaf ... en ...)

Uit Fig. 9 is te zien dat fluvium talud 1:10 minder stabiel is dan de normale talud 1:10. Dit is te zien aan de afname van de taludhoogte en de toename van de taludtoppen. Dit is te zien aan de afname van de taludhoogte en de toename van de taludtoppen.

[Munk, [3]]

$H_b/H_0 = 0.56 \sqrt{H_b/L_0}$ (Munk & Benjamin)
 Munk & Benjamin (1962) p. 16
 Munk & Benjamin (1962) p. 16

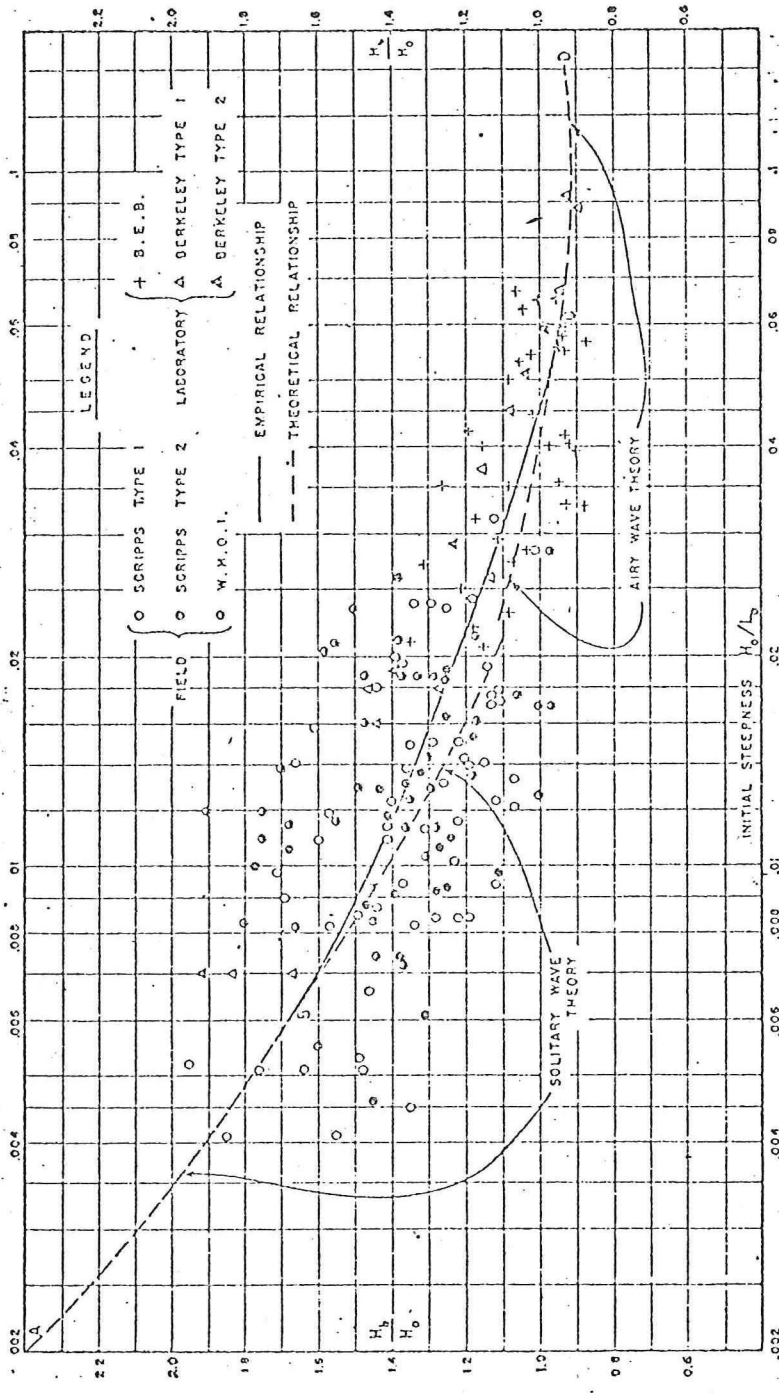


FIGURE 3. Comparison between predicted and observed breaker heights.

Fig. 10

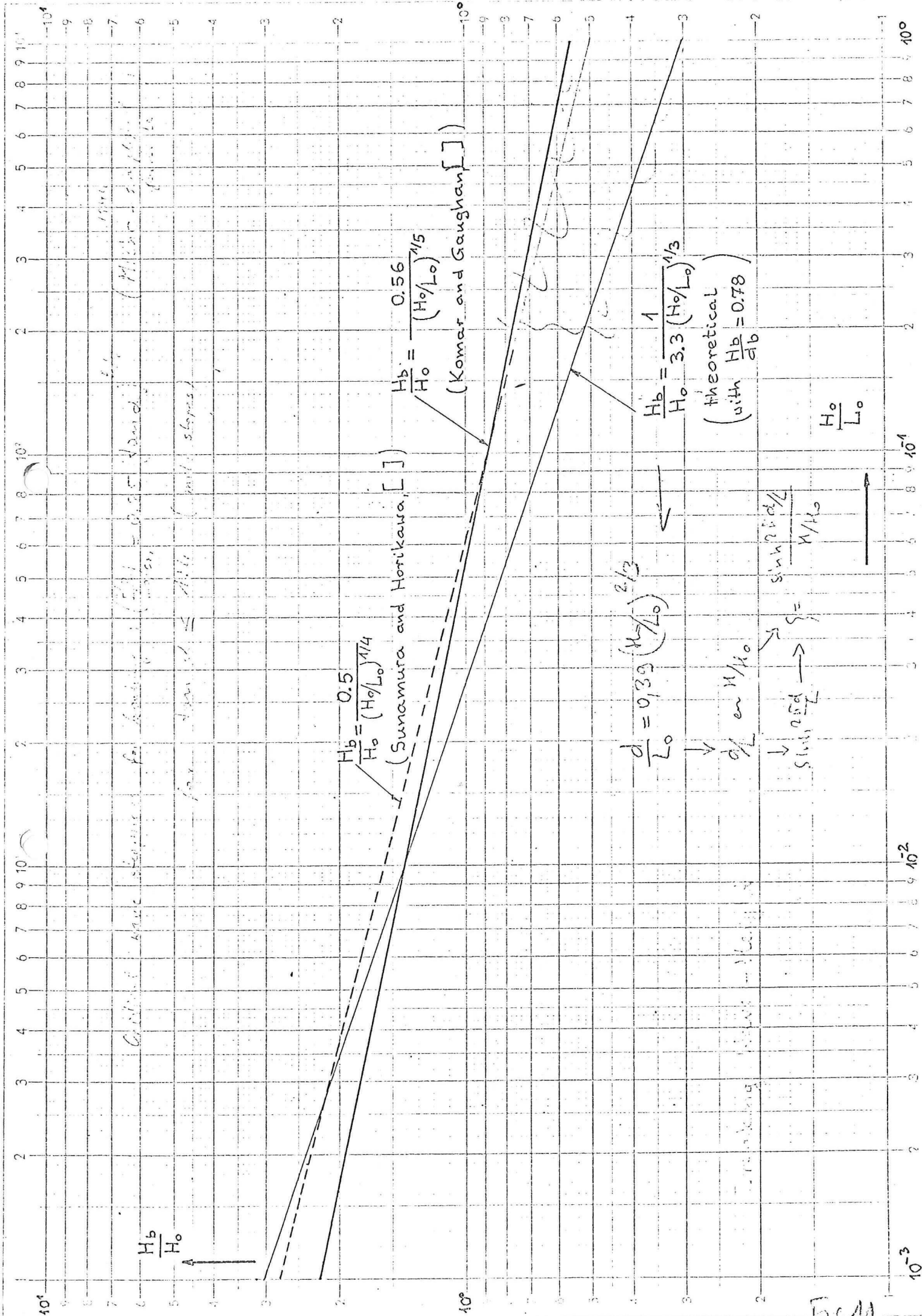
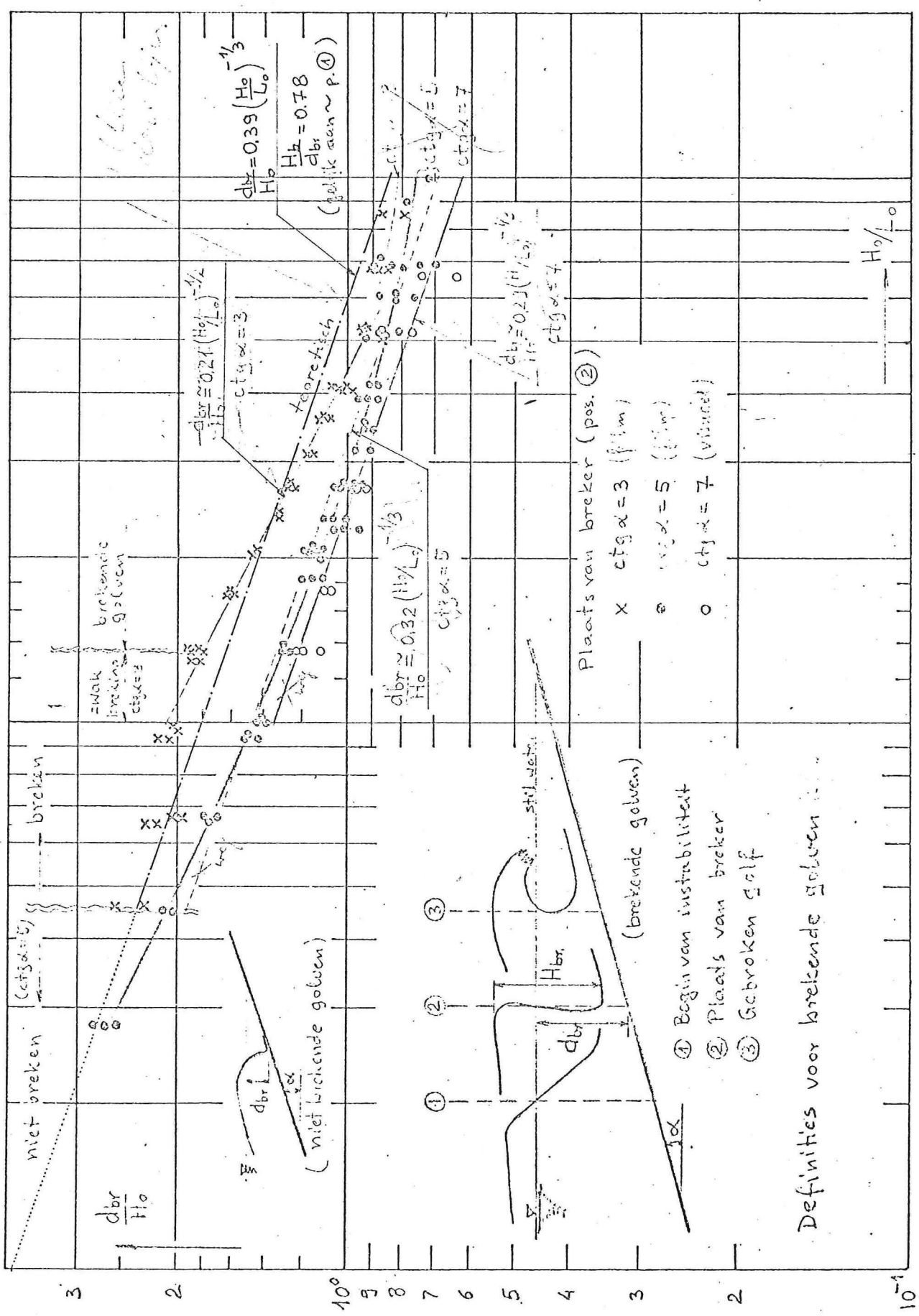


Fig 11



M 17130

A4

mit breken

breken

$$\left(\frac{dbr}{H_0}\right) = 0,39 \left(\frac{H_0}{L_0}\right)^{-1/3}$$

(5) → formule van T. Saville

$$\frac{dbr}{H_0} \approx 0,32 \left(\frac{H_0}{L_0}\right)^{-1/3}$$

(plaats van breking)

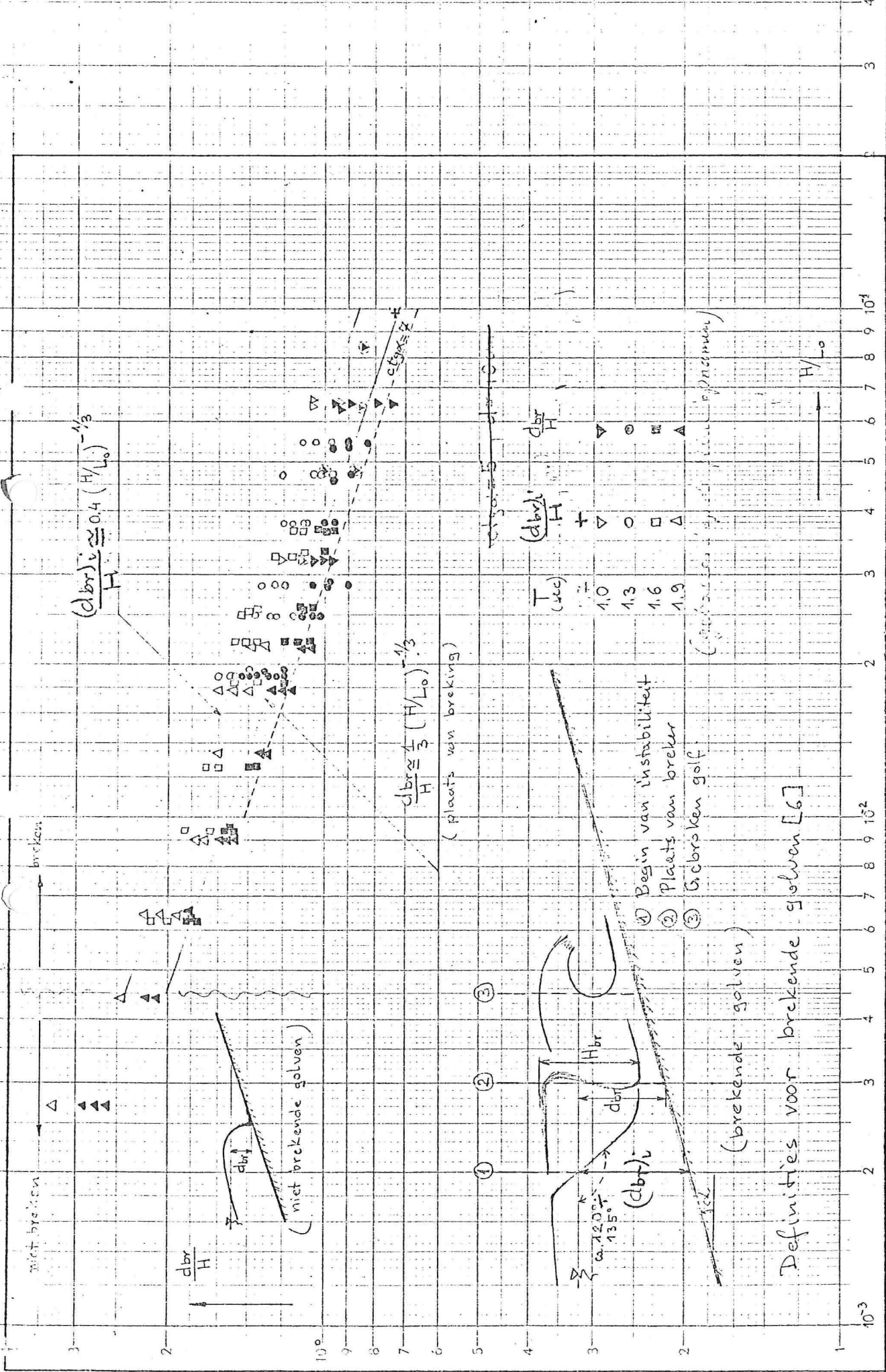
$$\frac{dbr}{H_0} = 5, \quad d = 40 \mu m$$

$$\frac{(dbr)}{H_0} + \frac{dbr}{H_0}$$

$\frac{dbr}{H_0}$

$\frac{H_0}{L_0}$

Breking karakteristiek in functie: $\frac{dbr}{H_0} = f\left(\frac{H_0}{L_0}\right)$ voor diameter $d = 40 \mu m$



niet breken

breken

$\frac{d_{br}}{H}$

(niet brekende golven)

① ② ③

H_{br}
 d_{br}
 $(d_{br})/H$

(brekende golven)

Definitie voor brekende golven [6]

- ① Begin van instabiliteit
- ② Plaats van breker
- ③ Gebroken golf

T (sec)

1.0
1.3
1.6
1.9

$\frac{d_{br}}{H}$

$\frac{H}{L_0}$

10⁰ 10¹ 10² 10³ 10⁴ 10⁵ 10⁶ 10⁷ 10⁸ 10⁹ 10¹⁰

Breaking karakteristiek in functie: $\frac{d_{br}}{H} = f\left(\frac{H}{L_0}\right)$ voor diepland 1:5 en $d = 40\text{cm}$

Talud stabiliteit

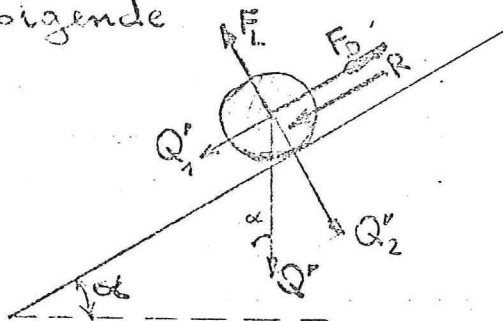
Gedrag van een korrel op een talud

Het gedrag van de afzonderlijke korrel onder de invloed van de hydrodynamische krachten is de bepalende faktor in het mechanisme van de profielvervorming onder golfaanval.

Bij korreldiameters die klein zijn ten opzichte van de plaatselijke orbitaalbeweging is de invloed van de snelheidskrachten bepalend. In dit geval, begin van beweging, die treedt ^{die} slechts op bij maximale orbitaalsnelheid, definieert het zeewaartse punt van de profielvervorming bij een landwaarts materiaal transport.

Bij korreldiameters die relatief groot zijn, ~~het begin van de~~ ^{kan het begin van de} beweging ~~kan~~ binnen de brekertransformatie plaats vinden en ^{is de} invloed van de golfhoogte zelf of de brekinghoogte bepalend voor het gedrag van de korrel. De golfcondities, bij welke het begin van een korrel-beweging ^{vindt} in de brekingzone plaats vindt, zijn ook bepalend (of gelijk) voor het criterium van het taludstabiliteit.

De krachten, die het gedrag van de korrel bepalen zijn de volgende



α = taludhelling

$$R = f \cdot (Q' \cos \alpha - F_D)$$

Q' = het eigen gewicht van de korrel onder water;

$$Q' = g \frac{\pi}{6} D^3 (\rho_s - \rho_w)$$

waarin g = versnelling van de zwaartekracht

D = korreldiameter

ρ_s = dichtheid korrel (materiaal)

ρ_w = dichtheid water

F_D = de kracht tengevolge van de stuwdruk van het water

$$F_D = C_D \rho_w D^2 \cdot u^2$$

waarin C_D =

u = snelheid van het water

In het algemeen wordt in deze formule, in plaats van de versnelling g, de zwaartekracht g gebruikt.

F_L = de liftkracht

$$F_L = C'_L \rho_w D^2 u^2$$

waarin C'_L = Liftcoëfficiënt, waarin opgenomen ook een vormfactor voor het korreloppervlak

De bewegingsvergelijking van de korrel in een richting evenwijdig aan het talud luidt (landwaartse stuwdruk):

$$Q^r \sin \alpha + Q^r \cdot f \cos \alpha - F_D - f \cdot F_L = 0$$

waarin f = ^{afgevoerd} wrijvingscoëfficiënt; $f = f_1 (D_{50}^{sf}, \tau)$

sf = vormfactor

τ = laagdikte, $\tau = m D_{50}$

m = aantal

Uitgewerkt levert dit de volgende vergelijking voor wrijvingscoëfficiënt

$$f = \frac{-Q^r \sin \alpha + F_D}{Q^r \cos \alpha - F_L} \quad f = \frac{F_D - Q^r \sin \alpha}{Q^r \cos \alpha - F_L}$$

Korrel-gericht onder water

$$Q^r = \frac{F_D + f F_L}{f \cos \alpha + \sin \alpha}$$

Uit deze laatste vergelijking blijkt dat

$$Q^r = F_L + \frac{1}{f} F_D \quad \text{bij } \alpha \rightarrow 0$$

en

$\tan \alpha = f$ als de limiet-helling

In het geval van de ~~zee~~ ^{land}waartse stuwdruk (~~zee~~ ^{land}waartse korrel-transport) de vergelijking voor een korrel-gericht luidt:

$$Q^r = \frac{f F_L + F_D}{f \cos \alpha + \sin \alpha} \quad \text{of } f = \frac{F_D + Q^r \sin \alpha}{Q^r \cos \alpha - F_L}$$

Het snijpunt van Q^r en Q^{r0} ligt bij $\sin \alpha = k \cos \alpha$.

Aan te nemen dat $F_D = k_1 F_L$ dan of $k_1 = \frac{F_D}{F_L} = \frac{C'_D}{C'_L}$

$$Q^r = \frac{F_L (f + k_1)}{f \cos \alpha + \sin \alpha}$$

de orbitaalbeweging (snelheid) bepalend is voor

In het geval dat het begin van beweging, dan is de watersnelheid in de ~~formule~~ liftkracht-formule gelijk is aan de maximale bodem-snelheid van de orbitaalbeweging van de golf, namelijk

$$U = U_m = \frac{\pi H}{T} \frac{1}{\sinh^{2\pi d/L}}$$

waarin $H =$ ^{plaatselijke} golfhoogte

$T =$ golfperiode

$d =$ waterdiepte

$L =$ plaatselijke golf lengte

$U_m = (U_m)_i =$ max. bodem snelheid - bij het begin van beweging

Dus

$$F_L = C_L' S_w \cdot D^2 U_m^2$$

en

$$Q = \frac{\gamma_s}{\gamma_w} \frac{(f+k_1) F_L}{(S_w - 1)(f \cos d + \sin d)}$$

$$Q = \gamma_s \frac{\pi}{6} D^3$$

en

$$\frac{U_m^2}{(S_w - 1) g D} = \frac{\pi}{6 C_L'} \frac{(f \cos d + \sin d)}{(f + k_1)} = \frac{(f \cos d + \sin d)}{C_L' (f + k_1)}$$

waarin $D \approx D_{50\%}$ en $f \approx \tan \phi$ - natuurlijk taludhelling onder water
~~Voor een fijner materiaal zoals zand,~~

Het onderdeel $(f+k_1)$ kan als een wrijvingsfunctie (F) ^{die} ~~kan~~ in het bodem-laag beschouwd worden.

~~en~~ ~~$(f+k_1) = F$~~ ~~$(f+k_1) = F$~~

waarin $F =$ ~~wrijvingsfunctie~~ ^{functie} in het bodem-laag

De wrijvingsfunctie kan volgens Horikawa en Watanabe [], als functie van ~~de Reynolds getal~~ ^{de Reynolds getal} ~~in~~ ⁱⁿ uitgedrukt worden,

$$F = a_1 \left(\frac{U_{max} D}{\nu} \right)^p \left(\frac{U_{max} \delta}{\nu} \right)^q = a_1 \left(\frac{U_{in} D}{\nu} \right)^p \left[U_{in} \left(\frac{2}{\omega} \right)^{1/2} \right]^q$$

waarin $a_1 =$ koëfficiënt

p en $q =$ exponenten

$\delta =$ bodem-laag parameter, $\delta = \sqrt{\frac{2\nu}{\omega}}$

$\nu =$ viscositeit

$\omega =$ golf frequentie

$\omega = \frac{2\pi}{T}$ in de formule: $a = \frac{1}{2} \frac{H}{2\pi d}$

Wanneer de bodem ruw en de bodem-laag turbulent is, dan is het effect van de viscositeit, ν , zeer klein en, om ν te verwijderen, moet dus

$$p \approx -q/2$$

en

$$F = F_{r(\text{ruw})} = a_1 \left(\frac{2 U_m}{\omega D} \right)^{q/2} = a_1 \left(\frac{2 a_0}{D} \right)^{q/2} = a_1 \left(\frac{d_0}{D} \right)^{q/2}$$

waarin $d_0 = 2 a_0$, totaal orbital diameter bij de bodem.

Aan de andere kant, wanneer de bodem-laag laminaar is, wordt het effect van de viscositeit belangrijker dan de bodem ruwheid, en moet

$$p \ll q \quad (\text{of } \bar{p} \rightarrow 0)$$

en

$$F = F_{l(\text{laminaar})} = a_1 \left(\frac{U_m \delta}{\nu} \right)^q$$

Dus, het algemeen criterium van het begin van beweging in een oscillerende stroom en ^{op een hellend bodem} ~~op een bodem~~ wordt

$$\Theta = \frac{U_m^2}{\left(\frac{\beta_s}{\beta_w} - 1 \right) g D} = K (f \cos \alpha + s \sin \alpha) \left(\frac{U_m D}{\nu} \right)^{-p} \left(\frac{U_m \delta}{\nu} \right)^{-q}$$

waarin $K = \frac{1}{a_1 C_L''}$,

of

$$\Theta = (f \cos \alpha + s \sin \alpha) K_L \left(\frac{U_m \delta}{\nu} \right)^{-q} \quad - \text{laminaar kondities}$$

en

$$\Theta = (f \cos \alpha + s \sin \alpha) K_R \left(\frac{U_m}{\omega D} \right)^{-q/2} \quad - \text{ruw-turbulent kondities}$$

Om precies te zijn, coëfficiënt K kan ook de functie van de bodem stroom kondities en talidhelling zijn. Bij verwerking van de experimentale resultaten, deze invloed wordt door de functie F omvat en dus, de coëfficiënten K_L of K_R als numerieke coëfficiënten kunnen beschouwd worden, tenminste in een bepaalde gebied van de Reynolds getal. Deze criterium met $\alpha = 0$ is principieel gelijk aan die van Horikawa en Watanabe [] voor een horizontale bodem.

De bodem-laag kondities kunnen gedefinieerd worden als volgt

Gladde bodem $\delta/D > 6.54$

Ruwe bodem $\delta/D < 6.54$

Laminaar $U_m \delta/D < 160$

Laminaar $U_m D/\nu < 104$

Turbulent $U_m \delta/D > 160$

Turbulent $U_m D/\nu > 104$

waarin $\delta = \sqrt{\frac{2\nu}{\omega}}$ en $D \cong D_{50}$.

Als een praktisch aanwijzing, bij $D_{50} > 1 \text{ mm}$ alleen de ruw-turbulent kondities kunnen verwacht worden.

De verschillende experimentele data verzameld door Horikawa en Watanobe zijn uitgezet als functie van de eerder genoemde (afgeleid) parameters in figuur 13. Uit deze resultaten blijkt duidelijk dat de exponenten p en q in de functie F^* als volgt benaderd kunnen worden:

$q \approx -1$ en $p = 0$ - laminaar of glad-turbulent condities

$p = -\frac{1}{2}$ en $q = 1$ - ruw-turbulent condities

Het verloop van de experimentele lijnen ^{wordt} voor de grotere Reynolds waarden ~~als D > 200~~ ^{zo} flauwer, b.v. voor $\frac{UmD}{\nu} > 100$ en ruw-turbulent condities, de helling van de exp. lijn is ca. $(-)\frac{1}{3}$ in plaats van $(-)\frac{1}{2}$.

Voor de lage Reynolds waarden en ruw-turbulent condities, de experimentele resultaten kunnen door de volgende vergelijkingen benaderd worden

$$\textcircled{1}^{-1} = \frac{2}{4,75} \left(\frac{Um}{\omega D} \right)^{-1/2} \quad - \text{begin van beweging (enkele korrels)}$$

$$\textcircled{2}^{-1} = \frac{1,75}{2} \left(\frac{Um}{\omega D} \right)^{-1/2} \quad - \text{begin van totale beweging}$$

waarin $K_r^{-1} = \frac{2}{4,75}$ en $\frac{1,75}{2}$ respectievelijk, en $q_{1/2} = -\frac{1}{2}$

De fase "totale beweging" betekent dat de hele bovenste bodem-laag van het materiaal zich begint te verplaatsen.

In figuur 14 zijn ook de resultaten van Rance en Warren (pulsating water tunnel) gepresenteerd. Uit de beide gegevens is een algemeen grafiek geconstrueerd als criterium voor begin van beweging voor een horizontale bodem en ruw-turbulent condities, die in figuur 15 is weergegeven.

Wanneer het begin van beweging wordt uitgedrukt als functie van de diepte, begin van beweging (d_i) dan ^{krijgt} het criterium een vorm

$$\frac{H_0}{L_0} = C \left\{ \frac{H_0}{D_{50}} \right\}^{-1/2}$$

$$\text{of} \quad \frac{H_0}{D_{50}} = C^2 \left\{ \frac{H_0}{L_0} \right\}^{-2}$$

$$\text{waarin} \quad \left\{ \right\} = \frac{\pi H_0}{T U_m}$$

~~X~~ en de lage Reynolds waarden $\frac{UmD}{\nu} < 100; 200$ en $\frac{UmD}{\nu} < 100; 200$

en

$$C = 0,45 \left(\frac{\rho_s}{\rho_w} - 1 \right) \cdot K (f \cos \alpha + \sin \alpha)$$

Voor de ruw-turbulente condities, $K = K_r$, en

$$\left. \begin{array}{l} K_r = \frac{1}{2} \quad - \text{begin van beweging} \\ K_r = \frac{1}{1,75} \quad - \text{begin v/h totale beweging} \end{array} \right\} \frac{U_m}{\omega D} < 200$$

In een oscillerende stroom (orbitaal beweging) ~~.....~~

$$\zeta = \frac{H_0}{H} \sinh \frac{2\pi d}{L}$$

Voor een ondiep-water bij $d/L < 0,30$ ($d/L_0 < 0,29$) geldt een ^{logaritmische} lineaire verhouding tussen de ζ en d/L , die kan ^{benaderd} ~~afgeleid~~ worden door de vergelijking

$$\frac{d}{L} = 0,1325 \zeta^{0,7}$$

of $\zeta \cong 1,8 \left(\frac{d}{L} \right)^{1,43}$

De relaties tussen parameter ζ en d/L en d/L_0 zijn in figuur 16 gegeven.

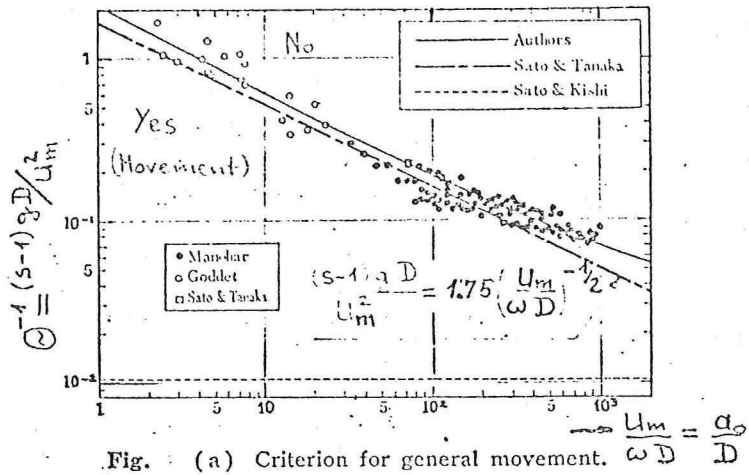


Fig. (a) Criterion for general movement. $\frac{U_m}{D} = \frac{a_0}{D}$
— rough turbulent —

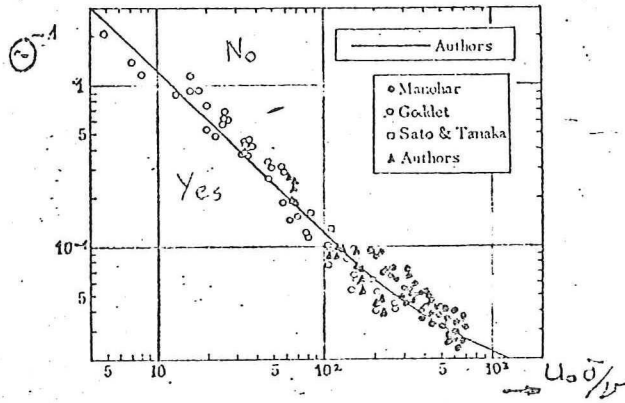


Fig. (b) Criterion for general movement.
— laminar and smooth turbulent —

$\frac{U_m}{D} = 4.0127 \left(\frac{a_0}{D} \right)^{1/2}$
 $\frac{U_m}{D} < 500$

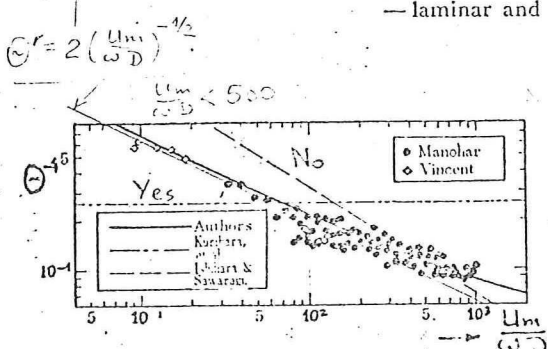


Fig. (a) Criterion for initial movement.
— rough turbulent —

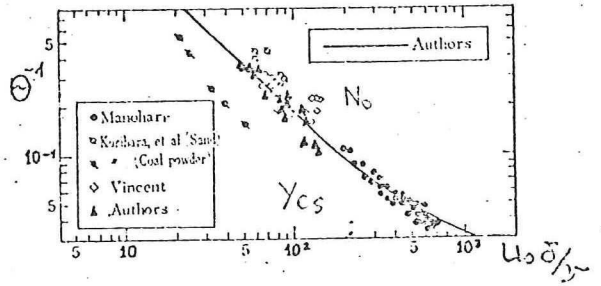


Fig. (b) Criterion for initial movement.
— laminar and smooth turbulent —

Smooth boundary $\delta/D > 6.54$

Laminar $U_m \delta/\nu < 160$

Turbulent $U_m \delta/\nu > 160$

Rough boundary $\delta/D < 6.54$

Laminar $U_m D/\nu < 104$

Turbulent $U_m D/\nu > 104$

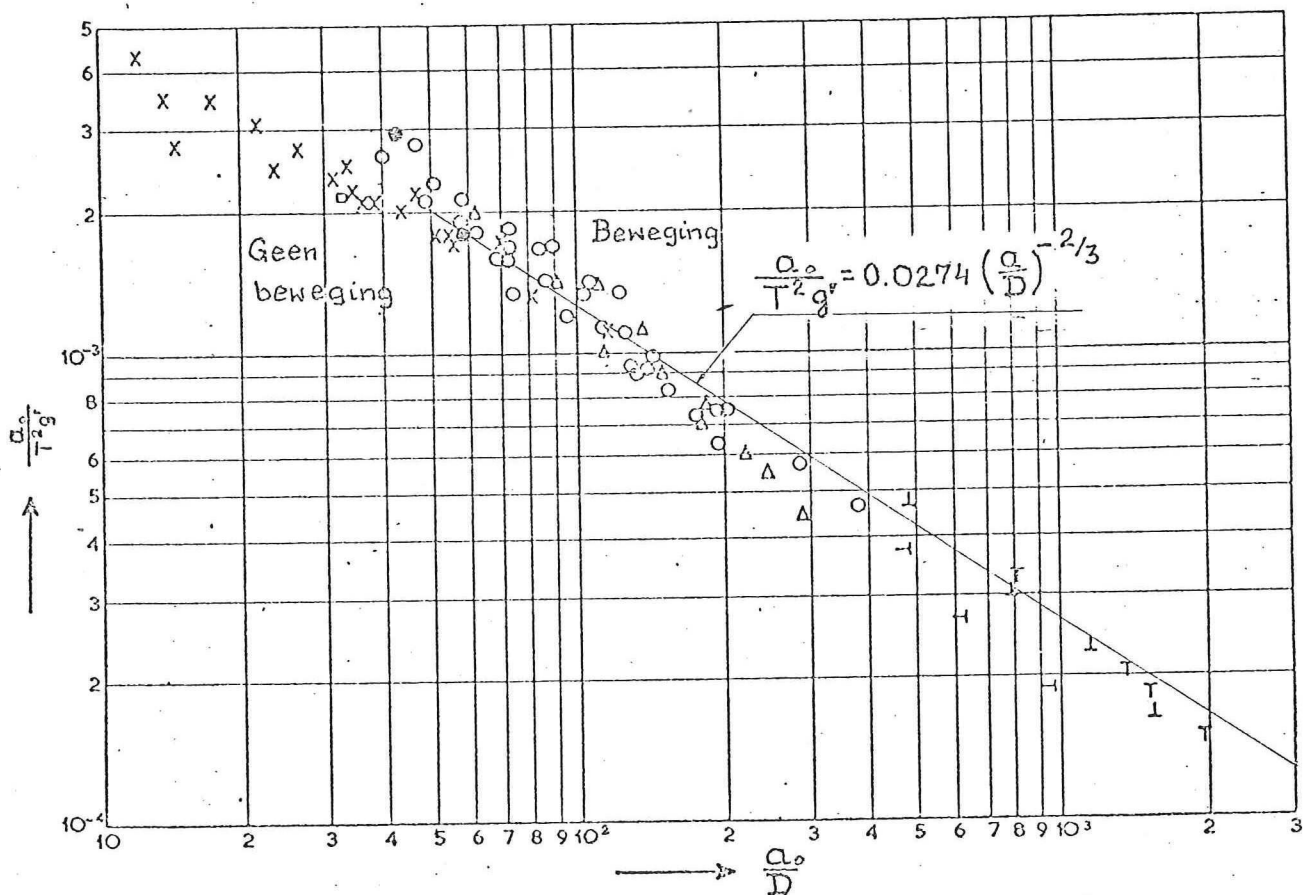
where: D = grain diameter ; $s = \frac{s_s}{s}$

$\delta = \sqrt{\frac{2\nu^2}{\omega}}$ - boundary parameter

$\omega = \frac{2\pi}{T}$ - wave frequency

a_0 = amplitude of bottom oscillation

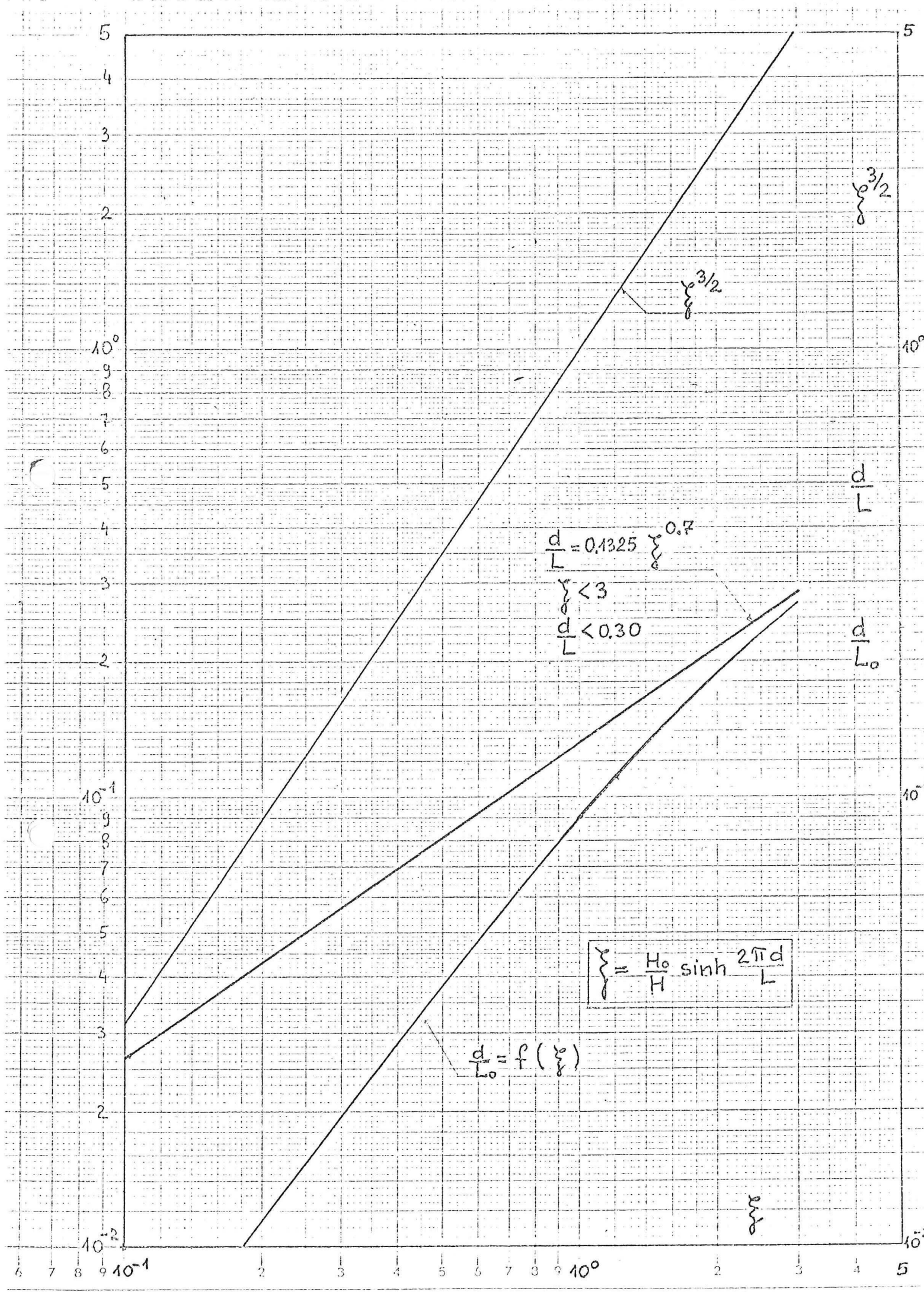
$U_m = \omega \cdot a_0 = \frac{\pi H}{T} \frac{1}{\sinh \frac{2\pi d}{L}}$ (= max. bottom velocity)



$\left. \begin{array}{l} \text{x} \\ \text{o} \\ \text{Δ} \\ \text{enz} \end{array} \right\}$ volgens Rance en Warren $T = 5-15 \text{ s}$ []
 $D = 0.4 - 4.8 \text{ cm}$
 \circ waarnemingen Waterloopkundig Laboratorium (M1063)

a_0 = amplitude van de oscillerende beweging op de bodem; $a_0 = \frac{1}{2} \frac{H}{\sinh \frac{2\pi d}{L}}$
 T = golfperiode
 $D = D_{50}$ van het korrelmateriaal
 $g' = g \frac{(\rho_m - \rho_w)}{\rho_w}$
 ρ_m = dichtheid van het korrelmateriaal
 ρ_w = dichtheid van het water

FIG. BEGIN VAN BEWEGING VAN GROFKORRELIG MATERIAAL IN EEN OSCILLERENDE STROOM



In het geval dat het begin van beweging binnen de breukzone plaats vindt,

De water-snelheid die op de korrel druk uitoefent kan als volgt benaderd worden

$$U = \sqrt{\Psi_1 g H} = \sqrt{\Psi_2 g H_b} = \sqrt{\Psi_3 g d_b}$$

waarin Ψ = evenredigheidsfactoren (of functies)

H = golfhoogte

H_b = breukingshoogte

d_b = breukingsdiepte

sf. = vorm-faktor

$$H_b, d_b = f_2 \left(\frac{H_0}{L_0}, D, sf. \right)$$

Dus

$$F_L = C_L' \rho_w D^2 U^2 = \Psi_1 C_L' g \rho_w D^2 H = C_L g \rho_w D^2 H$$

waarin

$$C_L = \Psi_1 C_L'$$

Het gewicht van de korrel onder water kan worden omschreven
worden in functie van het "droog"-gewicht en relatief dichtheid
als volgt

$$Q^r = Q \frac{\gamma_w}{\gamma_s} \left(\frac{\rho_s}{\rho_w} - 1 \right)$$

Uitgewerkt levert dit de volgende vergelijkingen voor: de kritieke
de kritieke "droog" steen-gewicht (de limiet van stabiliteit)

$$Q^r = \frac{\gamma_s (f+k_1) C_L g \rho_w D^2 H}{\gamma_w \left(\frac{\rho_s}{\rho_w} - 1 \right) (f \cos \alpha + \sin \alpha)}$$

de kritieke relatief golfhoogte

en, de gebruik making van de equivalente korrel-diameter ($D_{eq} = D$)

$$Q = \gamma_s \frac{\pi}{6} D_{eq}^3$$

de kritieke relatief-golfhoogte is gelijk aan

$$\frac{H}{D_{eq}} = \frac{\pi}{6} \left(\frac{\rho_s}{\rho_w} - 1 \right) \frac{(f \cos \alpha + \sin \alpha)}{(f+k_1) C_L}$$

Putting both sides in power 3 one obtains

Deze relatie in een macht 3 levert nieuwe vorm v/h criterium
voor de steen-gewicht, namelijk

$$Q = \frac{36 \pi^2 \gamma_s C_L^3 (f+k_1)^3 H^3}{(f \cos \alpha + \sin \alpha)^3 \left(\frac{\rho_s}{\rho_w} - 1 \right)^3}$$

$$\text{of } Q = K_a \frac{\gamma_s (f+k)^3 H^3}{(f \cos \alpha + \sin \alpha)^3 \left(\frac{\rho_s}{\rho_w} - 1 \right)^3}$$

waarin $K = 36 \pi^2 C_L^3$

Deze laatste formule met $k_1=0$ is gelijk aan die van Gribarren []
Bovendien, de parameter f van de teller, in de nieuwe formule
van Gribarren, zit binnen de, experimenteel vastgestelde,
coëfficiënt K_Q .

Toepasbaarheid 1/2n oscillator-stroom criterium

De toepasbaarheid van het eerder afgeleide criterium diepte begin van beweging wordt getoetst op basis van de beschikbare evenwichtsprofielen en enkele vermelde waarnemingen (tabel... voor teluid 1 op 5 en $D_{50} = 3,4, 6,1$ en 13 mm (M1216) en op basis van de evenwichtsprofielen voor teluid 1 op 30 en $D_{50} = 3,44$ mm uit het rapport van Rector [].

In dit geval, de parameters H_0/L_0 en H_0/D_{50} zijn bekend en de diepte begin van beweging ($d = d_i$) wordt gezocht.

Deze diepte kan uit de parameter ξ berekend worden, namelijk

$$\xi^{3/2} = \frac{1}{C} \frac{H_0}{L_0} \sqrt{\frac{H_0}{D_{50}}}$$

en $d/L_0 = f_1(\xi^{3/2})$ uit figuur ...

Koefficient C wordt uitgerekend met $f = \tan \phi \approx 0.6$, $S_{su} = 2.65$ en $K_r = \frac{1}{2}$ (begin beweging), en $K_r = \frac{1}{1.75}$ (begin totaal beweging) als volgt:

a) $\text{ctg } d = 5$, $\cos d = 0.98$, $\sin d = 0.196$, $f \cos d + s \sin d = 0.784$

$C = 0.292$, $1/C = 3.42$ (begin beweging d_i')

$C = 0.333$, $1/C = 3.0$ (begin totaal beweging d_i'')

b) $\text{ctg } d = 30$, $f \cos d + s \sin d = 0.63$

$C = 0.244$, $1/C = 4.1 \rightarrow (d_i')$

$C = 0.268$, $1/C = 3.73 \rightarrow (d_i'')$

De ^{positie van de} uitgerekende diepte begin van ~~kle~~ totale beweging (d_i'') voor teluid 1:30 is in figuur 1.7 door de snijpunten met het uitgangshelling gegeven. Er is te zien, dat de berekende diepte (d_i'') geeft een redelijke ^{geeft} indicatie over de diepte waar het profilvervorming begint.

De uitgerekende diepte begin van het totale beweging voor teluid 1 op 5 is in figuur 2 en in tabel 1. vermeld.

Uit vergelijking die in tabel 1. is gegeven blijkt, dat bij een lange golfperiode ($T = 2.44$ sec) de gemeten en berekend waarden ~~zijn~~ ^{zijn} praktisch gelijk, terwijl bij de kortere perioden de afwijking tussen de berekende en gemeten waarden groter wordt en onacceptabel.

Uit ^{de} vergelijking in figuur 2. blijkt dat de diepte d_i'' is praktisch gelijk aan de experimenteel gevonden diepte begin van het profiel ^{vervorming voor} ~~alle drie de profielen~~ (alle drie materialen). Het mag ^{vermoeden} ~~gekenmerkend~~ worden dat deze criterium een redelijk goede benadering, wat betreft de diepte begin van beweging, geeft.

Gebaseerd op dit criterium ^{zijn} in figuur 1B, ~~diepte d_i' en d_i''~~ de condities begin van beweging berekend voor $d_i' = 1.75 K_0$ en $d_i'' = 1.75 K_0$ (bij de meeste proeven van M1216, diepte begin van beweging is gelijk aan $d_i = 1.75 K_0$). Bovendien, aan te nemen ^{in de eerste instantie} dat de ~~oscillerend~~ golf-theorie ^{toet} tot de boeker geldig is, zijn ook de begin-beweging-~~condities~~ berekend voor $d_i = K_0$ en $d_i = d_{br}$ die als een ^{limiet} van ^{kracht} van ^{kracht} stabiliteit beschaafd kunnen worden (kracht stabiliteit in de boekerzone).

^{Theoretische} ~~theoretische~~ diepte d_{br} ^{is} ^{de diepte waarbij het} ~~begin van~~ golfinstabiliteit ~~afzet~~ plaats vindt dus is groter dan de diepte bij welke golf werkelijk breekt. Deze theoretische breking diepte is gelijk aan

$$\frac{d_{br}}{K_0} = 0,39 \left(\frac{K_0}{L_0} \right)^{-1/3} \quad \text{of} \quad \frac{d_{br}}{L_0} = 0,39 \left(\frac{K_0}{L_0} \right)^{2/3}$$
$$\text{en} \quad \frac{H_{br}}{d_{br}} = 0,78$$

waarin H_{br} = breking golfhoogte
~~van de kracht van stabiliteit~~

Aan te nemen dat de maximaal uitschuring ^{golf} ^{vermogen} ligt ^{ruim de} ^(ca. Fig. 121) punt van begin van golfinstabiliteit (d_{br} , theoretisch) en $d_i = K_0$, de ^{met form...} ^{benoemd} limiet $H_{0,5}$ waarde ^{kan} ^{worden} ^{is} ^{gelijk} ^{aan} 8,5. Deze waarde is het is duidelijk dat deze waarde te groot is voor de grond aangenomen dat de ^{protype} ^{waarden} ^{voor} ^{stromen} ^{zijn} ^{aan} ^{merkelijk} ^{groter} ^{vrijingscoëfficiënt} (f), ^{kleiner} ^{zijn} (ca. $\frac{H_0}{D_{50}} = 5$ voor prototype, en 3,3 ÷ 4 voor model waarden). In werkelijkheid, de waarde $(H_{0,5})$ limiet voor de grond moet lager zijn dan ca. 3 voor de model waarden. Dit bevestigt ~~dat~~ ^{een bekende feit} dat de oscillerende ^(deze theorie geeft te lage bodem-ingeniden in dit gebied) ^{golf} - theorie niet getuig is dierbij en binnen de ^{brekerszone} (Misschien, de "solitary"-golf-theorie zou hier betere resultaten (betere benadering) opleveren ^{gezien de resultaten} De grens van de toepasbaarheid-grens van de oscillerende - stroom - criterium is nog niet mogelijk vast te stellen. Gezien de resultaten in tabel 1, deze grens kan voorlopig als $\frac{d_i}{K_0} \geq 1,20$ en $\frac{H_0}{D_{50}} > 10$ benaderd worden.

$$(h_0/L_0 = 0,0674, \frac{h_0}{D_{50}} = 19,1)$$

Van de andere kant de proef N=4 in tabel 1. levert een diepte
 bepalen van beweging die gelijk aan h_0 is (dus in de brekerzone) terwijl
 de kritische geeft $d_i = 1,32 h_0$ ($\frac{d_i}{h_B} = 1,32$). Dat zou betekenen dat
 de lijn $d_i = h_0$ moet naar rechts verschuiven worden (nuw punt van proef
 N=4) wat tegenstrijdig is met de eerder discussie ten opzichte van de
 stortsteen data, of dat de maximale uitschrijving golfvermogen h_{act} is

pas na de breking plaats. Het is mogelijk dat de spanwijdte-snelheid-komponent maximaal is in het
 Misschien wordt deze ~~betreft~~ duidelijker wanneer al de meetresultaten
 uit M1216 onderzoek worden vrij gegeven. Op dit moment,
 is de beschikbare gegevens, deze laatste kan niet verder
 ingelost worden.

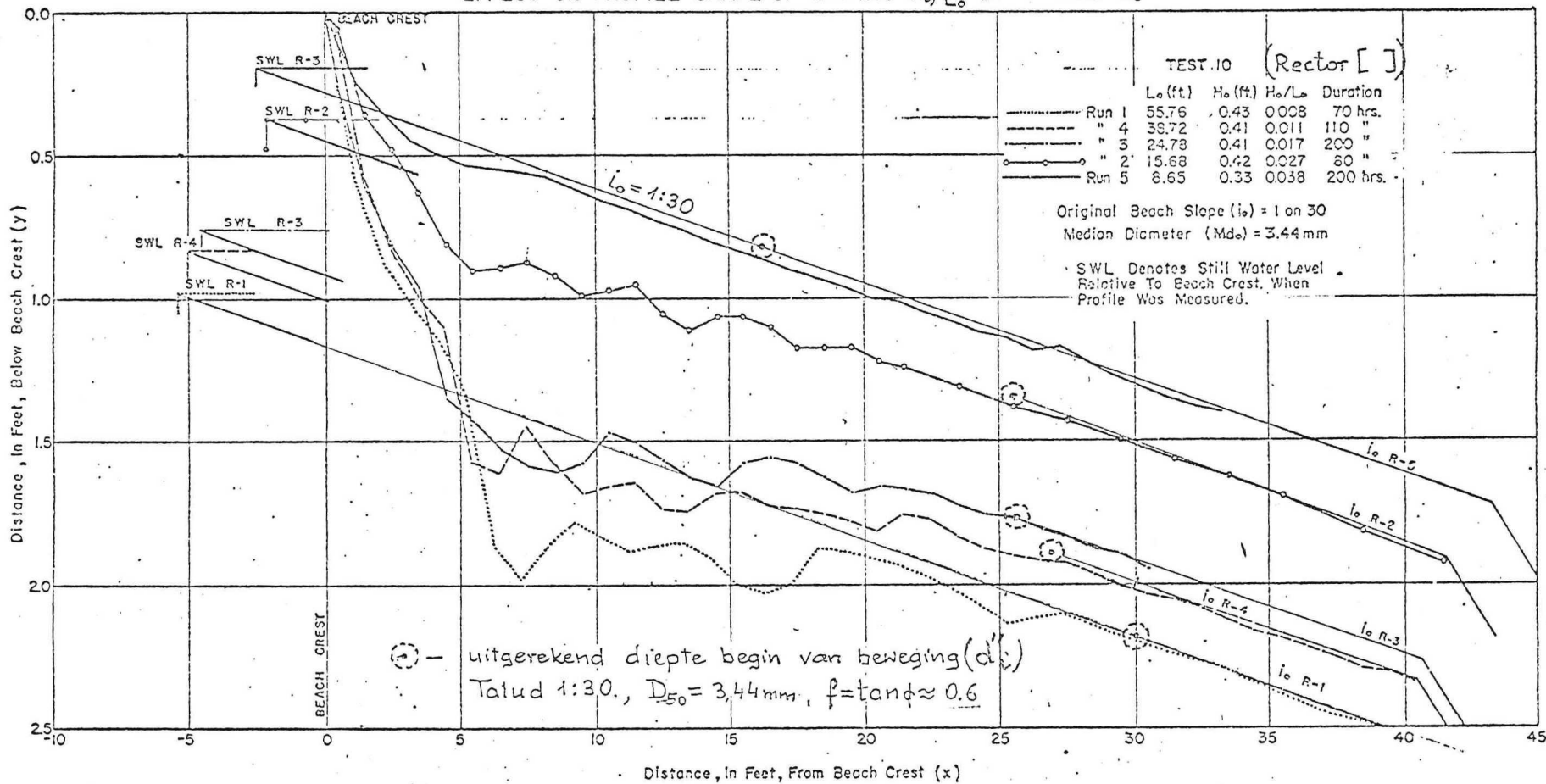
Het lijkt meest waarschijnlijk dat vanaf een bepaalde relatief diepte $\frac{d}{h_0}$
 of $(\frac{d}{h_0})$ de ^(golven) stellingen nemen zo snel toe dat er een klein diepte verschil
 een aanzienlijk verschil maakt met betrekking tot de ^{kompgrootte bij het} begin van beweging.
 De bodem-snelheden zijn afhankelijk van de breker type en verandering
 in breking proces met toename in de golfhoogte. Zo lang deze
 proces niet voldoende behandeld is, ook met de bodem-ruwheid op de
 breking proces betreft (back-fit proces) zou erg moeilijke theoretische beschrijving
 van het begin van beweging te geven. Voor ^{de} praktische berekeningen kan men
 gewoon aan te nemen dat b.v. bij $d_i/h_0 < 1,2$ en $h_0/D_{50} < 10$ ^{een actieve}
 zone van de breker invloed plaats heeft ^{waar} het begin van ^{de} ^{voort}
 beweging volgens de stabiliteitskriterium kan benaderd worden.

H kritierium is min of meer vastgesteld voor de stortsteen en
 kubische blokken (zie navolgende paragraaf) terwijl voor de grind moet
 nog steeds ontworpen worden. Voor dit doel zijn de experimentele (model)
 proeven noodzakelijk.

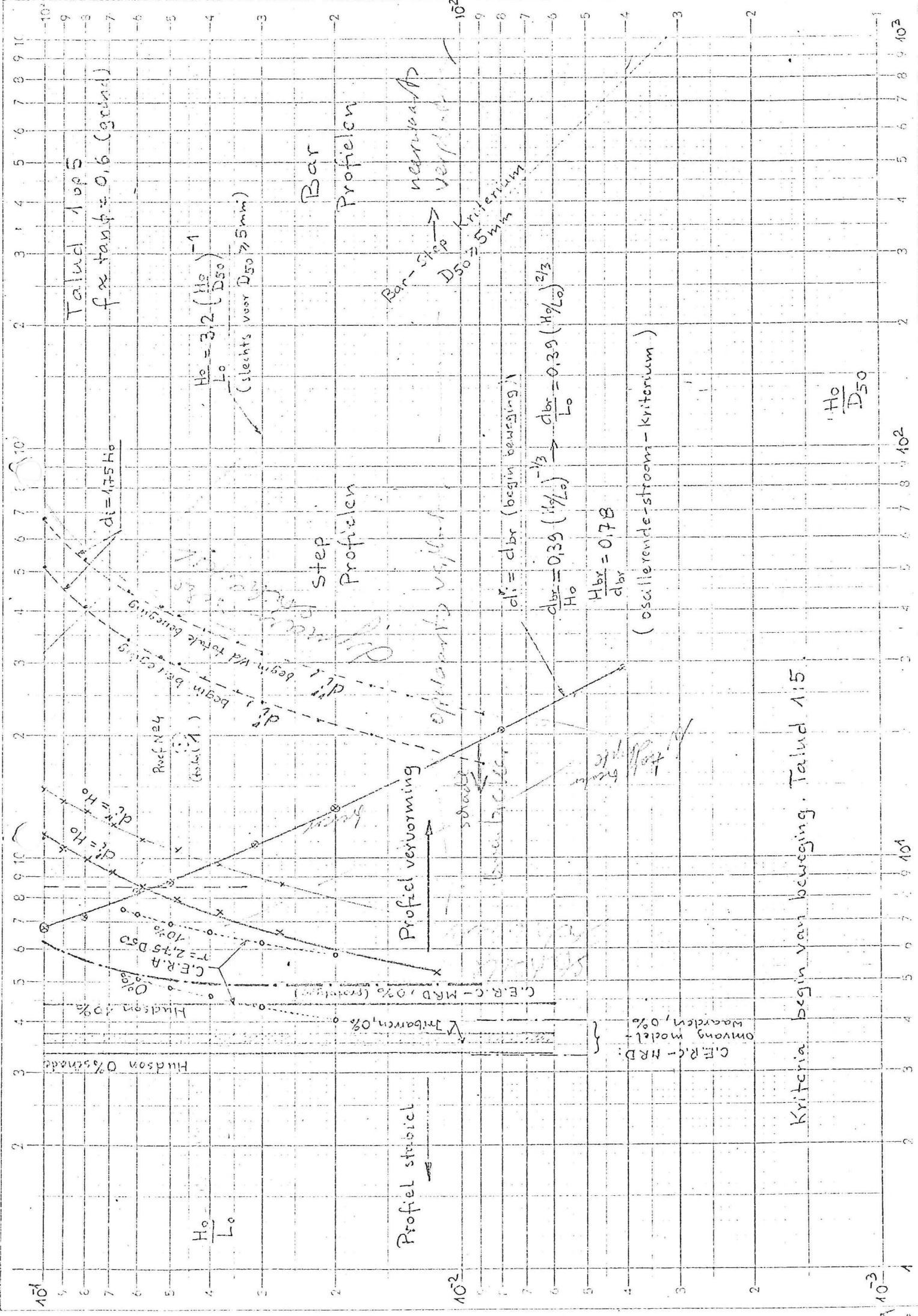
D_{50} mm	h_0/D_{50}	T sec	h_0 cm	h_B cm	h_B/h_0	h_0/L_0 gemidd.	d_i/h_0 bodem	d_i/h_B
6,1	38,5	2	23,5	41	1,75	0,0656	0,068	1,035
13,0	19,1	1,83	24,8	25	1,01	0,048	0,063	1,32
(13,0)	(20,5)	(2,44)	(26,7)	38	1,42	0,041	0,042	1,03
6,1	62,1	2	38,0	60	1,58	0,096	0,1175	1,22
13,0	29,2	2,44	38,0	56	1,475	0,060	0,066	1,10

} niet
in
tegen

EFFECT ON PROFILE SHAPE OF VARYING H_0/L_0 BY VARYING L_0 .



179.4



Talud 1 op 5
 $f \times \tan \phi = 0,6$ (grond)

$$\frac{H_0}{L_0} = 3,2 \left(\frac{H_0}{D_{50}} \right)^{-1}$$

(slechts voor $D_{50} \geq 5 \text{ mm}$)

Bar-Step naar rechts
 verformd
 $D_{50} \geq 5 \text{ mm}$
 Kriterium

$$d_{br} = 0,39 \left(\frac{H_0}{L_0} \right)^{-1/3} \rightarrow \frac{d_{br}}{L_0} = 0,39 \left(\frac{H_0}{L_0} \right)^{2/3}$$

$$\frac{H_{br}}{d_{br}} = 0,78$$

(oscillerende stroom - Kriterium)

Kriteria begin van beweging, Talud 1:5

$$\frac{H_0}{D_{50}}$$

10¹ 10² 10³ 10⁴ 10⁵ 10⁶ 10⁷ 10⁸ 10⁹ 10¹⁰

5.0 Criteria bekledings stabiliteit (brekende golven)

Voor de berekening van de stabiliteit van de talud-bekleding en de grind-, of stortsteendammen is het noodzakelijk de benodigde steengrootte (gewicht of diameter), voor geen of een bepaald percentage schade, te bepalen. Voor dit doel kan men gebruik maken van de verschillende bekende formules [] of de experimentele resultaten die in een grafische vorm zijn gepresenteerd [], []. In deze nota zijn de formules van Gribarran [], Hedar [], Hudson [] en de resultaten van C.E.R.A [], en C.E.R.C-M.R.D [] bekeken. Ter vergelijking, de resultaten van het M 856 onderzoek [], verricht bij onregelmatige golfaanval, zijn ook weergegeven.

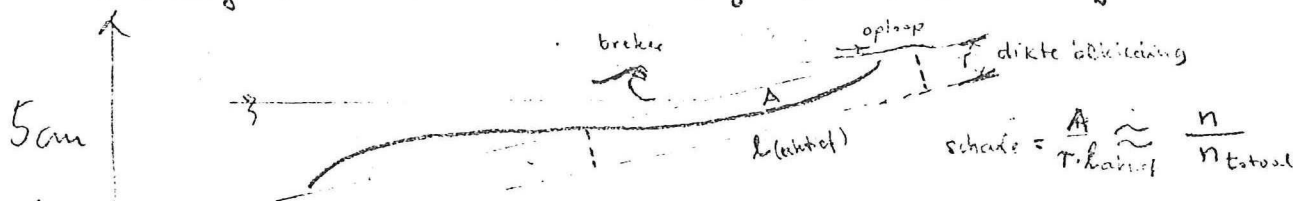
Er is echter nog een groot aantal andere soortgelijke formules die niet essentieel van die bovengenoemde formules verschillen.

In het algemeen de experimentele gegevens zijn beperkt tot de stortsteen, kubische blokken en tetrapoden als ^{bekledings} materiaal en taluds ^{gelijk of} steeper dan 1:5.

De ^{resultaten} ~~gegevens~~ van C.E.R.C-M.R.D [] een extra aandacht verdienen omdat ze niet alleen de klein-schaal modelproeven omvatten maar ook de groot-schaalproeven die praktisch als prototype resultaten kunnen beschouwd worden.

Men kan stellen dat al deze gegevens gelden voor het gebied waar het begin van beweging van het materiaal veroorzaakt wordt primair door de breker waar de uitschuring vermogens maximaal zijn. De diepte begin van beweging neemt plaats binnen het gebied van de breker transformatie. Bij 0% schade het uitgevoertelud wordt niet vervormd (niet beschadigd)

en dat is de definitie van de korrel-stabiliteit in dit gebied. De ^{definitie van de} schade ^{percentage} (bij verschillende onderzoeken, en dus ^{de vermaakte schade} niet precies vergelijkbaar. In het algemeen de schade percentage mag beschouwd worden als ~~de~~ aantal verplaatste stenen t.o.v. totaal aantal stenen in de bekledingslaag ^(in %) ~~in~~ de actieve zone van de golfwerking (tussen de zeewaartse grens ~~van~~ de brekingzone en de golfoploop).



(Bij deze definitie, % schade afhankelijk is van de dikte-bekleding)

a) Formule van Tribarren [I]

De oorspronkelijke formule van Tribarren uit 1938, theoretisch afgeleid, luidt:

$$Q = \frac{N f \gamma_s H^3}{(f \cos \alpha - \sin \alpha)^3 (S-1)^3}$$

waarin $S = \frac{\rho_s}{\rho_w}$, f - vrijwingscoëfficiënt, α - hoek $\frac{1}{2}$ taludhelling, γ_s - soortelijk gewicht $\frac{1}{m^3}$ materiaal, H - golfhoogte bij de teen $\frac{1}{m}$ talud en N - evenredig-coëfficiënt (uit experiment)

De algemeen vrijwingscoëfficiënt bereikt voor een grafmateriaal de waarde $f \sim 1$.

Uit de experimentele resultaten is gebleken dat de waarde f in deze formule, voor stortsteen, kubische blokken en tetrapoden, moet aanzienlijk groter zijn. Uit de experimenten van Tribarren blijkt dat de vrijwingscoëfficiënt is niet alleen de functie van de materiaal-type en grootte maar ook van een aantal materiaal-eenheden die in de actieve zone ^{de directe golfwerking} ^(in nabijheid van de stilwaterlijn) waar de ~~vervorming~~ ^{pijlers} ~~verschillen~~ ^{verschillen} de vrijwingscoëfficiënt neemt toe met de afname van een aantal eenheden (figuur ...).

Uit de vergelijking ~~van~~ ^{van} ~~de~~ ^{van} ~~meeste~~ ^{meeste} meetresultaten ~~de~~ ^{de} theoretische formule heeft Tribarren ~~is~~ ^{is} ~~gevoerd~~ ^{gevoerd} dat de coëfficiënt f correspondeert met een aantal equivalente steen-eenheden gelijk aan zes. Dat geldt niet alleen voor de natuur-steen maar ook voor de kubische beton-blokken en tetrapoden.

De nieuwe formule van Tribarren ~~is~~ ^{is} ~~gescheid~~ ^{is} in twee aparte vormen, luidt:

- voor de steenstabiliteit bij een zeewaarts golfstuwdruk-
~~(aanvullende transport) de stabiliteit criterium voor de stele~~
~~talud (voor $\alpha \leq 5$)~~ (equilibrium towards the bottom)

$$Q = \frac{N \cdot \gamma_s \cdot H^3}{(f \cos \alpha - \sin \alpha)^3 (S-1)^3} \quad \left(\text{maat-gewaand voor stele talud, } \alpha \leq ca. 4 \right)$$

waarin:

- | | | |
|------------------|-------------------|-----------------------------|
| $f = f_e = 2,33$ | $N = N_e = 0,430$ | - natuur-steen (stortsteen) |
| $f_o = 2,83$ | $N_b = 0,430$ | - kubisch-beton-blokken |
| $f_t = 3,47$ | $N_t = 0,656$ | - tetrapoden |

(Coëfficiënt N omvat ook de coëfficiënt f van de teller)

- voor de steen-stabiliteit bij een landwaarts golfstuwdruk (bij de golfloopfase) - (equilibrium towards the top)

$$Q^r = \frac{N^r \gamma_s H^3}{(f \cos \alpha + \sin \alpha)^3 (S-1)^3} \quad (\text{meest-gewend voor flauwe taluds})$$

$\cot \alpha \geq \text{ca. } 4$

waarin

$f = f_e = 2,38$	$N_e^r = N_e^r = 0,849$	- stortsteen
$f_b = 2,83$	$N_b^r = 0,918$	- kubisch-beton-blokken
$f_t = 3,47$	$N_t^r = 1,743$	- tetrapoden

Het snijpunt van de ^{stabiliteit} functies, door deze formules omschreven, ligt bij

$\cot \alpha_e = 3,64$	- stortsteen
$\cot \alpha_b = 2,80$	- blokken
$\cot \alpha_t = 1,77$	- tetrapoden

Wanneer de ~~steen~~ landwaartse steen-verplaatsing toegestaan is dan de taludstabiliteit kan, voor de steile en ~~steil~~ flauwe taluds, volgens de ^{zee} ~~land~~waartse stabiliteit criterium bereken worden.

Voor de totaal-talud-stabiliteit, de grootste steen-gewicht-waarde van de beide formules ~~is~~ de meest-gewend is.

De verhouding tussen de 0 en n% procentige schade, ^{voor parameters N en H} ~~in deze formule is~~ ^{in deze formule is}, is gelijk aan:

n% (schade)	$\frac{H_n}{H_{0\% \text{ schade}}}$	N _e	N' _e	$\left[N_{n\%} = \frac{N_{0\%}}{\left(\frac{H_{n\%}}{H_{0\%}} \right)^3} \right]$
0	1	0,43	0,849	
10	1,28	0,205	0,405	
20	1,40	0,157	0,310	
30	1,48	0,132	0,262	
100	1,60	0,105	0,207	

Volgens P. Bores [], de golfhoogte H, bij de onregelmatige golfaanval, gelijk is aan $H_{1/20} \approx 1,4 H_5$ ($H_5 = H_{1/3}$).

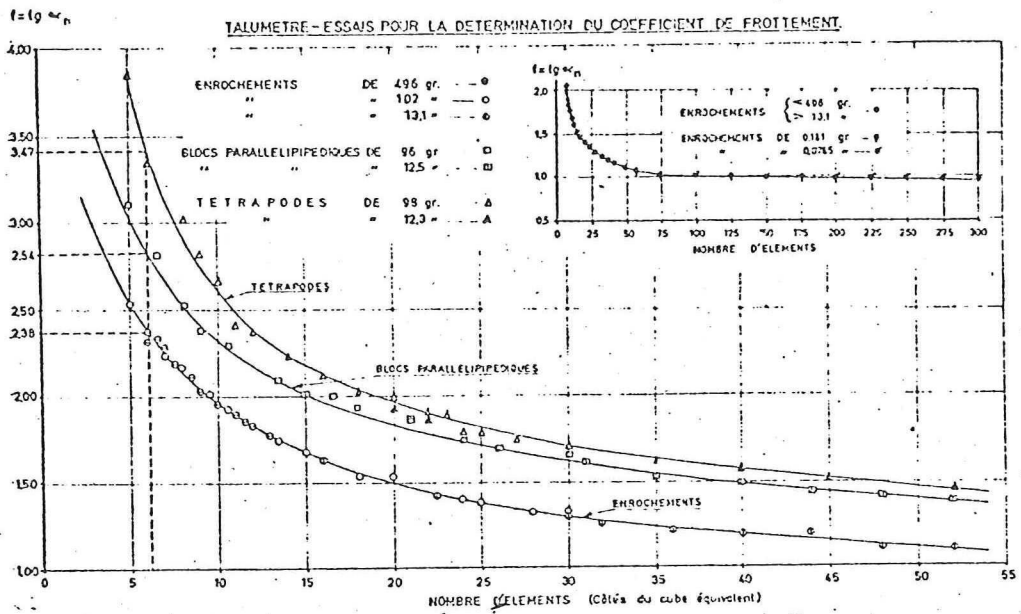


Fig. 6.

Slope measuring device. — Tests for the determination of the friction coefficient.

LEGENDS.

- | | | |
|---------------------------|---|-------------------------------|
| Enrochements | = | riprap. |
| Blocs parallélépipédiques | = | parallelepipedical blocks. |
| Tétrapodes | = | tetrapods. |
| Nombre d'éléments | = | number of units. |
| Côtés du cube équivalent | = | sides of the equivalent cube. |

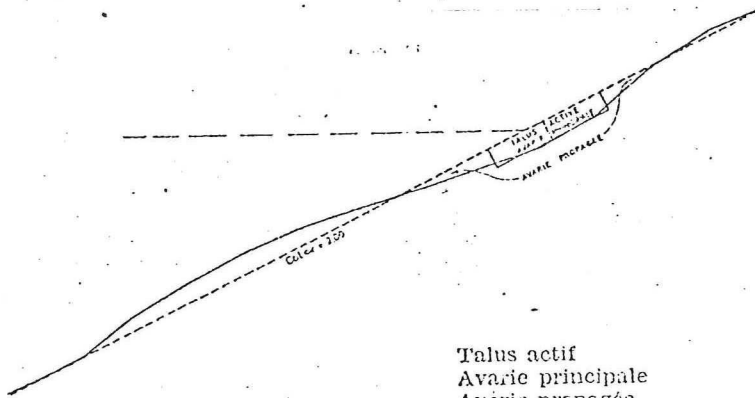


Fig. 7.

Breaking up profile of the dykes.

LEGENDS.

- | | | |
|-------------------|---|---------------------------|
| Talus actif | = | active part of the slope. |
| Avarie principale | = | principal damage. |
| Avarie propagée | = | diffused damage. |

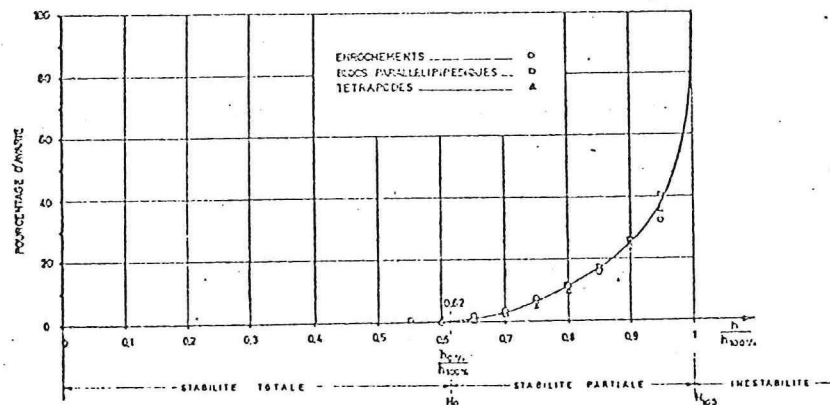


Fig. 8.

Courbe de stabilité.
Stability curve.

LEGENDS.

- | | | |
|----------------------|---|-----------------------|
| Pourcentage d'avarie | = | percentage of damage. |
| Stabilité totale | = | total stability. |
| Stabilité partielle | = | partial stability. |
| Instabilité | = | instability. |

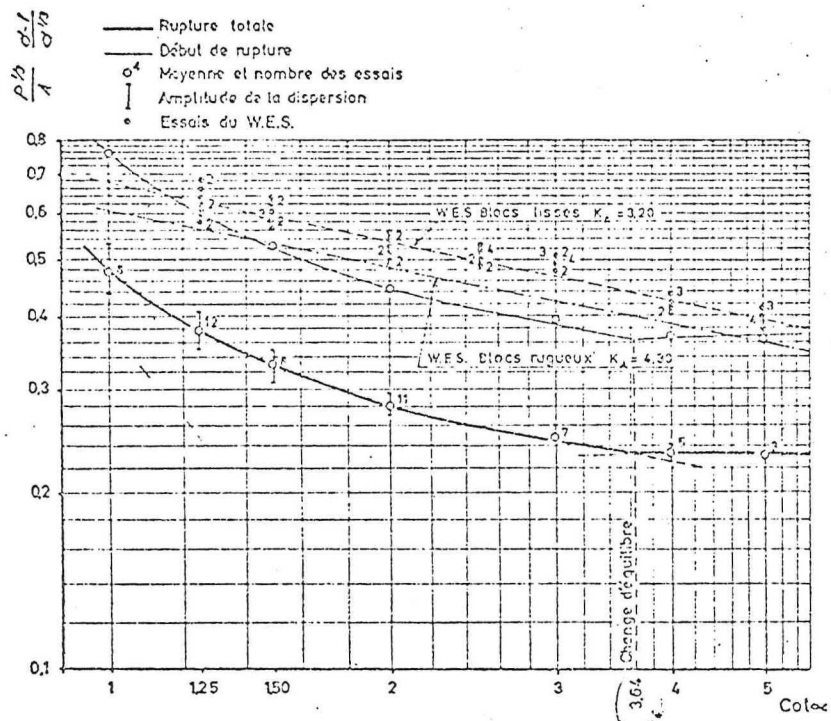


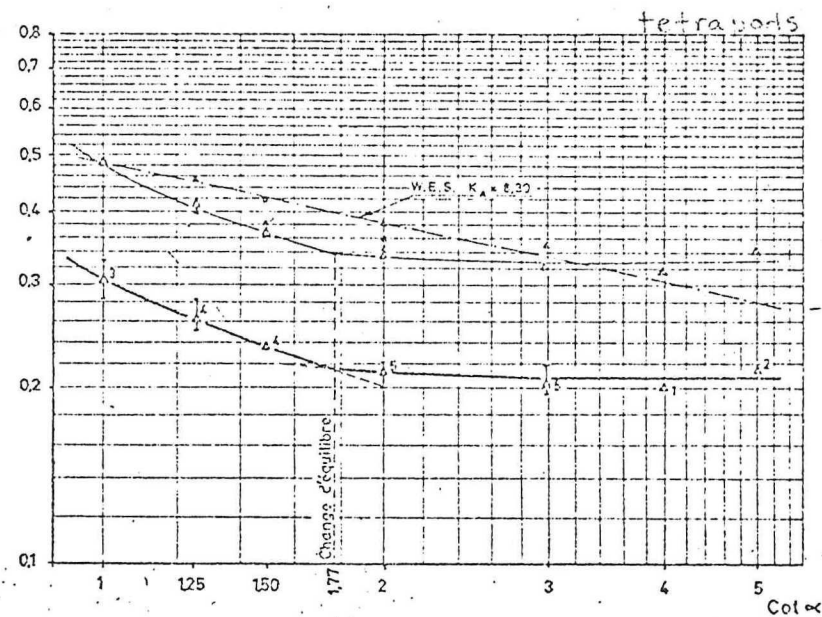
Fig. 1

Essais de rupture totale. — Comparaison (en début d'avaries) avec les essais de la W.E.S. — Enrochements naturels.

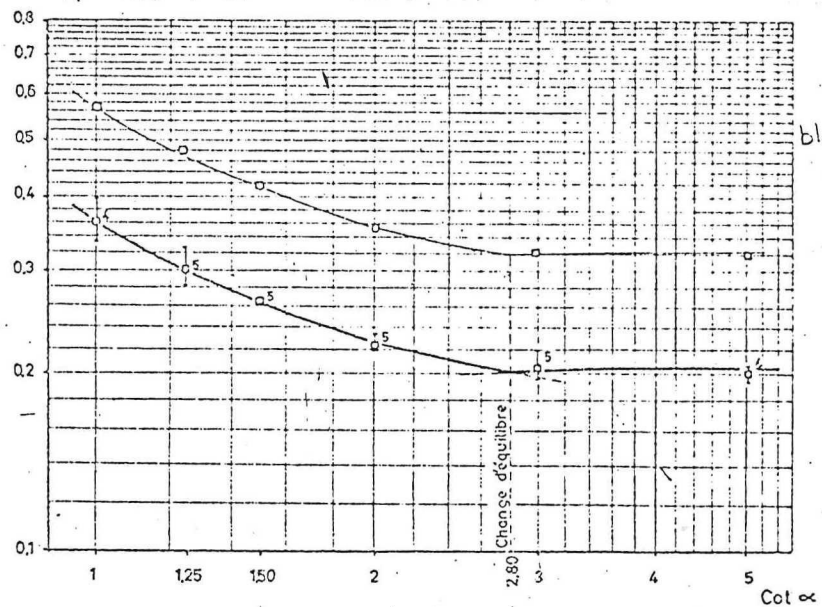
Total breaking up tests. — Comparison (at the beginning of damages), with the different results of the W.E.S. tests. — Natural riprap.

LEGENDS.

- | | |
|----------------------------|---------------------------------|
| Rupture totale | = total breaking up. |
| Début de rupture | = beginning of the breaking up. |
| Moyenne et nombre d'essais | = average and number of tests. |
| Amplitude de la dispersion | = range of the dispersion. |
| Essais du W.E.S. | = tests of the W.E.S. |
| Change d'équilibre | = change of equilibrium. |
| Blocs lisses/rugueux | = smooth/rough blocks. |



tetra works



blocks

b) Formule van Hedar []

De procedure van de steen-grootte berekening is als volgende;
 De procedure van de steen-grootte berekening is als volgende;
 Steen-gewicht;

$$Q = \frac{\pi}{6} \gamma_s D_{eq}^3$$

waarin γ_s = soortelijk steengewicht

D_{eq} = equivalente steen-diameter

Bij de oploophase (uprush-phase);

$$D_{eq} = \frac{S_w}{S_s - S_w} \frac{K_{up} (d_b + 0.7 H_b)}{\left(\log_{10} \frac{14.83 H_b}{D_{eq}} \right)^2 (1.11 \cos \alpha + \sin \alpha)}$$

(maat-gevend voor
glauwe helling)

($f = 1.11 = \tan \phi$)

Bij de terugkaatsing-fase (downrush phase),

$$D_{eq} = \frac{S_w}{S_s - S_w} \frac{K_{down} H}{16.76 (1.11 \cos \alpha - \sin \alpha)}$$

(maat-gevend voor
steile hellingen)

hierin is:
waarin

- S_s, S_w - ~~soortelijk gewicht~~ dichtheid materiaal en water respectievelijk
- H_b - breking golfhoogte
- H - golfhoogte bij de teen v/h talud
- d_b - breking diepte
- α - hock van taludhelling
- K_{up} - empirisch coëfficiënt gelijk aan 0.9 voor een door-
dringbaar (permeable) konstruktie en 1.1 voor een
ondoorringbaar (impermeable) konstruktie.

K_{down} empirisch coëfficiënt die varieert met $(\phi - \alpha)$
en een doorringbaar konstruktie

Voor $\tan \phi = 1.11$ K_{down} is gelijk aan:

$\text{ctg } \alpha$	K_{down}
1	~ 1.18
1.25	3.08
1.50	4.55
1.75	5.35
2.00	6.05
2.5	7.1
3.0	7.6
3.5	7.5
4.0	7.35
5.0	7.25

$K_{down} \text{ (ondoorringbaar)} \cong K_{down} + (3 \div 4)$

Voor taludhellingen 1:3 ÷ 1:4

De Beide formules geven praktisch gelijke korrelgrootte geven \checkmark .
 Voor de totaalstabiliteit, de grootste waarde van de beide formules
 maatgevend is voor de benodigde steengrootte.

Opmerking:

Voor de hoozegelfteelheid ($H/L_0 > 0,05$) die de meest interessant is voor
 de berekening v/d taludbekleding kan men, in de formule voor de
 ophoofphase, aan te nemen dat $d_b \approx 1,3 H_b$, en $H_b \approx H_0$ (zie fig. 10)
 Bij deze voorwaarden, deze formule kan omschreven worden als volgt.

$$\frac{H_0}{D_{eq}} = \frac{1,11 \cos \alpha + \sin \alpha}{2 K_{up}} \left(\frac{S_s}{S_w} - 1 \right)$$

$$\left(\log_{10} \frac{14,83 H_0}{D_{eq}} \right)^2 =$$

$$\frac{H_0}{D_{eq}} = \frac{3}{K_{up}} \left(\frac{S_s}{S_w} - 1 \right) (1,11 \cos \alpha + \sin \alpha) - 3,6$$

bij $S_s/S_w = 2,65$, $\alpha = 0$, $\cos \alpha = 1$, $\sin \alpha = 0$, $(1,11 \cos \alpha + \sin \alpha) = 1,11$, $K_{up} = 0,9$; $1,1$
 $\alpha = 1$, $\cos \alpha = \sin \alpha = 0,707$, $(1,11 \cos \alpha + \sin \alpha) = 1,492$, $K_{up} = 4,6$; $3,1$
 $\alpha = 45$, $\cos \alpha = 0$, $\sin \alpha = 1$, $(1,11 \cos \alpha + \sin \alpha) = 1,11$, $K_{up} = 2,5$; $1,4$

c) Formule van Hudson []

Voor een berekening van de waarde van het materiaal ~~vo~~ voor een stabiele constructie ^{wordt} wordt, tot nu toe, veelal gebruik gemaakt van de formule Hudson die erg simpel is.

~~De formule van Hudson luidt:~~

Dere formula mag slechts bij belms gelijk of steiler dan 1:5 gebruikt worden. De waarden volgens de formule van Hudson iets aan te hoge kant zijn wat kan als een soort stabiliteits-reserve beschouwd worden.

De formule van Hudson luidt :

$$Q = \frac{\gamma_s H^3}{K_D \left(\frac{S_s}{S_w} - 1\right)^3 \cot \alpha}$$

Waarin K_D - Knapinisch koëfficient afhankelijk van de schadepercentage

De waarden van K_D zijn gelijk aan :

K_D	$H/H_D = 0$	% schade
3,2	1,00	0
5,1	1,18	1-5
7,2	1,33	5-15
9,5	1,45	10-20
12,8	1,60	15-40
15,9	1,72	30-60

~~Wanneer bij onregelmatig golfaanval, de golfhoopte H_D gelijk aan $H_s = 1/3$ dan de berekende waarden te gebruiken.~~ ^{het is geadviseerd}

x) De schade is gedefinieerd als een percentage (per gewicht) van de verplaatste stenen tot de totale stenen-gewicht binnen de totale lengte van $4 H_D$ ($2,4 H_D$ boven en $1,6 H_D$ onder ^{st. waterlijn} S.W.L.) waar H_D de diepwater-golfhogte is bij een stabiliteitslimiet die gedefinieerd is door ca. 10% schade.

5) De stortsteen behoeving en de onderlaag (b.v. grond) moeten aan de filter-eisen voldoen. Grote en doordringbare onderlaag resulteert in toename van de behoevingsstabieliteit.

d) Stabiliteit v/d stortsteen-bekleding - de resultaten van Civil Engineering Research Association (C.E.R.A), Engeland []. Het C.E.R.A onderzoek heeft betrekking op de stabiliteit van de stortsteenbekleding voor taluds variërend van 1:1,5 t/m 1:5, bij regelmatig en onregelmatig golfaanval. De resultaten van het onderzoek kunnen als volgt worden samenvat.

1) D_{50} is een significante korrel-grootte voor de berekening van de bekledingsstabiliteit. (D_{50} in het model was gelijk aan ca. 25 mm, $\beta_s = 2,730$)

2) De materiaal-sortering, bij dezelfde D_{50} geeft nauwelijks invloed op de stabiliteit (tenminste voor de ^{materialen die werden getest} gebruikte materialen)

3) Minimale laag-dikte, van de bekleding is $1,5 \times D_{50}$

4) De stabiliteit neemt toe met de toename van de laag-dikte tot een maximum bij ca. $r = 2,75 D_{50}$ (zie figuur ...)

5) Uit de enkele proeven met "platte", en "ronde"-vorm stenen, onderscheidend van de gebruikte "hoekige" stenen (bruiksteen ^{is gebroken}); blijkt dat op de steile hellingen b.v. 1:2, een plat-steen-laag is ca. 14%, en een rond-steen-laag ca. 19% zwakker is, uitgedrukt in de golfhoogte bij een limiet-stabiliteit ($H = H_D$). Op de relatief flauwere taluds, b.v. 1:3 en 1:4, zijn de versdotten veel kleiner, resp. 4 en 7%.

7b) Bij dezelfde D_{50} , neemt de stabiliteit v/d bekleding toe als de hoek v/d taludhelling afneemt (tenminste binnen ^{19,2%} 1:1,5-1:5), (zie figuur ...)

8a) Uit de proeven met regelmatig golfaanval is gebleken dat:

(i) geen schade optreedt bij golfhoogte van ca. $0,7 H_D$ ~~waar~~
 ~~H_D de golfhoogte is bij een stabiliteitslimiet die gedefinieerd~~
~~is door ca. 10% schade.~~

(ii) een toelaatbare schade van ca. 5% treedt op bij golfhoogte van ca. $(0,85-0,9) H_D$

(iii) de bekledingslaag wordt vernietigd bij schade groter dan ca. 15%

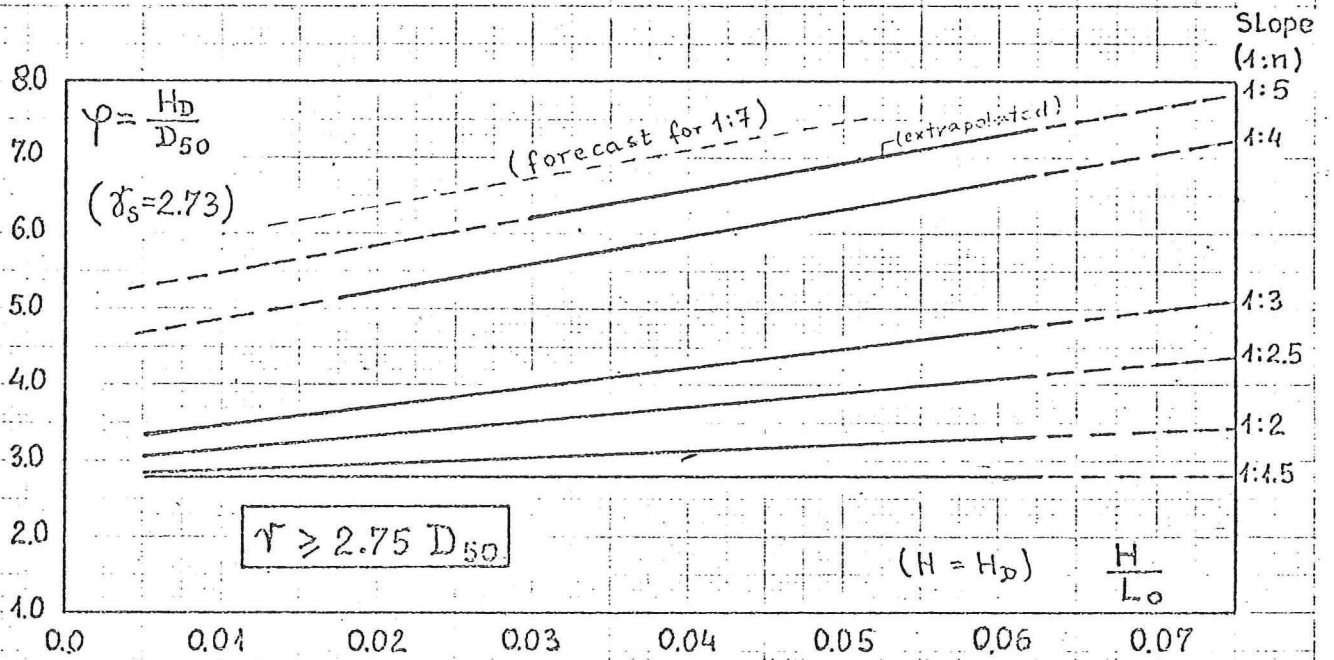
9a) Golfsterkte heeft geen invloed op de stabiliteit voor talud 1:1,5. ($\alpha = 1,5$). De invloed van de golfsterkte neemt toe met toename van de taludhelling voor taluds flauwer dan 1:1,5; bij konstante golfhoogte, neemt de steendiameter af met toename van de golfperiode. De stabiliteit functies voor twee extreme golfsterkten zijn in figuur weergegeven. De waarden van H_D/D voor de andere golfsterkten kunnen via een lineaire interpolatie verkregen worden zoals in figuur ... voor $T =$, is gepresenteerd.

- 10) Uit de proeven met onregelmatige golven (wind-golven) is gebleken dat er een correlatie bestaat tussen de H_D - de golfhoogte bij limiet van stabiliteit voor regelmatige golven, en H_1 - de gemiddelde golfhoogte van 1% $\frac{1}{d}$ hoogste golven in een wind-golf-spectrum. $H_1 \cong 1,67 H_5$ waar H_5 - significante golfhoogte, ($H_5 \cong H_{1/3}$) - de gemiddelde van 33% $\frac{1}{d}$ hoogste golven) en de gemiddelde golfperiode verbonden met H_1 is gelijk aan T_5 - de significante golfperiode. Van $H_D = H_1$ en T_5 , de waarden van de benodigde D_{50} (bij 10% schade) kunnen benaderd worden door gebruikmaking van de stabiliteit-krommen vastgesteld voor regelmatige golven ($\frac{H_D}{gT_5^2} \rightarrow \frac{H_D}{D_{50}}$ waarin $H_D = H_1$). Voor een stabiel behouding met $\leq 5\%$ schade, de noodzakelijke golfhoogte is gelijk aan ca. $1,85 H_5$ ($H_D = 1,85 H_5$). Dus,
- $H_1 \leq 0,7 H_D$ - geen schade
 - $H_1 < 0,9 H_D$ - ca. 5% schade
 - $H_1 \cong H_D$ - limiet van stabiliteit (= 10% schade)
 - $H_1 > H_D$ - vernietiging van de behouding (bij $H_1 \cong 1,06 - 1,18 H_D$).

11) Niet loodrechte golfaanval is minder schadelijk dan de loodrechte. (tenminste bij deze model-omstandigheden).

12) Het spreiding van de meetpunten toont aan dat de maximaal golfloop niet alleen een functie van de golfhoogte en de golfperiode is (tussen andere, de dichtheid van behouding een belangrijke rol speelt). De golfloop voor onregelmatige golven kan benaderd worden door gebruikmaking van de golfloop-krommen voor regelmatige golven en aan te nemen dat $H_1 = H$ en $T_5 = T$.

De enveloppen (boven limiet van alle ^{verschillende} resultaten voor een bepaalde behouding) van de golfloop en de golfdepresie (het laagste punt van de golf terugkaatsing) zijn, voor ^{storingsteentelings} onregelmatige golven, in figuren ... en ... weergegeven. Het verschil tussen die twee grenzen kan als een activezone van de golfwerking beschouwd worden.

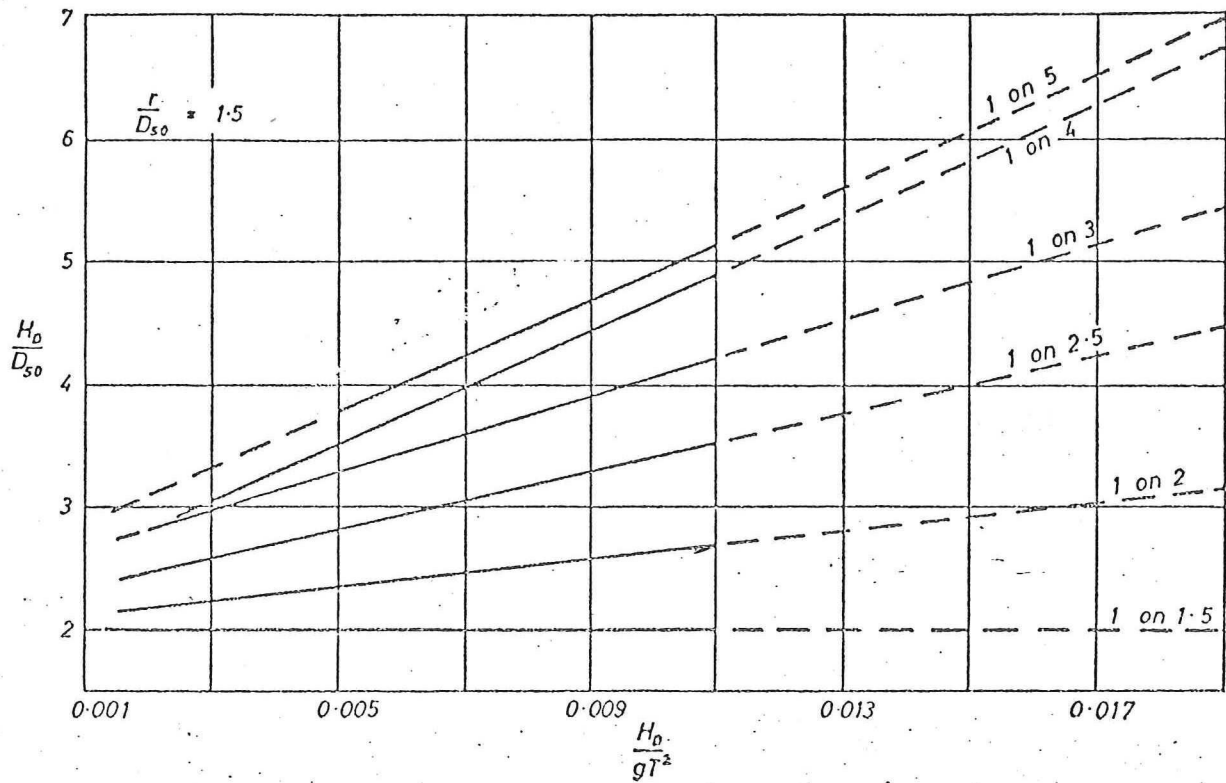


- $D_{50\%}$ = Equivalent spherical diameter
- g = Acceleration due to gravity
- H_D = Wave height at Limit of stability, ($H_D = H$)
- L_0 = Wave length ; $L_0 = 1.56 T$ (m)
- γ = Cover Layer thickness

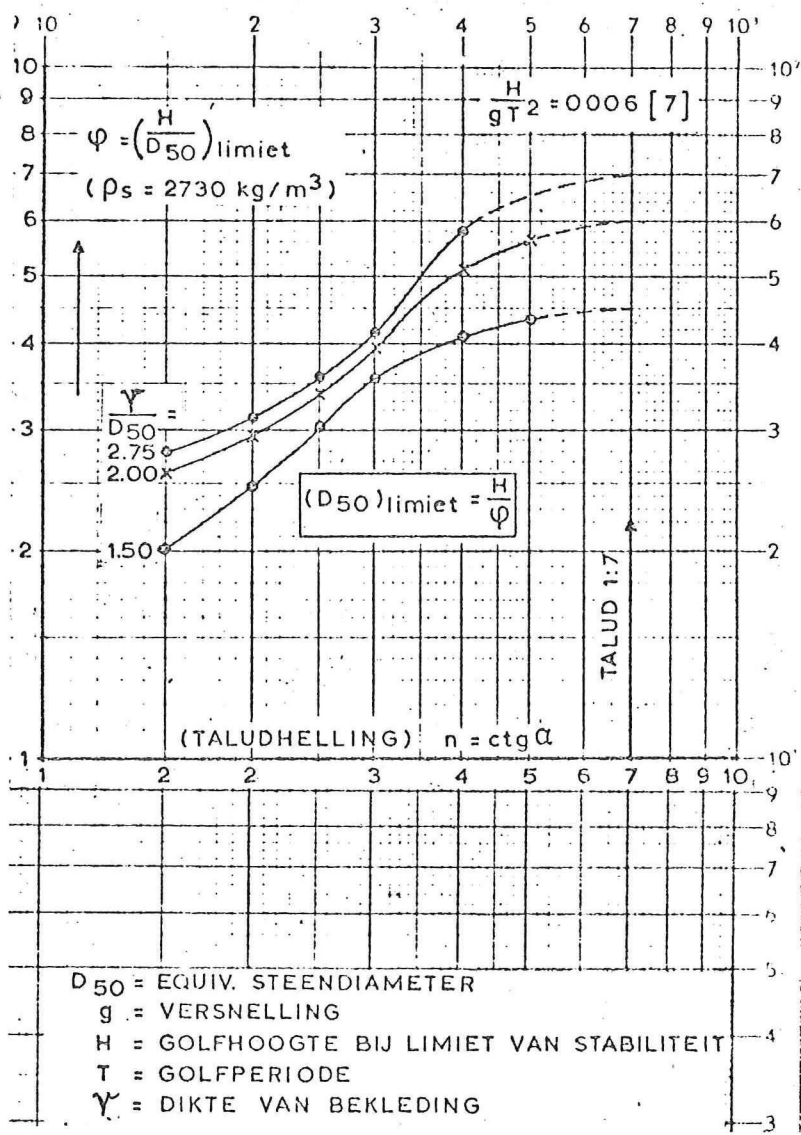
$$(D_{50})_{\text{Limit}} = \frac{H_D}{\phi} \quad ; \quad (\text{Limit of equiv. stone size})$$

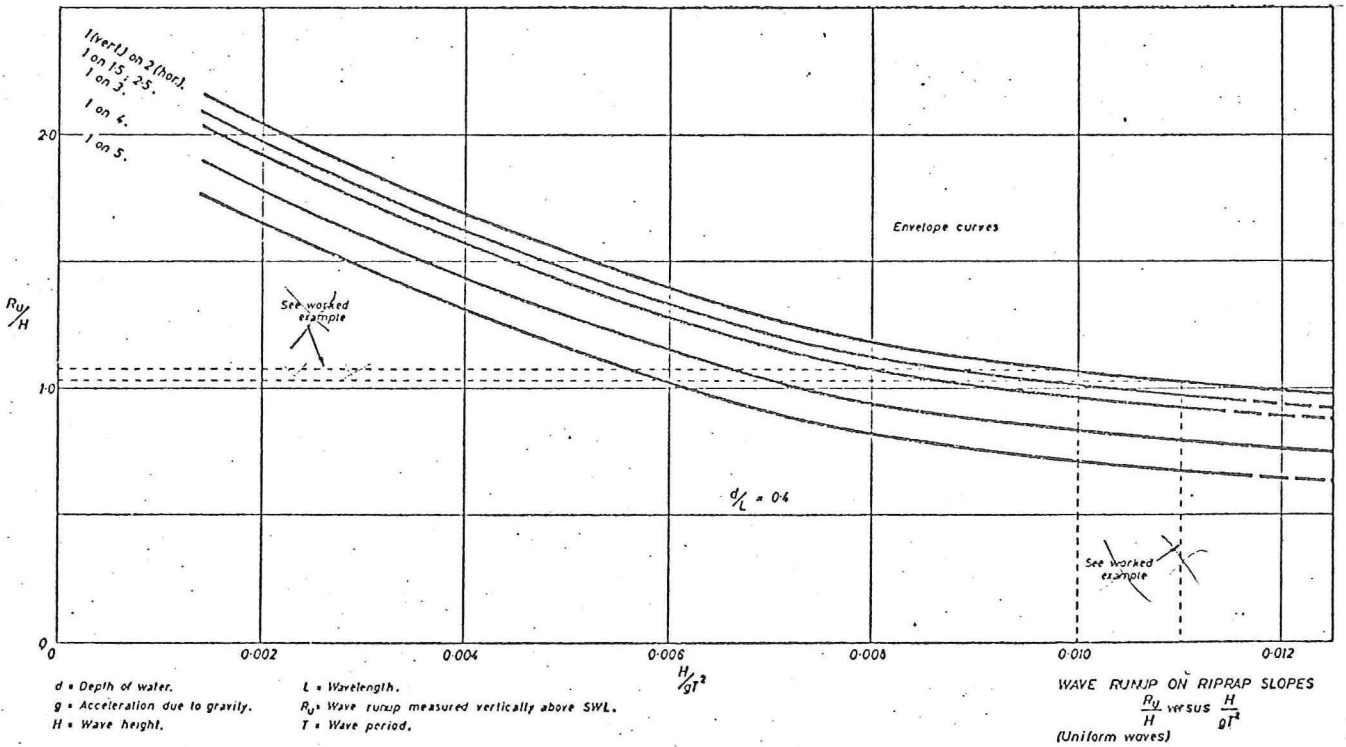
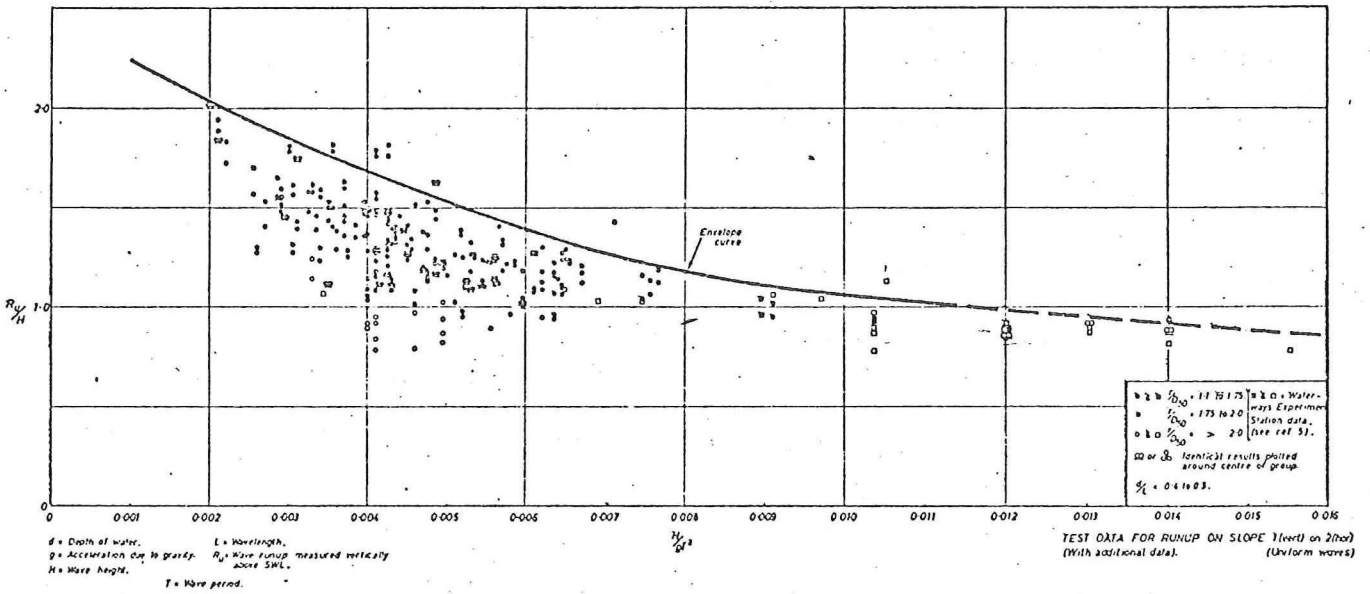
$$Q_{\text{Limit}} \geq \delta_s \frac{\pi D_{50}^3}{6} \quad (\text{Limit of stone weight})$$

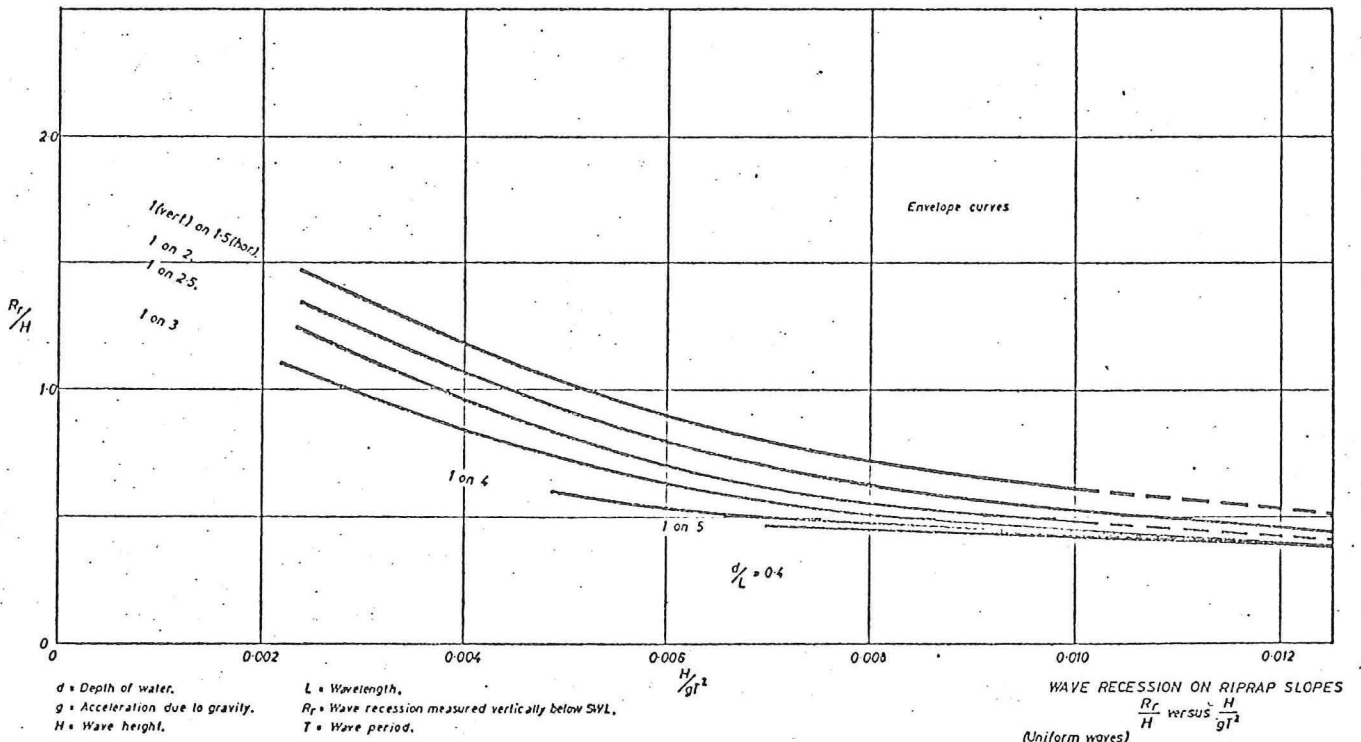
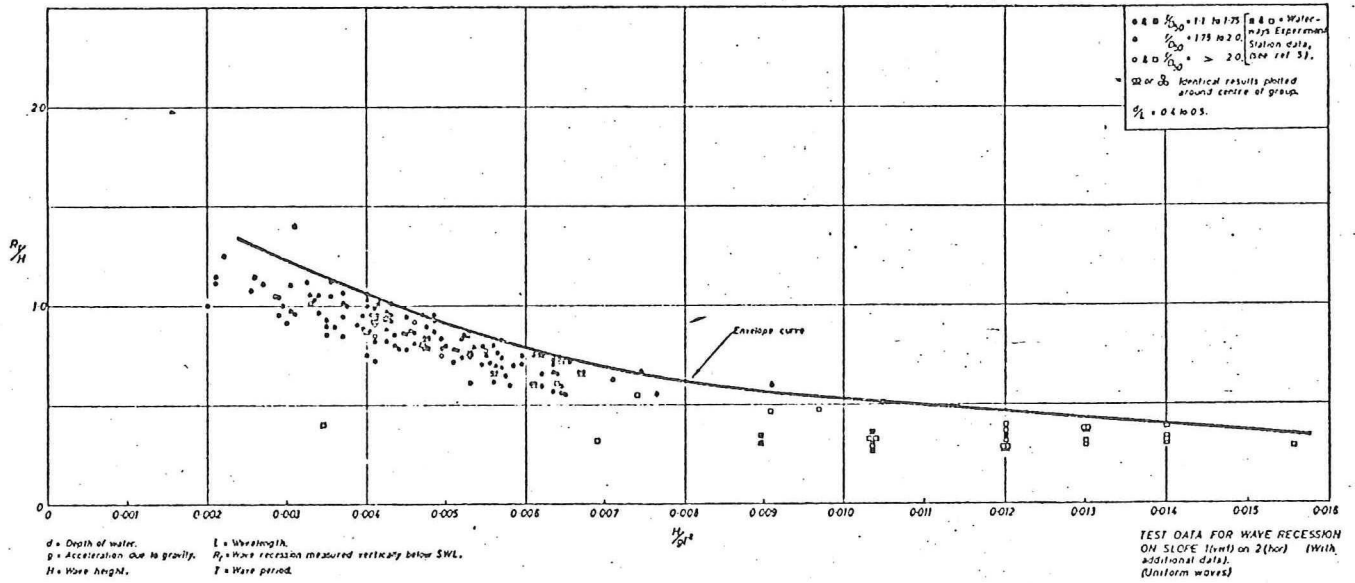
FIG. Design Stability Curves [5]



D_{50} = Equivalent spherical diameter of the 50% by weight size of stone in the grading.
 g = Acceleration due to gravity.
 H_0 = Wave height at limit of stability
 T = Wave period
 r = Cover layer thickness.
 Stone Sp. Gr. 2.73







e) Stabiliteit v/d stortsteen-bekleding - de resultaten van Coastal Engineering Research Center and Missouri River Division (C.E.R.C - M.R.D), U.S.A, [].

Recente data (1972) aan de stabiliteit van de stortsteen-bekleding afkomstig van C.E.R.C - M.R.D geven een nieuwe inzicht aan deze problematiek. Bij dit onderzoek, de model-schalen werden van 1:20 tot bijna prototype-schaal gevarieerd waarbij, de steengrootte van ca. 17 gram t/m 170 kg, de gradatie sortering $(Q_{85}/Q_{15})^{1/3} < 9$ en de golfhoogte van 0.03 t/m 1.8 m. Water diepte bij de teen v/m talud voldoende was de ^{golft}breking op het talud te veroorzaken. Door iedere model bij de kleine en grote schaal te testen, de informatie t.o.v. de schaal invloed op de bekledingstabiliteit werden verkregen. Stortsteen-bekleding werd getest op de modellen met de taludhellingen 1:2, 1:3, 1:5, 1:7 en 1:10 waarbij 1:7 en 1:10 data zijn ^{steeds} alleen van de klein-schaal modellen afkomstig (Reynolds getal $R_N < 2 \times 10^5$).

De klein-schaal-modellen de kleinere stabiliteits-waarden van parameter N_{zD} geven t.o.v. de groot-schaal (prototype) modellen. De dikte - laag van de steenbekleding ^(r) was gevarieerd van 1.4 t/m $2.9 \times D_{50}$. Binnen deze variatie geen merkbaar invloed van de dikte v/d bekleding was gekonstrueerd.

De equivalente diameter is benaderd als

$$D_{50} \approx \sqrt[3]{\frac{Q_{50}}{0.65 \gamma_s}}$$

waarin γ_s - soortelijk gewicht v/m materiaal

De representatieve golfhoogte is er gedefinieerd als de gemiddelde lde van de hoogste ^(regelmatig) golfhoogten van alle v/d stromingen ^(H). Deze ^{zijn ca. 1.2 tot 1.5 hoger dan de gemiddelde golfhoogte van alle golven (H)} representatieve golfhoogten ^{worden} in de equivalente diep-water-golfhoogten uitgedrukt ($\bar{H}_0 \approx (1.1 \pm 1.2) H_0$).

De relaties tussen de diepwatergolfhoogte, golfperiode, talud-helling, Reynolds getal (R_N) en de grootte van de steen worden gevonden maar geen algemeen formule is erd vastgesteld.

Model-resultaten zijn uitgedrukt in vorm van een stabiliteits-parameter

$$Q_{50} = \frac{\bar{H}_{zD}^3 \gamma_s}{\left(\frac{N_{zD}}{FR}\right)^3 (S-1)^3}$$

$1/z_D$

$$N'_{zD} = F_R \cdot N_{zD} \cdot 1$$

waarin $s = \frac{S_s}{S_w}$ $N'_{zD} = f_1 \left[\frac{gT^2}{(Q_{50}/\delta_s)} \right]^{1/3}$, steen-vorm, methode van storten, ctgd]
 waarin $s = \frac{S_s}{S_w}$

$$N'_{zD} = F_R \cdot N_{zD}$$

N_{zD} - stabiliteit parameter zonder scharrelcorrectie (model waarden)

N'_{zD} - " " " met scharrelcorrectie (figuren) (= prototype waarden)

F_R - scharrelcorrectie. ($zD = \text{zero damage}$)

In het algemeen N_{zD} is een functie van

$$N'_{zD} = f_1 \left[\frac{gT^2}{(Q_{50}/\delta_s)} \right]^{1/3}$$

en kan uit figuren vastgesteld worden (voor $1.4 < \frac{r}{D_{50}} < 2.9$ - test range).

De scharrelcorrectie $F_R = f_2(R_N)$ kunnen f_2 uit figuur ... gevonden worden. De correctie-cromme geldt alleen voor de talen gelijk of kleiner dan 1:5. Voor de prototypecondities R_N is hoog en $F_R \rightarrow 1$ (of $F_R \approx 1.0$)

Wanneer de relatieve golfperiode

$$\frac{gT^2}{(Q_{50}/\delta_s)}^{1/3} > 800$$

of de kritische golfsteilheid $H_{zD}/h_0 < 0.03$, dan N'_{zD} bereikt een minimum (limiet) waarde, N''_{zD} , die onafhankelijk is van de golfperiode is. De numerieke waarden van N'_{zD} in tabel ... en in figuur ... vermeld zijn.

Voor de prototypecondities $F_R \approx 1$ en $N'_{zD} = N''_{zD}$, en, dus

$$Q_{50} = \frac{H_{zD}^3 \delta_s}{(N''_{zD})^3 (s-1)^3}$$

In het algemeen, de golfhoogten enkele percent hoger dan de H_{zD} - met scharrel golfhoogte, kunnen toegestaan worden.

Het verschil tussen de H_{zD} en de golfhoogte die nog geen scharrel in de onderling (filter) veroorzaakt, H_{LD} (H_{LD} = golfhoogte bij limiet scharrel) is besouwd als een reserve-stabiliteit.

De gemiddelde waarden van de reserve-stabiliteit r_e zijn in tabel 2 weergegeven (reserve stabiliteit $r_e = \left(\frac{H_{LD}}{H_{zD}} - 1 \right) \times 100(\%)$)

Opzet	Tabel			
ctgd	N''_{zD}	$(N''_{zD})^3$	$r_e (\%)$	opmerkingen
1:2	3,0	27	5%	Gelegde steen (Placed steen)
1:2	2,4	14	20%	Gestortte steen (stortsteen)
1:2 1/2	2,6	18	-	"
1:3	3,0	27	30%	"
1:5	3,7	51	40%	"

$$\left(\frac{Q_{85}}{Q_{15}} \right)^{1/3} < 2$$

De reserve stabiliteit afhankelijk is van de dichte van de bekleding, ^{en} de ^{plus} ~~de~~ ^{de} ~~beleg~~, in tabel ... , vermelde waarden slechts bij de $\tau \approx (1,5 \div 2,0) \times D_{50}$ gelden.

De resultaten van dit onderzoek kunnen verder samengevat worden als volgt:

- (i) De gemiddelde, (Q_{50} , steen-gewicht kan als voldoende, effectieve steen-grootte (-maat) beschouwd worden voor bekleding materiaal.
- (ii) Klein-schaal modellen met $R_N < 2 \times 10^5$ zijn minder stabiel dan de groot-schaal (prototype) modellen. Dit verschil is door de invloed van de viscositeit veroorzaakt. De correlatie-functie voor het viscositeit-effect (= "schaal effect") is in functie van de Reynolds getal uitgedrukt zoals in figuur ... weergegeven is.
- (iii) Stabiliteit is een functie van de golfperiode. Stabiliteit is groter bij de korte perioden en neemt af met toename van de periode. Voor de golfperiode, uitgedrukt in vorm, $\frac{gT^2}{(Q_{50}/\tau)^{1/3}} > 800$ of $\frac{HzD}{L_0} > 0.03$, de stabiliteit parameter (N_{ED}'') bereikt zijn minimum (limiet) waarde (N_{ED}'') en is verder meditatief onafhankelijk van de golfperiode.
- (iv) Geen effect van de steen-vorm, tenminste voor de gebruikte soort stenen, is geconstateerd.
- (v) ~~Individueel (kies) steen~~ ~~verschillen~~ ^{heeft} ~~hebben~~ grote nul-schaal stabiliteit dan de gestorte stenen maar minder reserve-stabiliteit (zie tabel ...).
- (vi) De nul-schaal stabiliteit voor de stortsteen is niet beïnvloed door de dichte v/d bekleding-laag zolang die binnen $1,4 \div 2,9 D_{50}$ varieert
- (vii) Stabiliteit neemt toe voor relatief flauwer taluds. Het effect van de taludhelling op de stabiliteit is als functie van N_{ED}'' (minimum stabiliteit) tegen $\cot \alpha$, in figuur ... weergegeven. Het effect van de golfperiode voor de flauwe taluds $1:7$ en $1:10$ (klein-schaal - model-data) zijn in figuur ... weergegeven. Omdat er geen of ^{aan} groot-schaal testen werden verricht zijn er geen correlatieve data beschikbaar (N_{ED} parameter = model waarde) Men moet ~~er~~ ^{er} een rekening houden dat ~~de golf~~ ^{het schaal-effect} ook in dit geval (flauwe taluds) een invloed heeft plaats vindt.

1111) De model-resultaten van dit onderzoek zijn, in het algemeen, vergelijkbaar met de resultaten van de andere onderzoeken voor dezelfde Reynolds getal. Het verschil in de Reynolds getallen is hoofdzakelijk ^{de} oorzaak van de afwijking van de versprekende experimentale gegevens.

Model-stabiliteit-waarden van de benodigde steen-grootte zijn relatief groter dan de ~~pro~~ noodzakelijke prototype-waarden. Dus, in iedere geval, de model-waarden liggen aan de veilige kant en kunnen, eventueel, als de stabiliteit-waarden met een extra reserve-stabiliteit beschouwd worden.

[Ter vergelijking, de enkele beschikbare meet-resultaten van de andere onderzoeken, tot de vorm van de stabiliteit-parameter

(N_{SD} gebruikt, zijn samen in figuur gepresenteerd. De getallen bij de open symbolen geven indicatie met de Reynolds getal ($\times 10^{-4}$) betreft. Terwijl de "prototype" resultaten CERC-HRD voor $R_N > 2 \times 10^5$ zijn door de zwarte symbolen gemerkt terwijl de getallen bij deze symbolen een indicatie geven met de test-tijd ($\times 10^{-4}$) betreft. Er is een tendentie te zien dat de stabiliteit neemt toe met Reynolds getal (of model-grootte) tot een bepaalde ^{grens} ~~waarde~~ van ca. $R_N \cdot 10^{-4} \leq 10$. Uit deze vergelijking ^{kan} ~~kan~~ ^{is} ~~is~~ ^{te zien} ~~dat~~ ^{dat} deze resultaten verspreiden maar, wanneer de Reynolds getallen bekeken worden, blijkt dat ze zijn tot vergelijkbaar ^{binnen} ~~tot~~ dezelfde omvang van R_N . Bovendien, er moet rekening gehouden worden ~~dat~~ een feit dat, bij dit soort onderzoeken, de resultaten zijn in bepaalde mate beïnvloed door de test equipment, konstruktore $1/4$ model, golf-reproductie en subjectiviteit van de sdrade beoordeling en de analyse van de meetresultaten (b.v. Hudson gebruikt H_1 plaatselijke golfhoogte bij de steen $1/4$ schaal $\frac{1}{2}$ en CERC-HRD H_0 -diepwater golfhoogte gelijk aan de gemiddelde van de grootste golven, als referentatieve golfhoogte).

De golfhoogte in dit onderzoek is gelijk aan de gemiddelde van de grootste golven in die golfhoogte. Deze golfhoogte is ca. 15% hoger dan H_3 van prototype.

$$H = 1.2 H_{avg}$$

$$H = 1.15 H_3$$

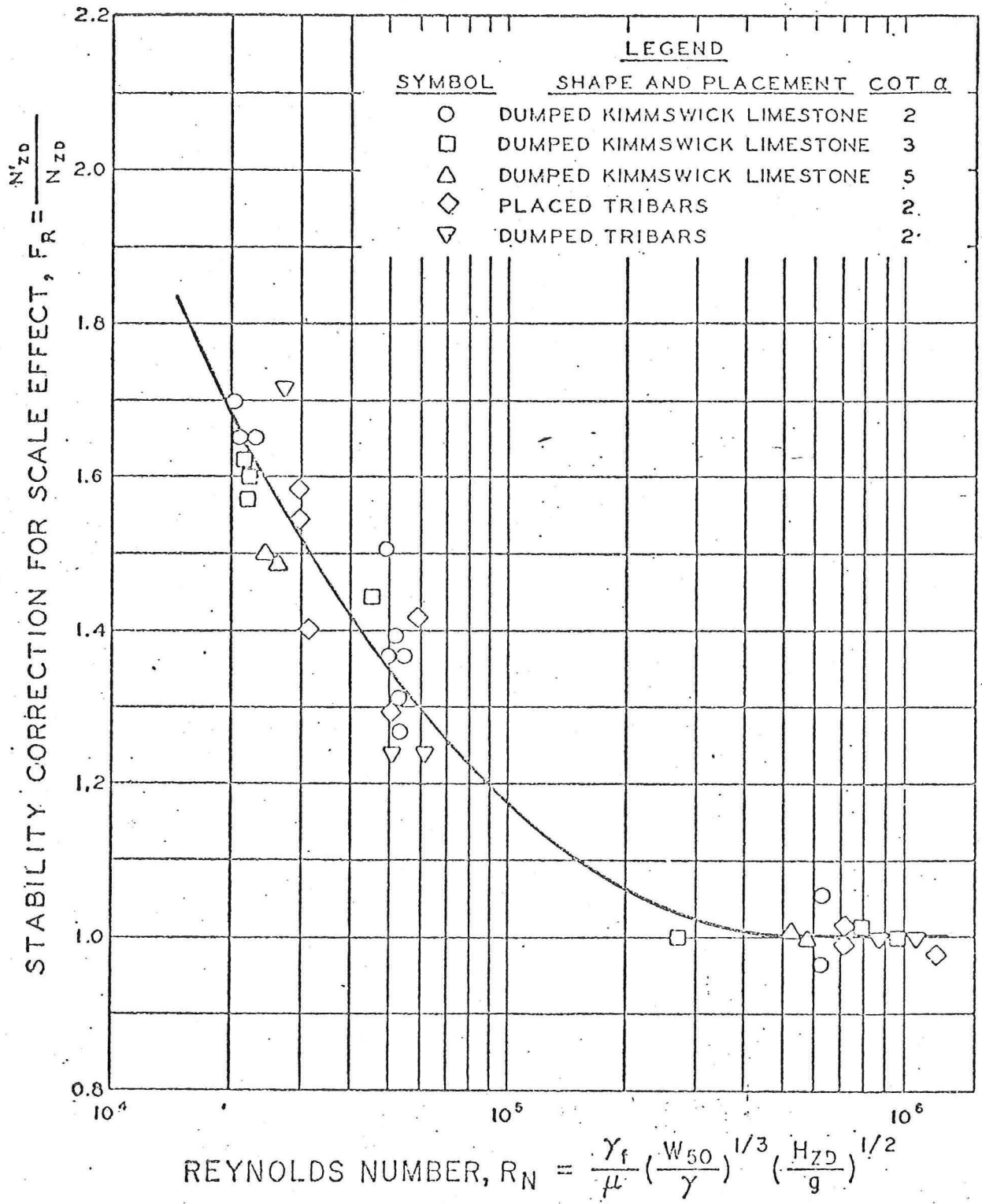
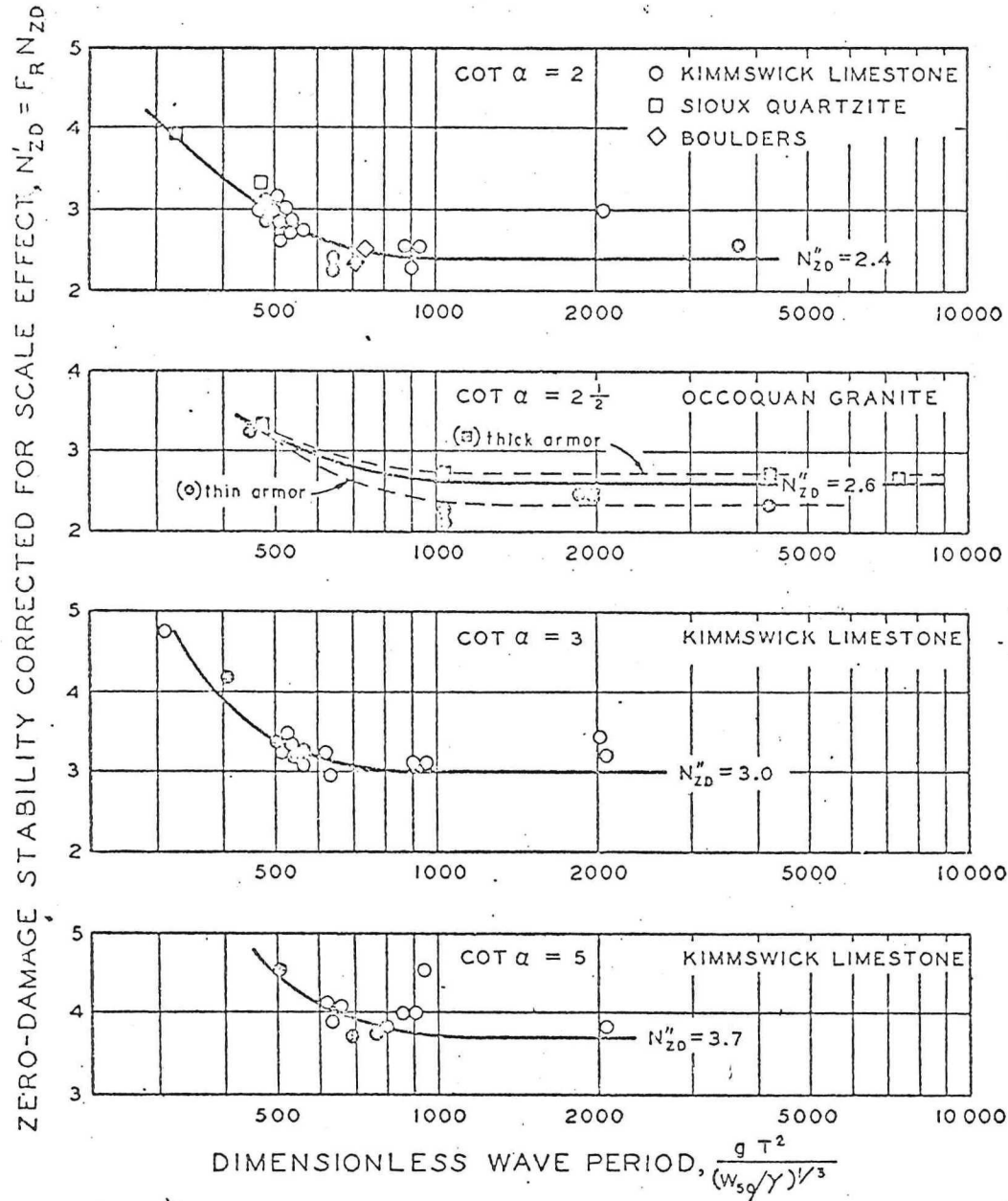
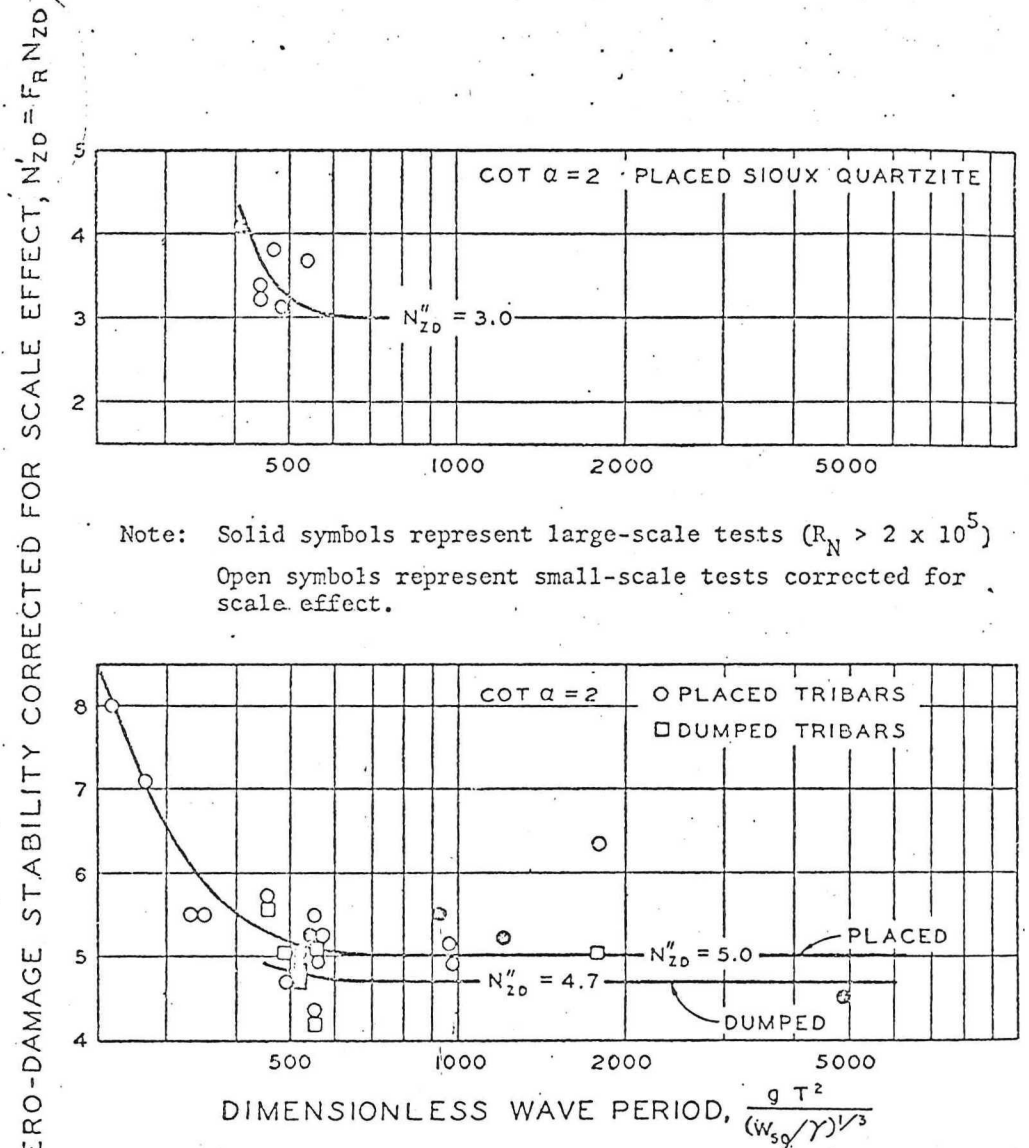


Figure 1A. Stability Correction for Scale Effect as a Function of Reynolds Number



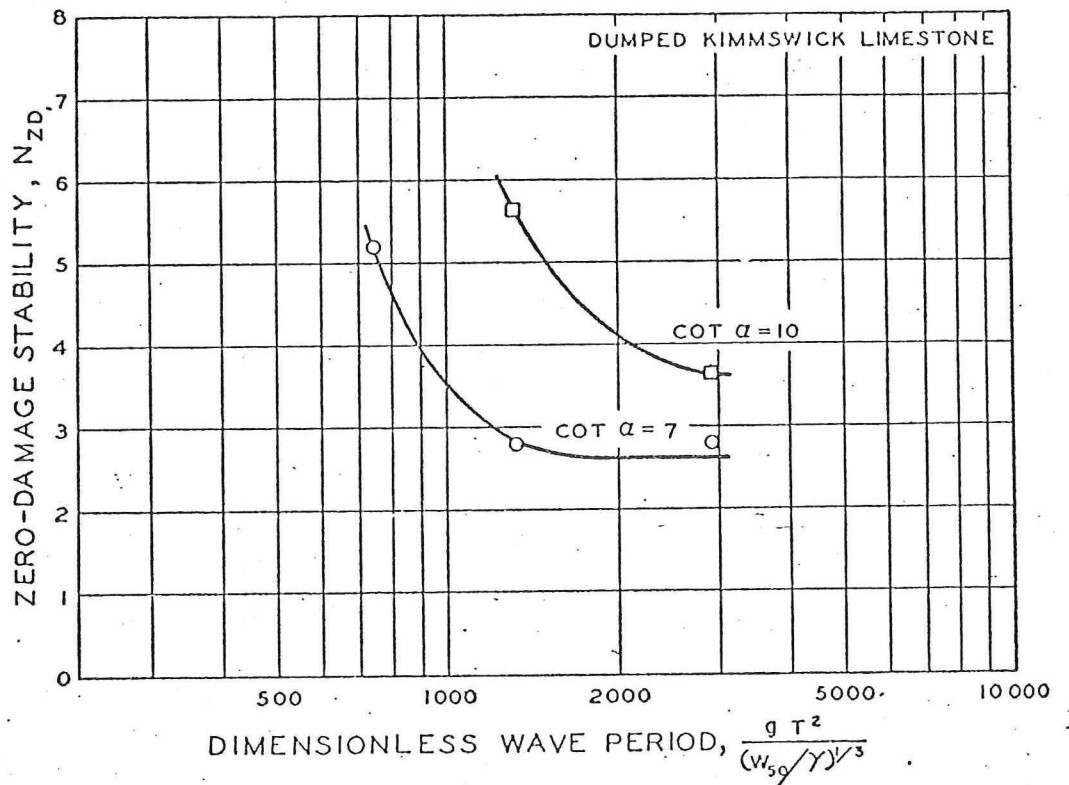
Note: Solid symbols represent large-scale tests ($R_N > 2 \times 10^5$). Open symbols represent small-scale tests corrected for scale effect.

Figure 11. Effect of Wave Period on Zero-Damage Stability of Dumped Stone



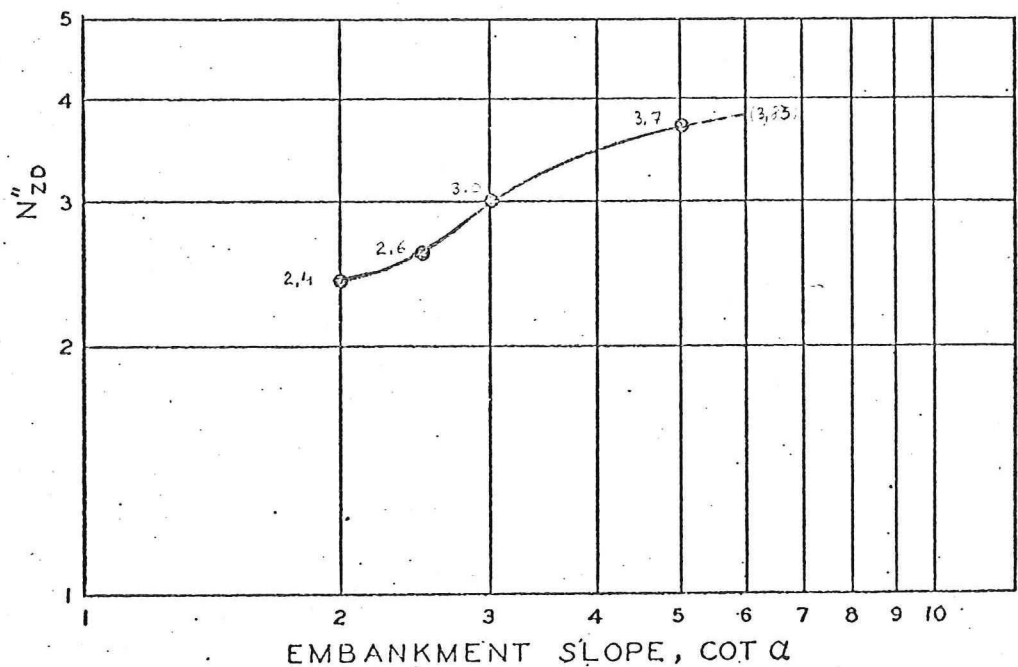
Note: Solid symbols represent large-scale tests ($R_N > 2 \times 10^5$). Open symbols represent small-scale tests corrected for scale effect.

Figure 12. Effect of Wave Period on Zero-Damage Stability of Tribars and Placed Stone



Note: These data are the results of small-scale model tests ($R_N = 1.5$ to 2.0×10^5) and are not corrected for scale effect

Figure 18. Effect of Wave Period on Zero-Damage Stability of Dumped Stone on Flat Embankment Slopes



Note: N_{ZD} is the minimum zero-damage stability with respect to wave period of large model tests and small model tests corrected for scale effect. See Figure 19.

Figure 19. Effect of Embankment Slope on Zero-Damage Stability of Dumped Stone

ZERO-DAMAGE STABILITY CORRECTED FOR SCALE EFFECT, $N'_{ZD} = FR N_{ZD}$

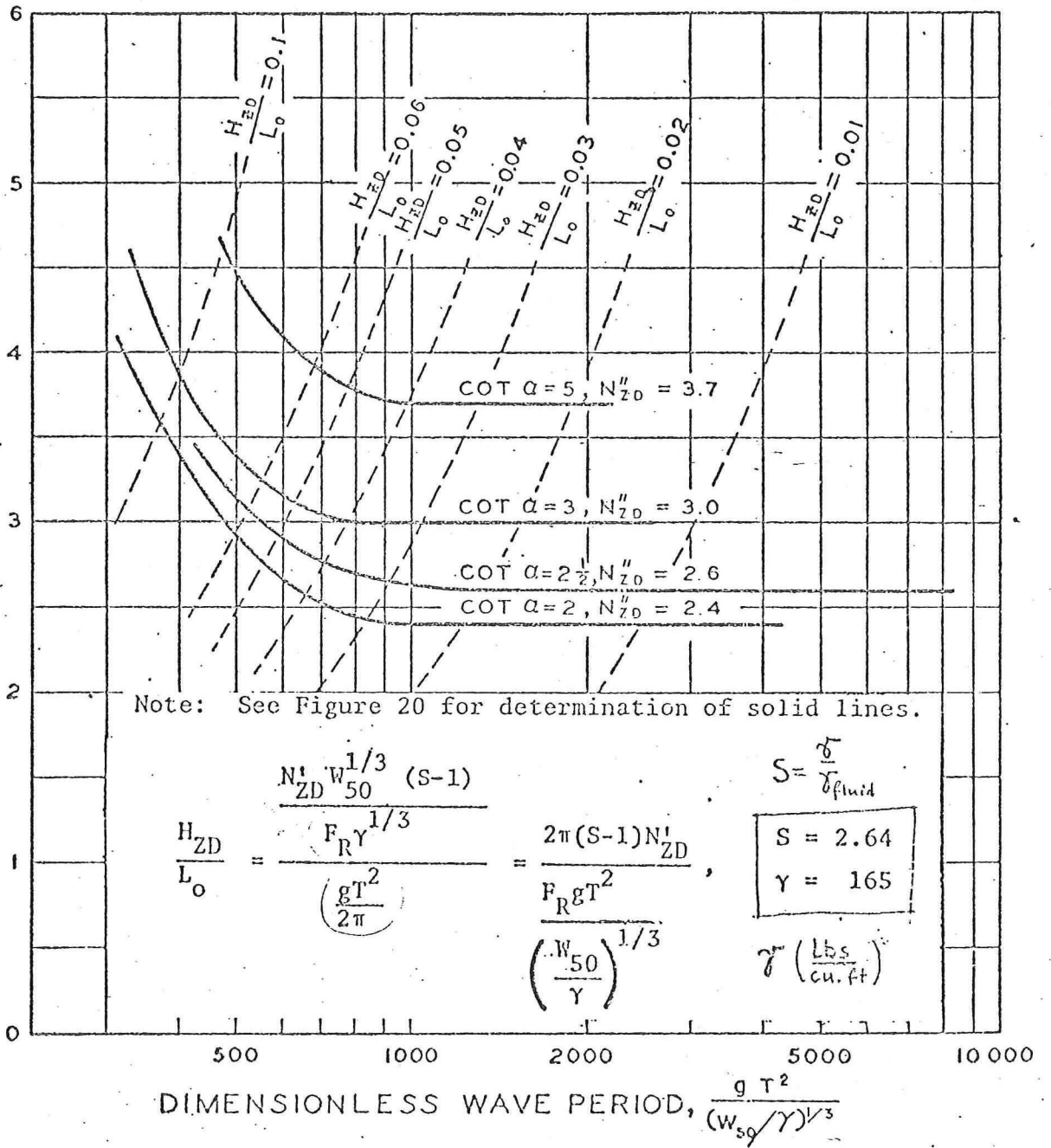


Figure 27. Effect of Wave Period on Zero-Damage Stability of Dumped Stone with Respect to Deepwater Wave Steepness

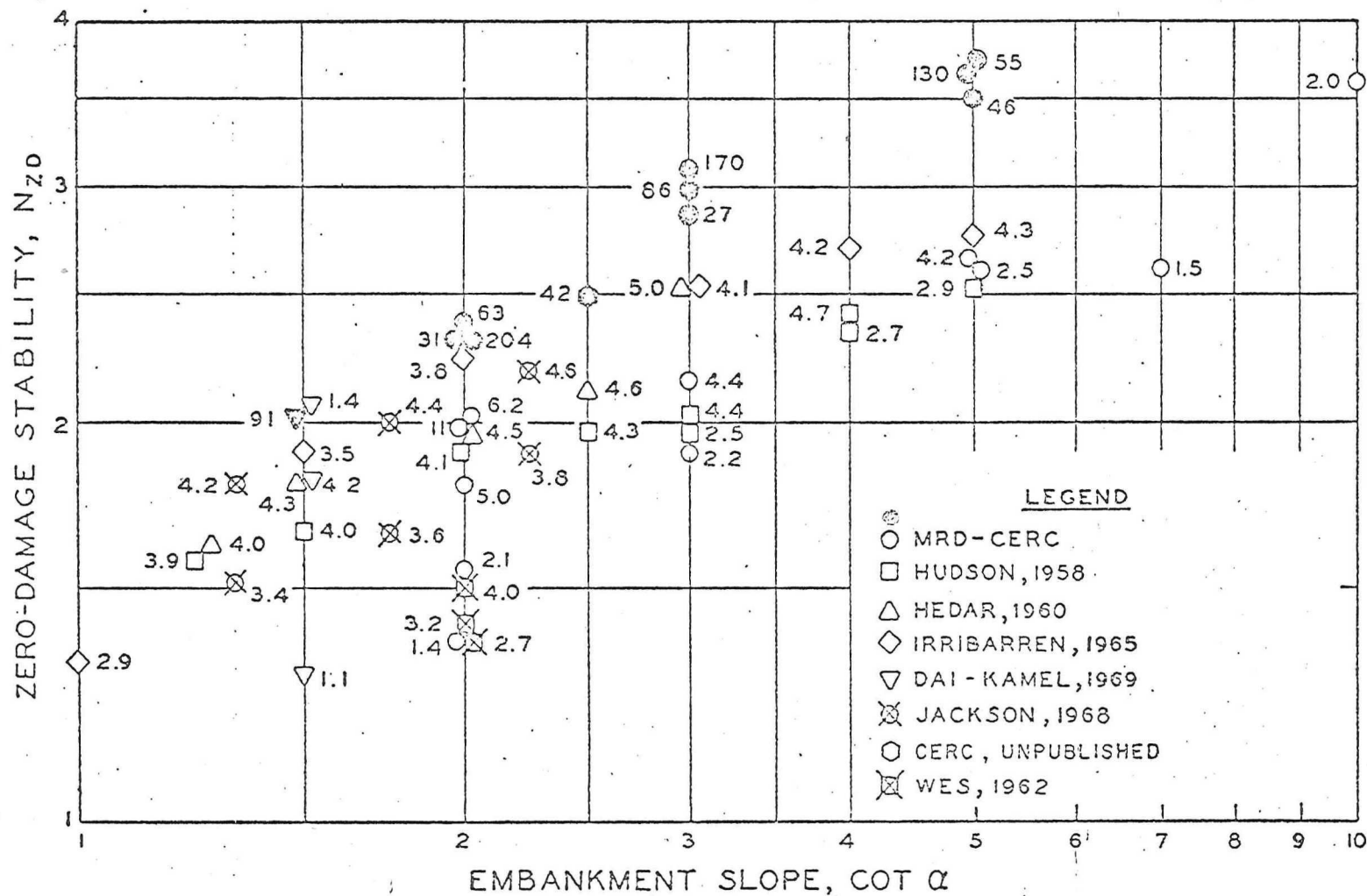


Figure 15. A Comparison of Zero-Damage Model Test Results of Dumped Stone Armor of Various Investigations. Some symbols represent the average of the results of a number of similar tests. Enlarged, solid symbols indicate large-scale tests ($R_N > 2 \times 10^5$). Numbers beside symbols indicate the approximate Reynolds number of the test or tests times 10^{-4} .

en stabiliteit)

Profielvervorming bij onregelmatig golfaanval en getijdencyclus- resultaten van M856 onderzoek []

Om een indruk te geven over de profielvervorming bij een meer
komplex systeem van de golfcondities en der vergelijking met, die deze
nota genoemde, verschillende studies ^{worden} zijn ook de ^{enkele} resultaten van
het twee-dimensionale onderzoek M856 naar de stabiliteit van de
stortsteenbalm geïmpreëerd. Het onderzoek werd verricht bij
onregelmatig golfaanval en een "normaal"- en "storm"-getijdencyclus
voor hoofdschaligheid talud 1:6 en, in geringe mate, ook talud 1:15.
De lengte schaal ^{bij talud 1:6} ~~van de modellen~~ $N_L = \frac{\text{prototype}}{\text{model}} = 50$ ($n_Q = N_L^3$),
en voor talud 1:15, $N_L = 25$, was toegepast. De profielen
zijn in figuren ... $\frac{1}{m}$... weergegeven. Alle maten in deze
figuren zijn "prototype" maten. Ter informatie, $Deq. (w50\%)$ in de
modellen ~~was 2,5 tot 4,0~~ varieerde van ca. 6,0 mm $\frac{1}{m}$ 2,4 mm (6,5, 10, 14, 27, 33)

$\frac{1}{XX}$ De meeste proeven werden met "hoekige" stortsteen verricht, ~~terwijl~~,
Van één proef ~~(zie figuur 2)~~ met talud afgedekt met vergelijkbaar
grind is gebleken dat de vervorming van het talud met de "ronde"
steen blijkt vrijwel gelijk aan die met de hoekige (zie figuren ... en ...
waaruit kan geconcludeerd worden dat de stortsteenproeven ook
vervaard kunnen worden naar de prototype waar een grove grind
is gebruikt. Ten opzichte van deze conclusie lijkt het zinvol de
opmerking uit paragraaf ... te herhalen dat het ~~vermogen~~ verspreiden van
de korrel-vorm die in het ^{kleinere} model geen aanmerkelijke invloed heeft
kan in het prototype wel invloed hebben (zie figuur 3).

De 100% stabiliteit (= 0% schade) van de stortsteentalud lijst, in praktische
gevallen (prototype), een zeer grote steen-maten. Daarom is van zinvol
een zekere mate van profielvervorming (materieeltransport) te accepteren
om de benodigde steen-^{grootte} ~~grootte~~ te verkrijgen. De resultaten van
het M856 onderzoek geven een bepaald inzicht t.o.v. de mate
van materieeltransport bij verschillende grootte van de stortsteen
en de golfcondities.

In het algemeen, het karakteristieke vervormde profiel (dat zijn gem.
evenwichtsprofielen - de tijd van profielontwikkeling is gelijk aan de
duur van de getijdencyclus) bestaat uit een kniel veroorzaakt
door de boeker (de bodem van de kniel is min of meer horizontaal),
100% mant voor de golflengte is de significante golflengte H_s genomen, en
de mant voor de periode T_0 , de periode met het energiedichtheidspectrum
(het maximale energie-inhoud)

nieuwe tekst

een langere stuk tot de ~~waterlijn~~ met een flauwe helling, en een steile ophoging boven ~~waterlijn~~.

De vervormingen van het talud, bij dezelfde ^{en zelfwaarde} steeghoogte, nemen steeds toe bij vergroting van de golfperiode van 8 naar 14 sec. De taluds vertoonden bij alle proeven steeds een ontgronding beneden een een ophoging boven de waterlijn (landwaarts-transport).

In het algemeen, deze profielen een grote ^{kwantitatieve} gelijkernis met de respectievelijke evenwichtsprofielen van M126 methode vertoonden. De waarden van de ophogingen en de diepte begin van profielvervorming (in dit geval gelijk ^{ongeveer} aan diepte begin van beweging) zijn ook kwantitatief vergelijkbaar met de respectievelijke waarden van M126 methode wanneer $H_0 = H_s$ en $T = T_0$.

~~Uit de figuren . . . is te zien is dat, bij een bepaalde steen-
gewicht, de profielverandering verandert, de profielvervorming zeer klein is.
Dere profielen kunnen dus voor de schatting van de steen-stabiliteit
gebruikt worden.~~

Om een indruk te krijgen van het bij een stormvloed optredende transport (sterker variërende en hogere waterstanden dan bij "normale" getijdens) zijn er een beperkte aantal proeven verricht met een storm-programma (4 cycli van 12 uur) zoals in figuur . . . is weergegeven (talud 1:6).

Bij de eerste en laatste cyclus werd de waterstand in stappen van een ~~1/2 m~~ 0,5 m (prototype) gevarieerd tussen N.A.P +1 en -1 (bij golfhoogte $H_s = 4$ m); bij twee andere cycli tussen N.A.P en N.A.P + 3 m in stappen van 1 m ($H_s = 6$ m). De golfperiode was steeds $T_0 = 14$ s.

Door het opvoeren van de waterstand na de 1^e cyclus (zie figuur 1) verschuof het gehele profiel bij alle stortsteen, behalve bij 1-6 ton, landwaarts (vergelijk toestanden B en C). Uit de figuur . . . blijkt dat de stortsteen 1-6 ton stabiel is bij $H_s \leq 4$ m.

xx > voorproeven

De dichte van de stortsteenblokken ^{steeds} zodanig was dat zich beneden de maximale ontgronding nog minimaal 1 m (prototype) steen bevond.

een langere stuk tot de waterlijn met een flauwer helling, en een steile ophoging boven de waterlijn.

De vervormingen van het talud, bij dezelfde golfhoogte en steengrootheid, nemen steeds toe bij vergroting van de golfperiode van 8 naar 14 sec. De taluds vertoonden bij alle proeven steeds een ontgronding beneden en een ophoging boven de waterlijn (landwaartsetransport)

In het algemeen, deze profielen een grote kwalitatieve gelijkheid met de respectievelijke evenwichtsprofielen van M1216 methode vertoonden. De waarden van de ophogingen en de diepte begin van profielvervorming (in dit geval gelijk ongeveer aan de diepte begin van beweging) zijn ook in kwantitatieve zin vergelijkbaar met de respectievelijke waarden uit M1216 methode wanneer $H_0 = H_s$ en $T = T_0$.

Bij "normale" getijdencyclus de waterstand in stappen van 0,5 m varieerde tussen N.A.P. +1 m en -1 m (figuur). Bij N.A.P. +1 en -1 werd 1 uur (model) gezolfd, bij de overige waterstanden 0,5 uur.

De hierbij toegepaste golfperioden en significante golfhoogten waren $T_0 = 8$ en 14 sec en $H_s = 3, (5)$ en 6 m. Bij "normale" getijdencyclus werden twee taludhellingen beloken 1:15 en 1:6.

Het transport bij talud 1:15 met storssteen 10-80 kg bleek bij $T_0 = 8$ s en $H_s = 3$ m, $T_0 = 8$ s $H_s = 5$ m en $T_0 = 14$ s en $H_s = 3$ m zeer klein te zijn. Alleen bij $T_0 = 14$ s en $H_s = 5$ m (figuur) waren de ontgrondingen en de ophogingen te meten (beide maximaal ca. 0,5 m profotype)

De resultaten van de modelproeven bij de "normale" getijdencyclus en talud 1 op 6 zijn in de figuren ... t/m ... weergegeven.

Door het steilere talud was het transport bij 1:6 significant groter dan bij 1:15.

Zoals is eerder vermeld (nauwkeuriger) neemt de evenwichtshelling toe bij vergroting van het steengewicht. Doordat bij de zwaardere steensoorten echter minder materiaal werd getransporteerd (minder profielvervorming), waren de gemeten hellingen daarbij toch flauwer dan bij de lichtere steen.

Om een indruk te krijgen van het bij een stormvloed optredende transport (sterker variërende en hogere waterstanden dan bij "normale" getijdencyclus) zijn er een beperkte aantal proeven verricht met een stormprogramma (4 cycli van 12 uur, profotype) zoals en talud 1:6

zoals in figuur . . . weergegeven is. Bij de eerste en laatste cyclus werd de waterstand in stappen van een 0,5 m (prototype) gevarieerd tussen N.A.P + 1 en -1 m (golfhoogte $H_s = 4$ m); bij twee andere cycli tussen N.A.P en N.A.P + 3 m in stappen van 1 m (bij $H_s = 6$ m). De golfperiode was steeds $T_0 = 14$ s.

Door het opvoeren van de waterstand na de 1^e cyclus verschoof het gehele profiel bij alle stortsteen, behalve bij 1-6 ton, landwaarts (vergelijk toestanden B en C).

Uit figuur . . . d blijkt dat de stortsteen 1-6 ton stabiel is bij $H_s \leq 4$ m. De laatste cyclus met $H_s = 4$ m brong nauwelijks meer verandering in de tijdens de vorige cyclus gevormde profielen (vergelijk D en E).

De vervormingen waren bij alle steensoorten niet veel groter dan bij de, in totaal ongeveer even lang durende, "normaal" getijdencyclus met $T_0 = 14$ sec en $H_s = 6$ m, zoals uit de vergelijking van de profielen (a) en (b) in figuur blijkt. Bij de "storm" cyclus het profiel werd alleen verder landwaarts veredroven omdat de waterstand was tot N.A.P + 3 m gevarieerd in vergelijking met N.A.P + 1 bij "normaal" getijdencyclus.

Uit deze resultaten en die van Watts en Dearduff [J] (pangroef . . .) mag gekoncludeerd worden dat de golfcondities (en in de eerste instantie de golfhoogte) zijn voor de profielvervorming bepalend tenzij het effect van de getij ligt primair in het landwaartse profiel verschuiving.

Uit vergelijking van de profielen (b) en (c) in figuur blijkt dat de korrel-vorm, bij deze modelcondities (^{gelijke} Reijndts getal ongeveer), een weinig invloed heeft op de gedrag van de stortsteen heeft.

Bij dit de andere series proeven ^{voor} talud 1:6 met gevarieerde steengewicht langs het talud en regelmatig en onregelmatig golfaanval bleek, in het algemeen, globaal dezelfde schade op te treden bij regelmatige golven die ca. 1,5-1,7 maal hoger waren dan de significante golfhoogte bij onregelmatige golven. Bij ^{een} gebroken talud, ondertalud 1:6 en boven talud 1:4, was de verhouding tussen deze golfhoogten ca. 1,3.

Uit de figuren . . . 4 . . . te zien is dat, bij de bepaalde steengewicht, de profielvervorming zeer klein wordt of praktisch verdwijnt. Deze profielen kunnen dus gebruikt worden voor de schatting van de stabiliteit ^{in niet} ~~groter~~ bij onregelmatig golfaanval.

De schade van de M856 profielen is subjectief beoordeeld als volgt:
 "praktisch geen schade" - figuren ^{2c, 3c, 4d}
 "klein schade" - figuren ^{4c en 6d (Hs=4, A=2)}
 en "schade" - overgebleven profielen waar door de golfwerking en nieuwe profiel-vorm is ontstaan.

Dere schatting in in figuur ... weergegeven. Uit ~~figuur~~ figuur is te zien dat de gemiddelde (H_s/D_{eq}) -waarde voor de limietstabiliteit is aanzienlijk lager bij de lange golfperiode ($H_s/D_{eq} \approx 3$ bij $T_0 = 14$ sec) dan bij de korter golfperiode ($H_s/D_{eq} \approx 5$ bij $T_0 = 8$ sec). ~~Dere tendens~~ ^{Daar volat} de tendens van de C.E.R.C.-M.R.D resultaten waar bij hoger golftrilheid (kortere priode) de stabiliteit parameter N_{ZD} groter wordt (zie figuur ...). Parameter ~~N_{ZD} is gelijkwaardig aan H/D_{eq}~~ ^{H/D_{eq} kan als functie van N_{ZD} uitgedrukt worden}

$$H/D_{eq} = \sqrt[3]{\frac{11}{6}} (S-1) N_{ZD}$$

dus, de beide parameters kunnen als gelijkwaardig beschouwd worden. Het verschil tussen H/D_{eq} -waarden voor $T_0 = 14$ en 8 sec lijkt aan te hoge kant te zijn. Van de andere kant, de Reynolds getallen R_N (volgens CERC-MRD definitie) verschillend zijn voor $T_0 = 14$ en 8 sec ^{en} $\sqrt{T_0 = 14 \text{ sec}}, R_N \approx 1,7 \times 10^4$ (figuur ...) en $\sqrt{T_0 = 8 \text{ sec}}, R_N = 2,4 \times 10^4$ (figuur ...) en ~~hier~~ er kan een schaal effect plaats vinden.

Uit figuur ... , waar ook twee N_{ZD} -modelwaarden voor taluds 1:7 en 1:10 zijn vermeld, is te zien, dat ze volgen niet de tendens die voor de steile taluds (voor gelijk R_N) plaats vindt. Het verloop van het schaal effect bij flauwe taluds is nog niet bekend.

De ~~gegevens~~ M856 data waarvan het stabiliteit-limiet benaderd kan worden zijn zo beperkt dat geen meer nauwkeurig vergelijking of analyse mogelijk is.

De vergelijking van de M856 limiet-stabiliteit-waarden met ^{de waarden uit de} in deze nota genoemde, formule en experimentele resultaten is in tabel 3 weergegeven.

Tabel 3a

Waarden $H/D_{eq}(5\%)$ - limiet stabiliteit voor $d_{50} = 6$, $S = \frac{P_s}{S_w} = 2.65$ en regelmatig golfaanval

	Tribarren	Hedar Hudson	C.E.R.A (extrapolatie) bij $r = 2D_{50}$	C.E.R.C.-M.R.D ^{xx)} (extrapolatie) $H = \bar{H}/1,2$ $H = \bar{H}$
0%	3,53	3,30	3,93	4,25 - 5,1
10%	4,52		5,60	
$\approx 2 \cdot D_{50}$				5,95 - 7,10 ^{xx)}

) Bij de analyse van de CERC-MRD proeven, de golfhoogte was gelijk aan de gemiddeld van de hoogste golven in de regelmatige golfreinen; deze hoogte was ca. 20% hoger dan de gemiddeld van alle golven (= gebruikelijk definitie van H bij alle andere onderzoeken) voor steile golven en gelijk aan de gemiddelde bij de lange golven. Dus, ter vergelijking met de andere resultaten, de 0-20% variatie in de H/D parameter is hier toegepast.

x) uit de vermelde gegevens van de reserve-stabiliteit (pagina) kan de H/D-waarde voor de schade gelijk aan ca. 2 D₅₀ (schade diepte) bereken worden.

Tabel 3b (x)

Waarden H_s/D_{eq.(50%)} - limiet stabiliteit voor ctgd = 6 en onregelmatige golfaanval (H_s-significante golfhoogte)

Schade	Jribarren	Helder Hudson (K _{up} =0,9)	C.E.R.A	C.ERC-MRD	M 856 T ₀ =14sec T ₀ =8sec
0%	2,12	1,98	2,12	2,35	} 3,0 } 5,0
10%	2,70		2,80	3,35	
ca. 2 * D ₅₀				3,56-4,25	

(x) H (regelmatige golven) wordt door de equivalente golfhoogte H_{1/100} bij onregelmatige golfaanval ^{vervangen} verplaatst en omgerekend voor H_s b.v. C.E.R.A.: $(\frac{H}{D})_{10\% \text{ schade}} = 5,6$; $(\frac{H}{D})_{0\%} = 0,7$ $(\frac{H}{D})_{10\%} = 3,93$, $H = H_{1/100} = 1,67 H_s$

→ $(\frac{H_s}{D})_{10\% \text{ schade}} = \frac{5,6}{1,67} = 3,35$ en $(\frac{H_s}{D})_{0\%} = \frac{3,93}{1,67} = 2,35$

Opmerkingen:

- 1) Formule van Hudson: $H/D_{eq} = (s-1) \sqrt[3]{\frac{\pi}{6} K_D ctgd}$; $D_{eq} = \sqrt[3]{\frac{6 Q}{\pi v_s}}$
- 2) Formule van Jribarren: $H/D_{eq} = (s-1) (f \cos \alpha + \sin \alpha) \sqrt[3]{\frac{\pi}{6 N^r}}$
- 3) C.E.R.A: De basis waarde $H/D_{eq} = 5,6$ (door extrapolatie) is genomen voor 10% schade, $H_0/L_0 \approx 0,04$ en $r = 2 D_{50}$.
- 4) C.E.R.C-M.R.D: $\frac{H}{D_{eq}} = (s-1) \sqrt[3]{\frac{\pi}{6}} N''_D$

$N''_D = 3,85$ - prototype (extrapolatie voor ctgd=6). N''_D is een minimum waarde (= veiligheidswaarde / veiligste waarde).

Uit deze vergelijking blijkt dat de limiet waarden (H/D_{eq}) uit formules van Hudson en Tribarren (toevallig gelijk voor $\alpha=6$), en het zijn lager (groter-steen-maat) dan die van C.E.R.A en C.E.R.C-MRD.

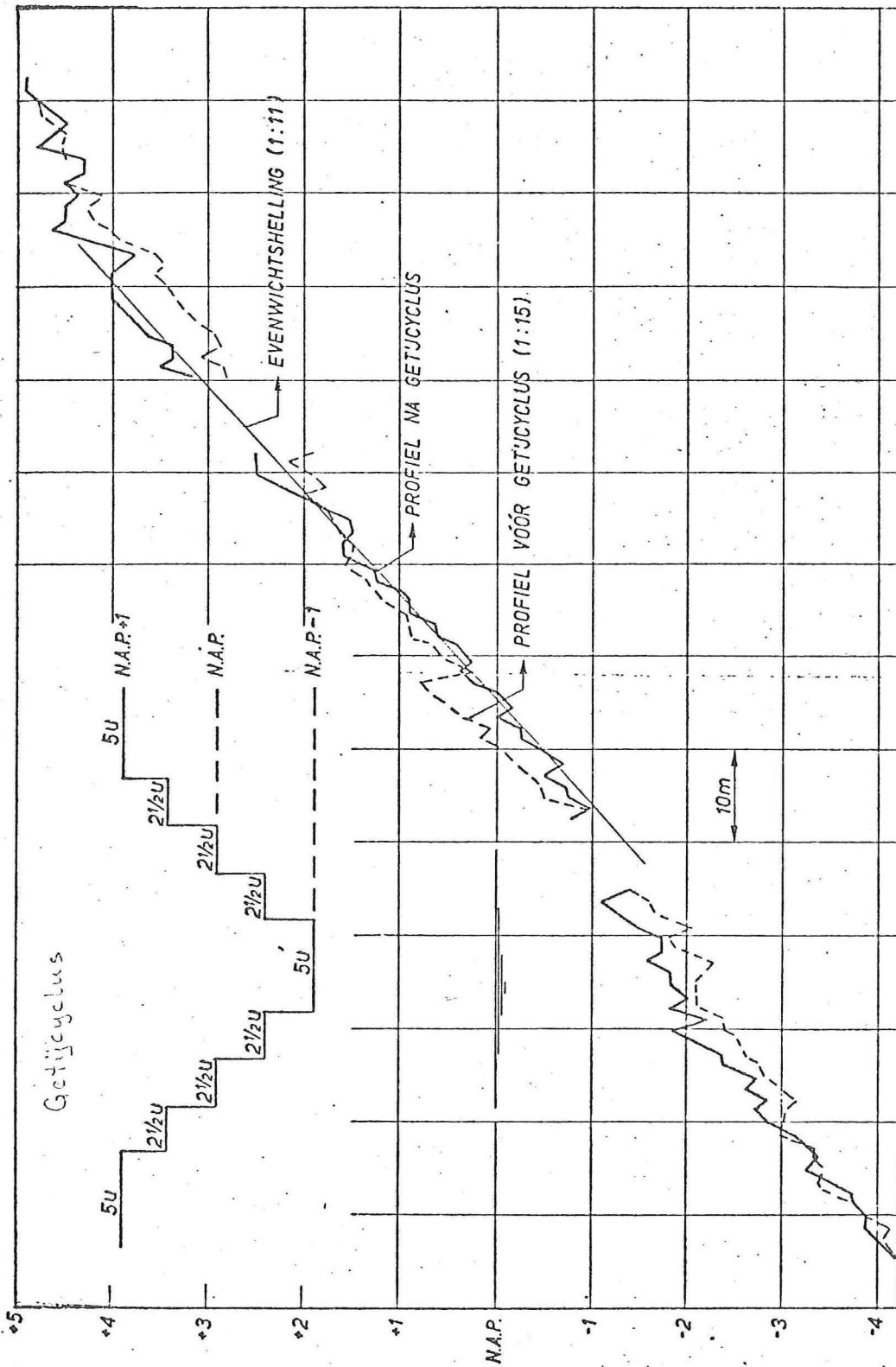
Het is ook duidelijk te zien dat de keuze van de equivalente-grootte van de golfhoogte bij onregelmatige golfaanval beïnvloedt de H/D_{eq} waarden. Slechts de vervanging $H = H_1 \approx 1.67 H_s$, afkomstig uit het C.E.R.A ondersch, gebaseerd is op de proeven met ~~regelmatige~~ en onregelmatige golven moet dus, voorlopig, als ~~de~~ meest betrouwbaar beschouwd worden. Ter informatie, Bores [] vindt dat de meest representatieve golfhoogte voor de ~~regelmatige~~ stabiliteitsberekening bij onregelmatige golfaanval gelijk is aan $H_{1/20} \approx 1.4 H_s$ (dus H moet door $H_{1/20}$ vervangen worden, $H = H_{1/20} \approx 1.4 H_s$).

In iedere geval, bij vervangen H door $H_1 \approx 1.67 H_s$, de stabiliteitsberekening zeer veilig is (ca. 20% ^{noe} hogere golven kunnen toegestaan worden ~~sonder~~ bij ^{resultaat} ~~scade~~ gelijk of kleiner dan ca. 5%). x)

De H_s/D_{eq} -limiet waarden uit M856 in de bijl. van de C.E.R.A en C.E.R.C-MRD liggen.

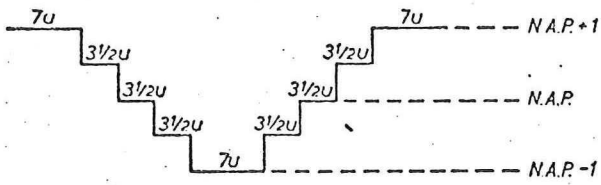
Uit dit borenomschreven voorbeeld is duidelijk geworden dat de berekening van de benodigde -stabiele- steen-grootte bij de onregelmatige golfaanval uit de bekende formule en experimentele gegevens ^{gebaseerd op} afkomstig van de proeven met regelmatige golven, nog steeds veel onzekerheid omvat.

x) De $H_{1/20} \approx 1.4 H_s$ als equivalente golfhoogte voor H (regelmatige golven) kan dus gebruikt worden wanneer een eventuele scade van ca. 5% (ongevaarlijk voor de constructie) mag toegestaan worden.



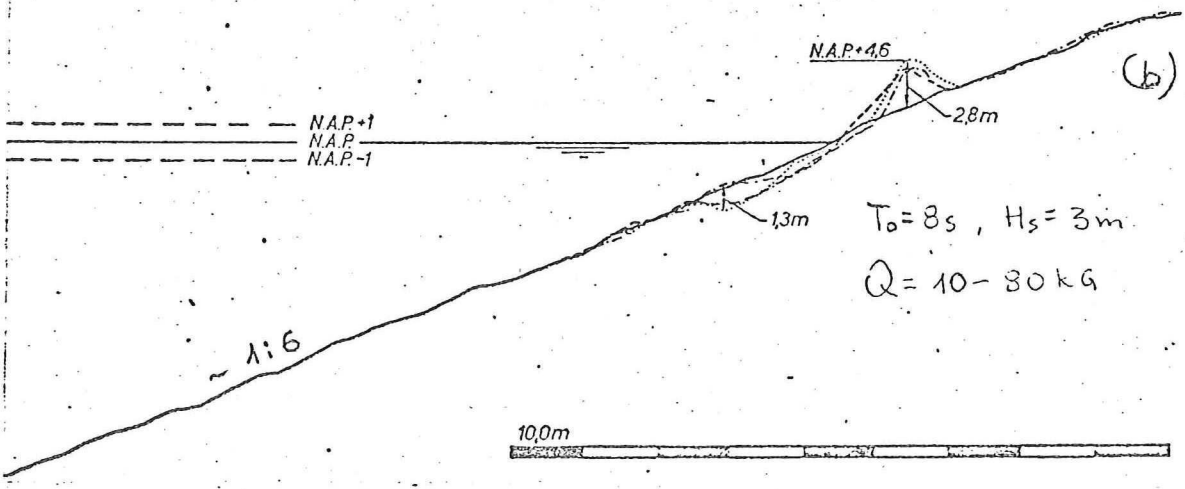
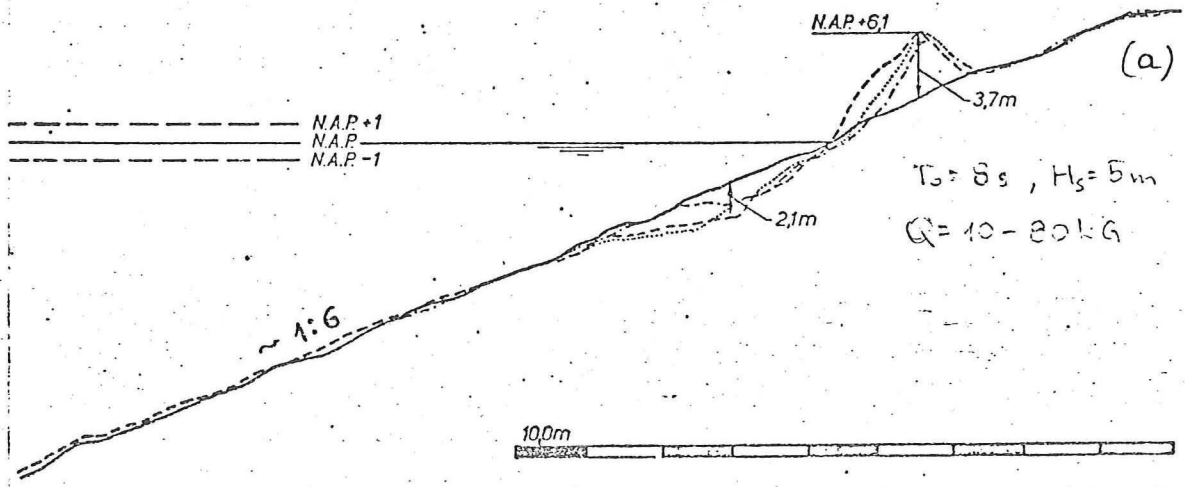
Talud 1:15, Stortsteen 10-80 kg, $T_0 = 14$ s, $H_s = 5$ m

$$\frac{X(\text{prototype})}{X(\text{model})} = 25$$

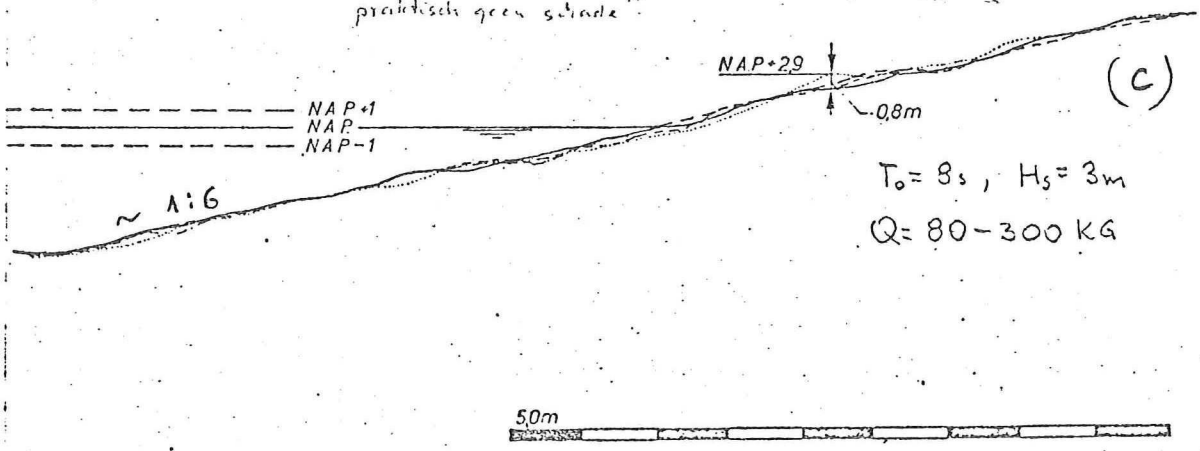


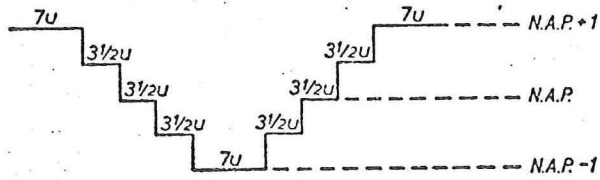
- • BEGINTOESTAND
- - - • NA N.A.P.+1
- - - • NA N.A.P.-1
- • EINDTOESTAND

$$\frac{X_{\text{prototype}}}{X_{\text{model}}} = 50$$

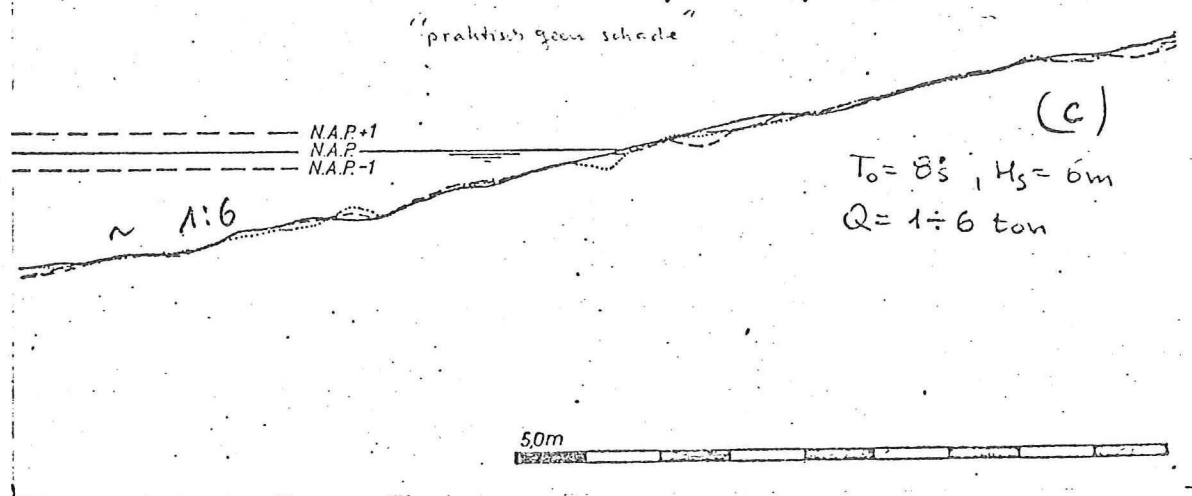
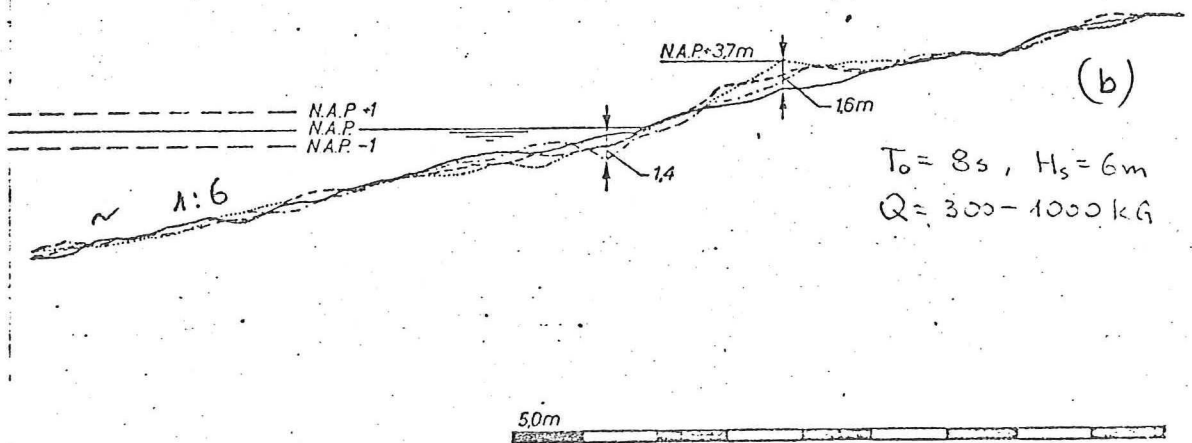
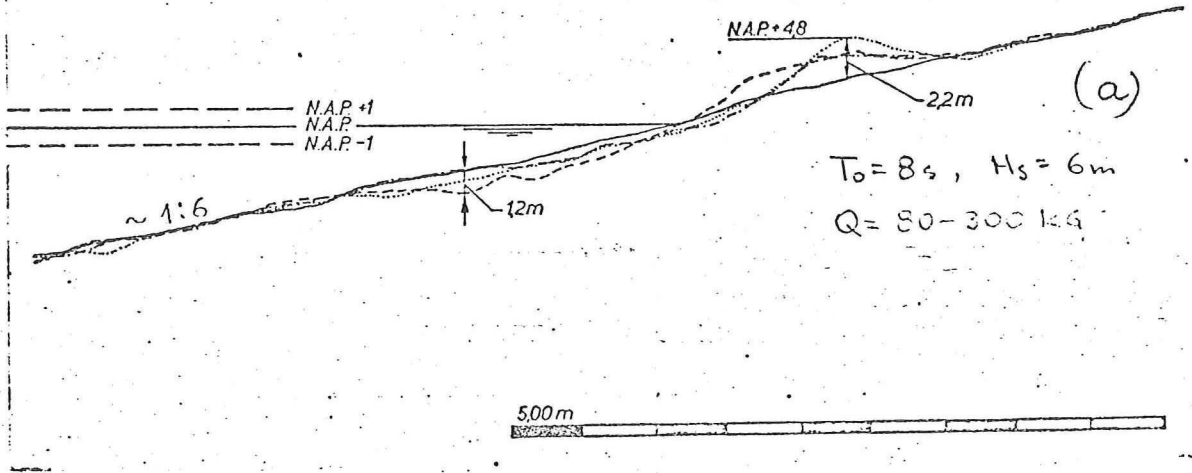


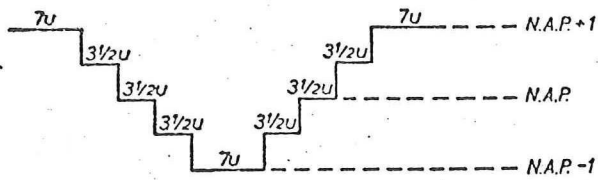
"praktisch geen schade"



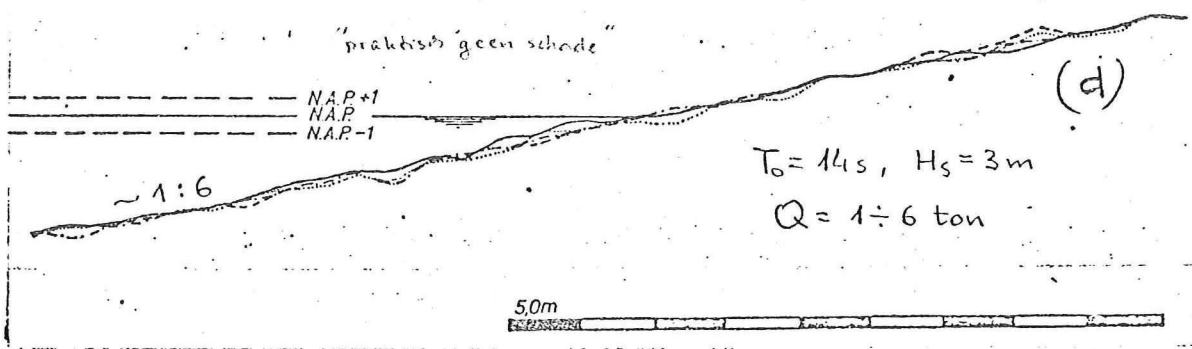
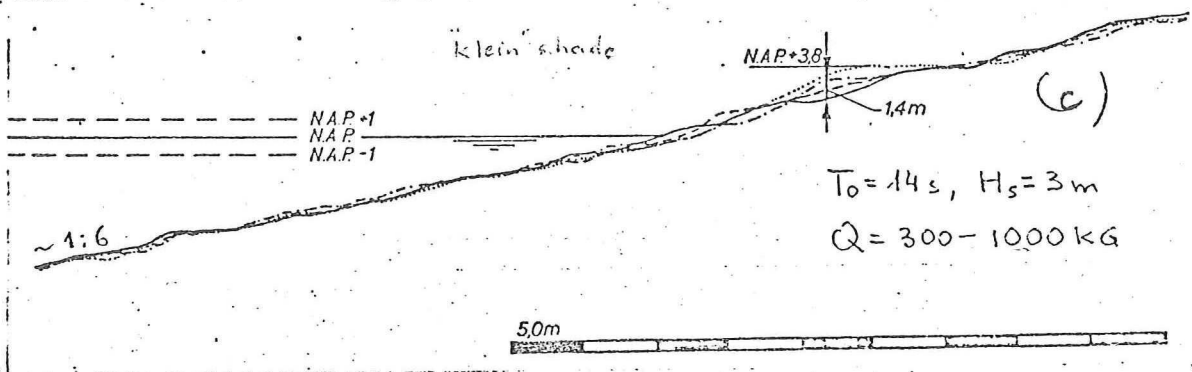
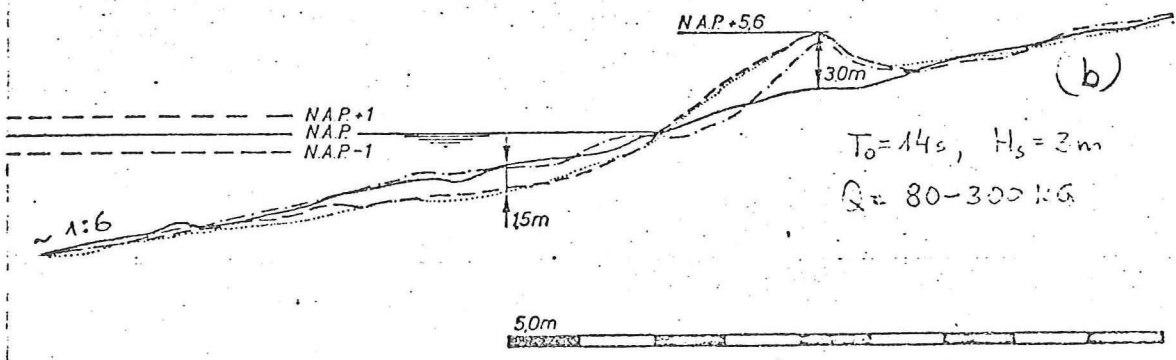
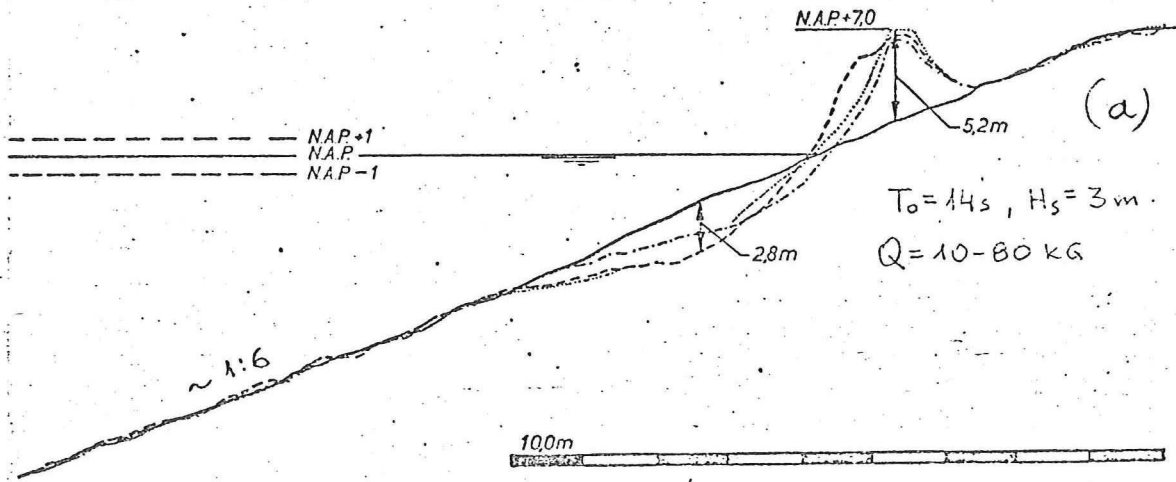


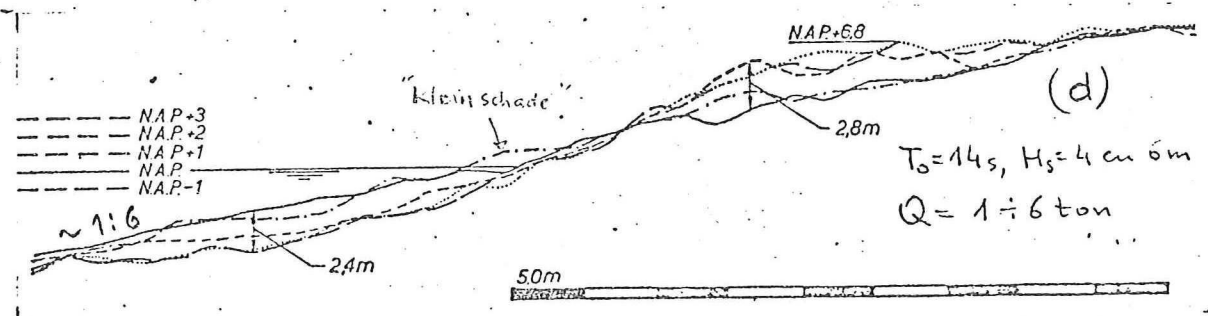
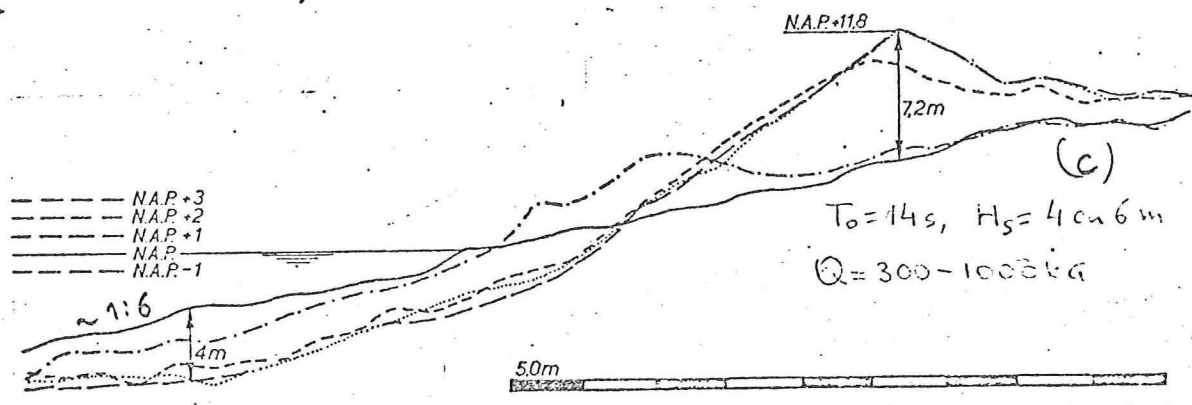
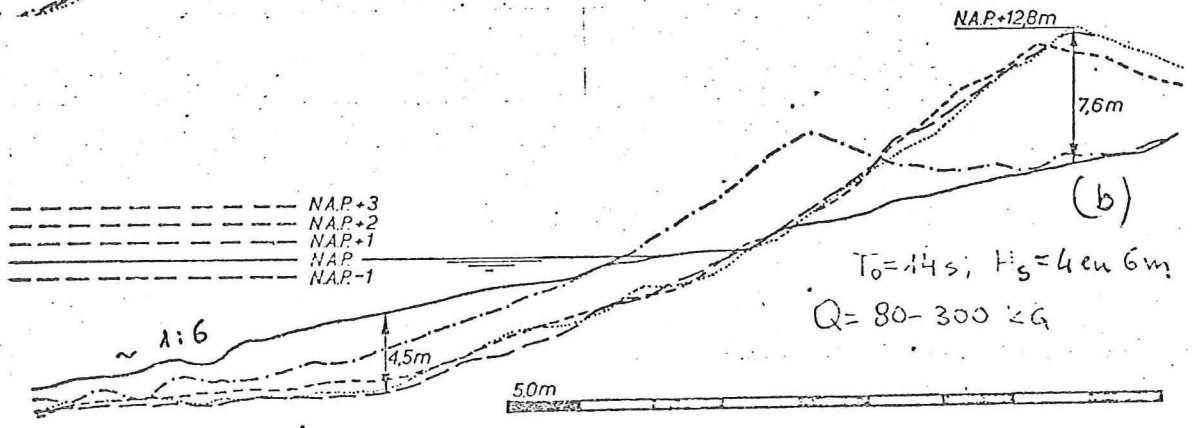
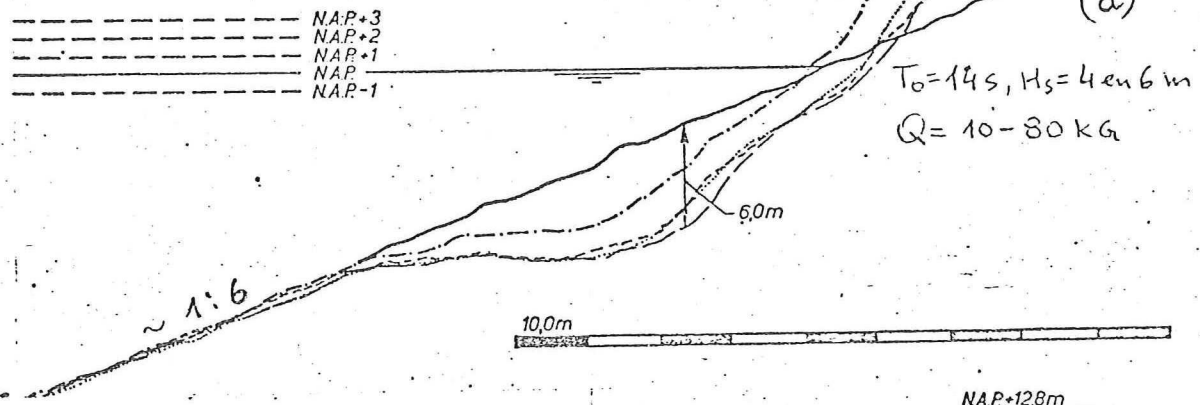
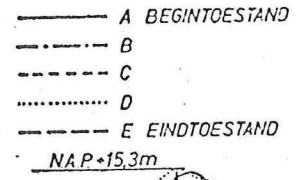
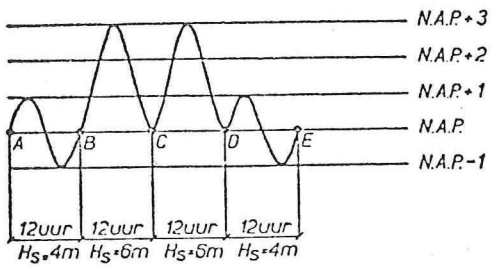
- • BEGINTOESTAND
- - - • NA N.A.P.+1
- - - • NA N.A.P.-1
- • EINDTGEESTAND





- • BEGINTOESTAND
- - - • NA N.A.P. +1
- - - • NA N.A.P. -1
- • EINDTOESTAND





26.0

20.0

19.0

18.0

17.0

16.0

15.0

14.0

13.0

12.0

11.0

10.0

9.0

8.0

7.0

6.0

5.0

4.0

3.0

2.0

1.0

0.0

0

.01

.02

.03

.04

.05

.06

.07

.08

$\frac{H_s}{D_{eq}}$

omvang van stortsteen sortering

Talud 1 op 15
Klein schade
 $T_0 = 14 \text{ sec}$
 $H_s = 5 \text{ m}$

Talud 1 op 6

$T_0 = 8 \text{ sec}$

$T_0 = 14 \text{ sec}$

$H_s = 3 \text{ m}$

$H_s = 4 \text{ m}$

$H_s = 6 \text{ m}$

$H_s = 3 \text{ m}$

$H_s = 6 \text{ m}$

$R_N = 0.62 \times 10^4$

$R_N = 1.7 \times 10^4$

$R_N = 2.4 \times 10^4$

$\frac{H_s}{L_s}$

alle maten = prototype

$\frac{n_H \text{ prototype}}{n_H \text{ model}} = 50$

$D_{eq} = \sqrt[3]{\frac{6Q}{\pi \gamma_s}}$

$\gamma_s = 2.65 \text{ T/m}^3$

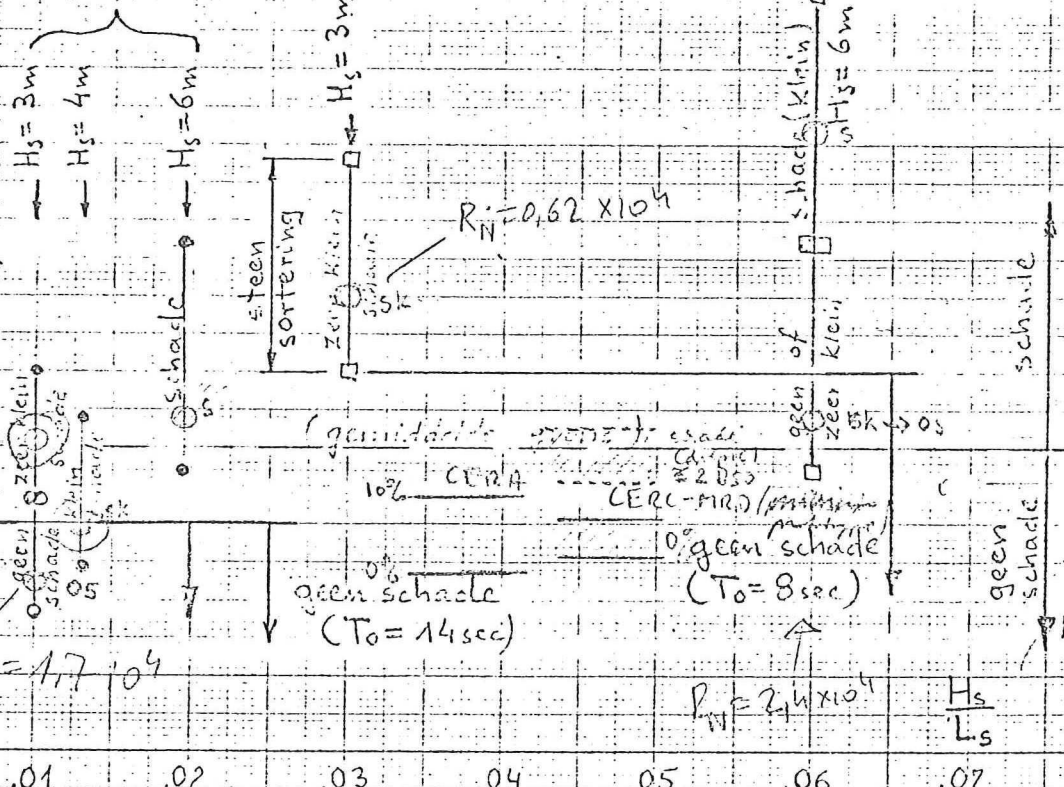
Q = steen-gewicht

$L_s = \frac{g T_0^2}{2\pi} = 1.56 T_0^2 \text{ (m)}$

T_0 = golfperiode bij maximale energie-dichtheid (uit spectrum)

H_s = significante golfhoogte ($H_s = H_{15\%}$)

($\circ \sim I_{eq, 50\%}$)



Bijlage

Stabiliteit van stortsteen-bekleding bij onregelmatige golven en getijcyclus. M.856 []

Effect van dichtheid materiaal.

Met effect van het verschil in de steen-dichtheid op de steen gericht kan analytisch als volgt benaderd worden.

$$\frac{Q_2}{Q_1} = \left(\frac{S_1 - S_w}{S_2 - S_w} \right)^3 \frac{S_2}{S_1}$$

Als $S_1 = 2,73$ (gegevens van CERA [])

dan

$$\frac{Q_2}{Q_1} = \frac{1,90 S_2}{(S_2 - 1)^{3n}}$$

Waar $S_2 = \frac{S_2}{S_w}$ en $n = \frac{1}{3}$ (theoretisch)

Bij $S_2 = 2,65$ en $n = 3$

$$Q_{2, \frac{1}{3}} = 1,12 Q_1$$

$$\text{en } \text{Dep. } 2 \cong 1,04 \sqrt[3]{\frac{6 Q_1}{\pi r_1}}$$

$$\text{Dus, b.v. } \left(\frac{H}{\text{Dep.}} \right)_{S=2,65} \cong 0,96 \left(\frac{H}{\text{Dep.}} \right)_{S=2,73}$$

Uit de beperkte aantal proeven van CERA [] met de dichtheid variërend van 2,73 t/m 3,05 blijkt dat de exponent n wijkt af van 1, namelijk

relatie	n
1 op 2	0,95
1 op 3	1,02
1 op 4	0,89

(n - gemiddelde waarden van $S = 2,73 \div 3,05$)

Samenvatting en konklusies

In deze nota is een overzicht gegeven van het mechanisme van de profielontwikkeling en, van tot nu toe ontwikkelde, het kwantitatieve beschrijving ^{en ontwerpkriteria} van de evenwichtsprofielen en de taludstabiliteit (ontwerpkriteria) voor de grofkorrelig materiaal (grind en grover, $D_{50} \geq \sim 2 \text{ mm}$).

De belangrijkste resultaten en konklusies zijn (hieronder samengevat) als volgt:

1. Het ^{mechanisme en de grootte van} sedimenttransport wordt bepaald door een groot aantal factoren zoals golfbeweging en golfparameters, stromingen, getij, ligging van de bodem, eigenschappen van het materiaal. Het is dus een zeer complex systeem dat zowel kwalitatief als kwantitatief nog steeds onvoldoende bekend is.

2. Bij grindtaluds(-stranden) speelt bodemtransport een overheersende rol in contrast met de zandstranden waar beide, het bodem- en het suspensietransport bepalend zijn voor het transportmechanisme.

3. Het ^{de golfsteilheid} faseverschil tussen het tijdstip van breken en het tijdstip van bereiken van de maximale ^{absolute} oploophoogte, ^{de verhouding tussen de korrelgrootte en de golfhoogte (= parameter H/p)} ^{de richting van sedimenttransport en} ^{en de heiling van het uitgangstalud} de ^{absolute} doordringbaarheid ^{van het materiaal} en het type ~~van~~ golf-breking zijn bepalend voor het type ^{van de profielvorm} van de profielvorm.

Naarmate de golfperiode korter, de uitgangshelling steiler en/of de korreldiameter kleiner is, zal de golfbeweging eerder in staat zijn om het materiaal naar beneden (zeewaarts) te transporteren.

Het evenwichtsprofiel wordt steiler, vooral rond de stilwaterlijn, naarmate de korrelgrootte van het materiaal toeneemt als gevolg - onder andere - van de toenamen van de waterinfiltratie.

4. De tijd van de profielontwikkeling neemt aanzienlijk af met de toename van de korrelgrootte hoewel, de kwantitatieve beschrijving van deze faktor ontbreekt tot nu toe.
5. Het evenwichtsprofiel onder de invloed van varieërende waterstanden verplaatst zich met de waterstand me hoewel de profielvorm ~~is~~ hoofdzakelijk afhankelijk is van de golfparameters.
6. Kwantitatieve beschrijving van de grofkorrelig-evenwichtsprofielen is ontwikkeld, tot nu toe, slechts voor de taludshellingen $3 \leq \text{ctgd} \leq 10$, namelijk:
methode van Popov voor $\text{ctgd} = 3$ ([])
methode van M1216 voor $5 \leq \text{ctgd} \leq 10$ ([], [])
De beide methoden zijn alleen op de modelproeven gebaseerd.
7. Uit het overzicht van de resultaten van Popov en M1216 blijkt, dat vanaf een bepaalde korrelgrootte (ca. $D_{50} \geq 6 \text{ mm}$) geen schaal-effect verder plaats vindt en dat de modelresultaten mogen dan volgens de geometrische omschaling naar prototype vertaald worden.
~~Van~~ Deze konklusie moet met een grote voorzichtigheid aangenomen worden zolang geen prototype verifikatie bekend is. Uit het verloop van de drag-koefficient blijkt dat de invloed van de korrel-vorm neemt toe met toename van het Reynolds getal; dus; het verschil in de korrelvorm (model \rightarrow prototype) kan aanzienlijke verschillen (schaaleffekten) veroorzaken wat betreft de profielvorm en de taludsstabiliteit.
8. De profielontwikkeling bij onregelmatige golfaanval is afhankelijk van de spectrumkarakteristiek ("nauwe"-spectrum, "brede" spectrum). Voor onregelmatige golven zijn zeer beperkte gegevens bekend over de kwantitatieve beschrijving van het resulterende sediment transport, profielontwikkeling en precisiering van de gelijkwaardige verhouding met regelmatige golven. ~~Voor onregelmatige golven zijn zeer beperkte gegevens bekend~~
Deze gegevens zijn tot nog toe onvoldoende om een algeme-

Kwantitatieve profielbeschrijving bij onregelmatig golfaanval te geven.

9. De, uit literatuur bekende, criteria voor het begin van beweging van het bodemmateriaal (bv. de diepte of de kritieke snelheid), zeewaarts van de brekerzone, geven de juiste orde van grootte wanneer de juiste (ongeveer) wrijvingscoëfficiënt bekend is.

Verdere verifikatie van deze criteria t.o.v. de invloed van de bodemhelling speciaal voor de steile hellingen is steeds noodzakelijk.

10. Uit het overzicht van de verschillende ontwerpcriteria voor de stabiliteit van de steenbekleding (= steenstabiliteit in de brekerzone) blijkt dat er een nogal grote spreiding is in de daaruit afgeleide ontwerpwaarden van de benodigde steengrootte bij dezelfde golfkondities.

De oorzaak van deze verschillen is niet altijd duidelijk.

In het algemeen: al deze gegevens zijn beïnvloed door de verschillende factoren zoals de grootte van het model (=: Reynolds getal) en technische faciliteiten, methode van steenplaatsing, steen-samenstelling, steen-samenpakking, steenvorm en ruwheid (=: wrijvingscoëfficiënt), laag-dikte en doordringbaarheid, en waarschijnlijkheidsfactor wat betreft het begin van steen-beweging. Bovendien, de resultaten zijn door het subjectieve begrip van de schadeformulering en de analyse van de modelgegevens beïnvloed.

11. De meeste gegevens voor de taludstabiliteit zijn afkomstig van klein-schaal modellen en zijn beperkt tot taluds gelijk of steiler dan 1 op 5. ~~De~~ De proeven met grotere modellen of waarnemingen met prototype en de proeven met ^{relatief} flauwere taluds zijn steeds noodzakelijk.

Van tot nu toe verrichte studies onderzoeken, ^{verdienen} (de resultaten van C.F.R.C - M.R.D [] (met regelmatige golven) een extra aandacht ~~verdienen~~ wegens de grote variatie van de toegepast afgeleide schaal effecten.

12. Taludsstabiliteit neemt toe naarmate de dikte van bekleiding toeneemt. Bovendien, de stortsteen bekleiding en de onderlaag moeten aan de filter-eisen voldoen. Grove en door-
dringbare onderlaag resulteert in toename van de bekleidingsstabiliteit. De optimale taludhelling waarbij de benodigde steengrootte het kleinste is, wordt flauwer (of ~~groter~~ wordt groter) naarmate de diktebekleding en doordringbaarheid groter ^{wordt} ~~zijn~~. Dat verklaart het feit dat het buigpunt van het verloop van stabiliteit-karakteristiek als functie van taludhelling verschilt bij verschillende onderzoeken.

13

13. Enkele studies geven een indicatie dat bij kortere golven (korte golpperiode) en hogere golfsteilheid, de relatieve taludstabiliteit groter is (bv. parameter H/D groter wordt). Het is in overeenstemming met het feit dat bij de korte golven de breker ~~steiler~~ steiler is dan, na de breking, een scheiding van de golftong (opwaartse- en neerwaartse tong) plaats vindt waardoor de uitschuivingsvermogens buiten de breker worden verminderd.

14. ^{In het algemeen, kunnen} ~~de golfhoogten~~ (de golfhoogten iets hoger (tot ca. 10%) dan de golfhoogte bij nul % schade kunnen toegestaan worden zonder het gevaar dat de bekleiding ernstig beschadigd wordt.

15. Schieve golfinval is meestal minder schadelijk dan de loodrechte golfaanval.

16. ^{grootte van de} ~~De~~ golfoploop is afhankelijk van de korreleigenschappen en de doordringbaarheid. De golfoploop neemt af naarmate de korrelgrootte, de ruwheid en de doordringbaarheid af ~~ne~~ nemen. De golfoploop is dus zeer gevoelig voor schaal effecten.

17

18

17. Uit de verschillende onderzoeken [], [], [] is gebleken dat bij modelproeven een aanzienlijk schaal-effect kan optreden afhankelijk van de grootte van het model (korrelgrootte en golfdimensies).

De klein-schaal-modellen zijn minder stabiel dan de groot-schaal (~~is~~ prototype) modellen. Dus, bij toepassing (vertaling) van de resultaten afkomstig van klein-schaal modellen, naar prototype, een extra stabiliteitsreserve is aanwezig (= extra veiligheidsreserve).

18. Uit de verschillende maar beperkte proeven voor taludstabiliteit uitgeverd ^(beide-) met regelmatige en onregelmatige golven blijkt het tot nu toe niet mogelijk een duidelijke verhouding tussen de invloed van regelmatige golfaanval en onregelmatige golfaanval met smalle en brede energiespectra (equivalente verhouding tussen de regelmatige en onregelmatige golfparameters) te vinden.

De vergelijking tussen de invloed van de regelmatige en onregelmatige golven is zeer afhankelijk van de gekozen periode van het spectrum van de onregelmatige golven en de representatieve golfhoogte.

Bovendien, de vergelijking en de afleiding van de relaties tussen regelmatige en onregelmatige golven is alleen mogelijk, wanneer in beide gevallen dezelfde methode van de bepaling van de waarnemingen (bv. schade bepaling) konsekwent wordt aangehouden.

Het is aan te bevelen, zo lang dit vraagstuk niet verder wordt opgehelderd, de golfhoogte (H) volgens de criteria van taludstabiliteit gebaseerd op proeven met regelmatig golven, te vervangen door de equivalente hoogte van de onregelmatige golven gelijk aan $H_{1/100} \cong 1,6 H_s$ (H_s = significante golfhoogte), dus $H = H_{1/100} = 1,6 H_s$.